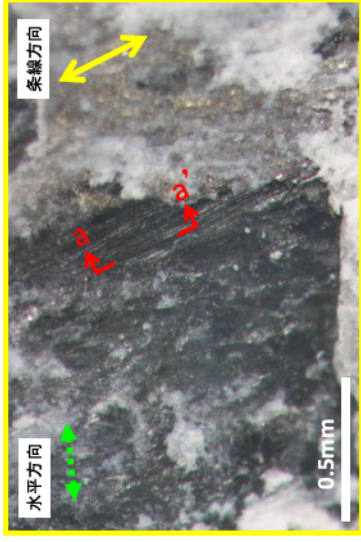
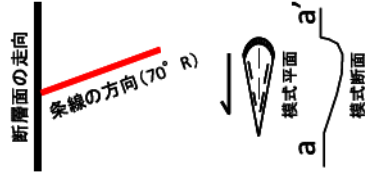


D破砕帯(No.70孔)

条線観察

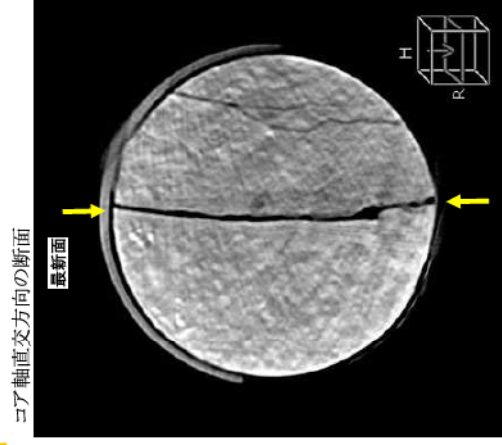
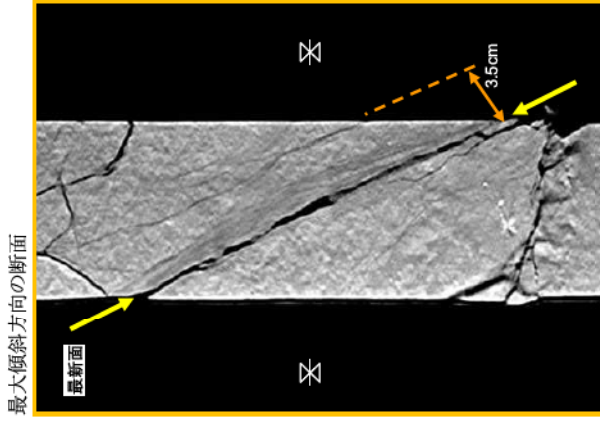


右横ずれ逆断層
条線の上を黄鉄鉱と石英が覆う。
これらの鉱物には条線はついていない



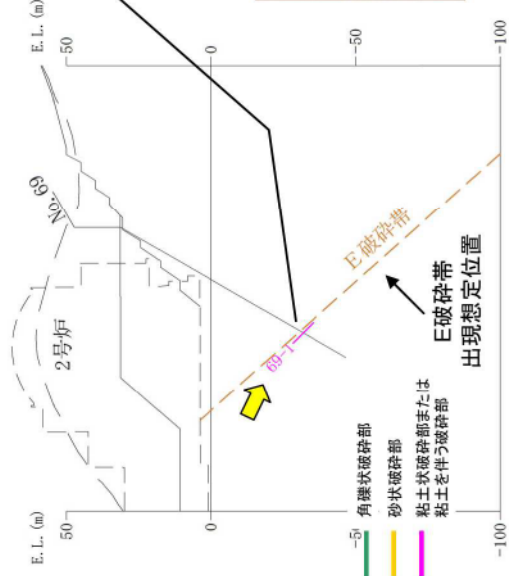
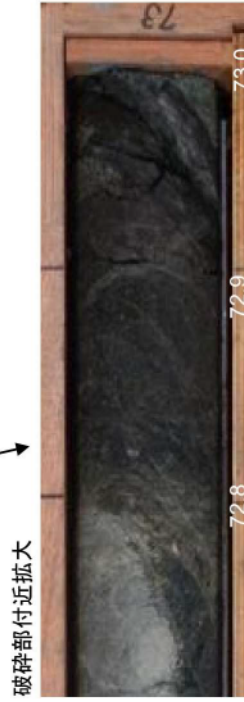
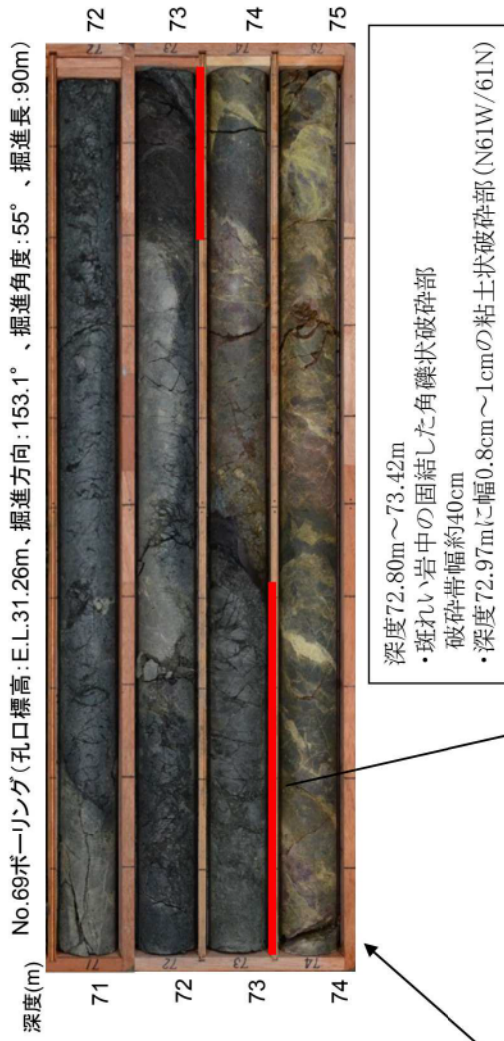
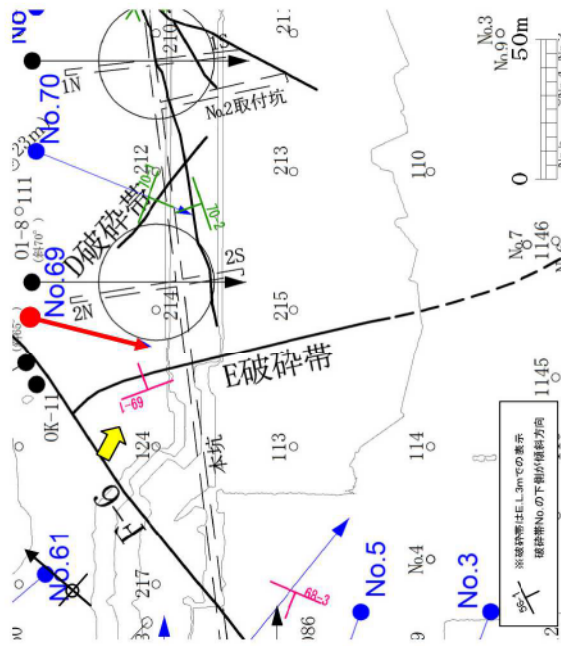
レイク70° Rの右横ずれ・
逆断層センスが認められた

CT画像



最新面はやや湾曲する。
最新面近傍で特に密度が低下する。
縦すれ成分：逆断層、横すれ成分：不明

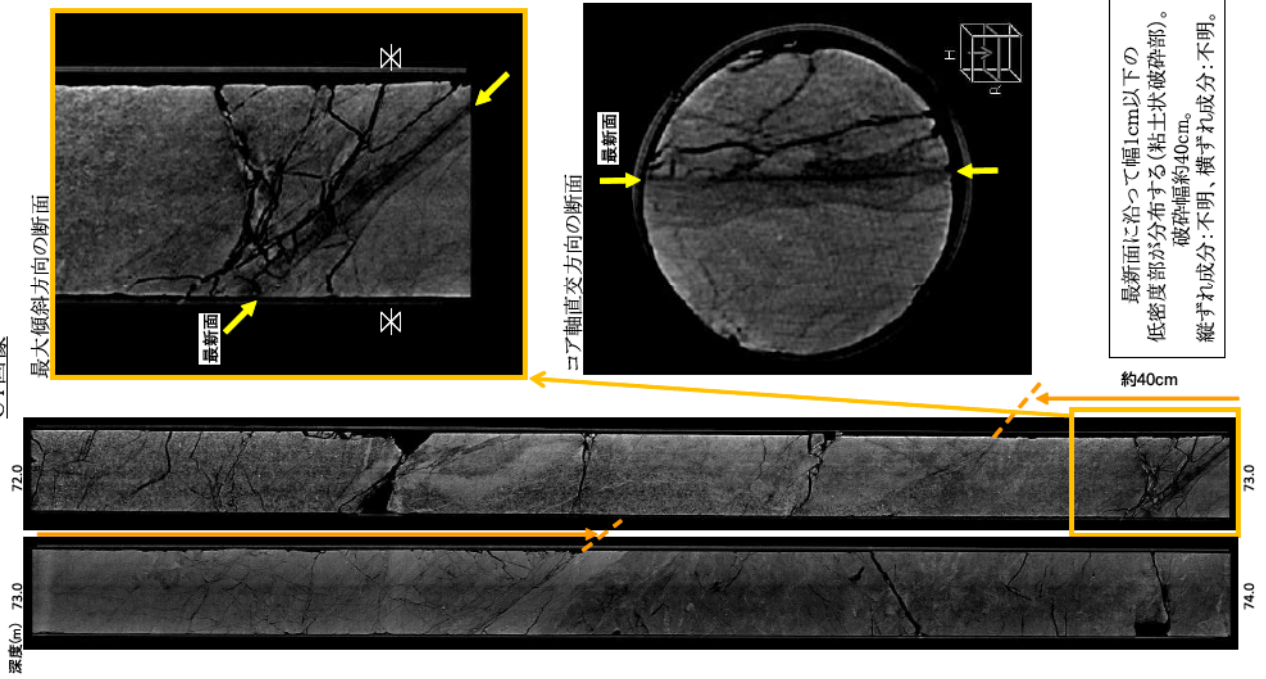
E破砕帯(No.69孔)



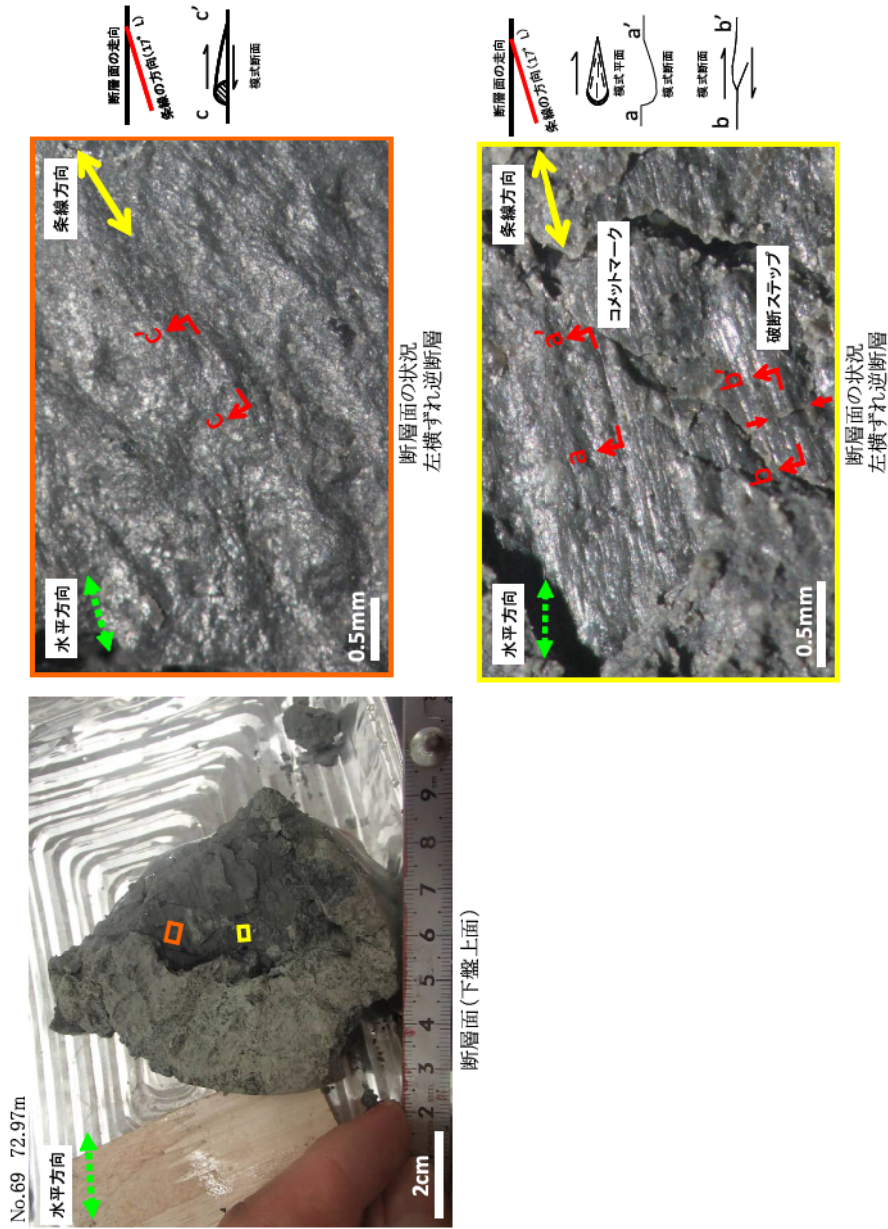
第 3.5.92 図 E破砕帯 ボーリングコア観察結果 (No. 69 孔)

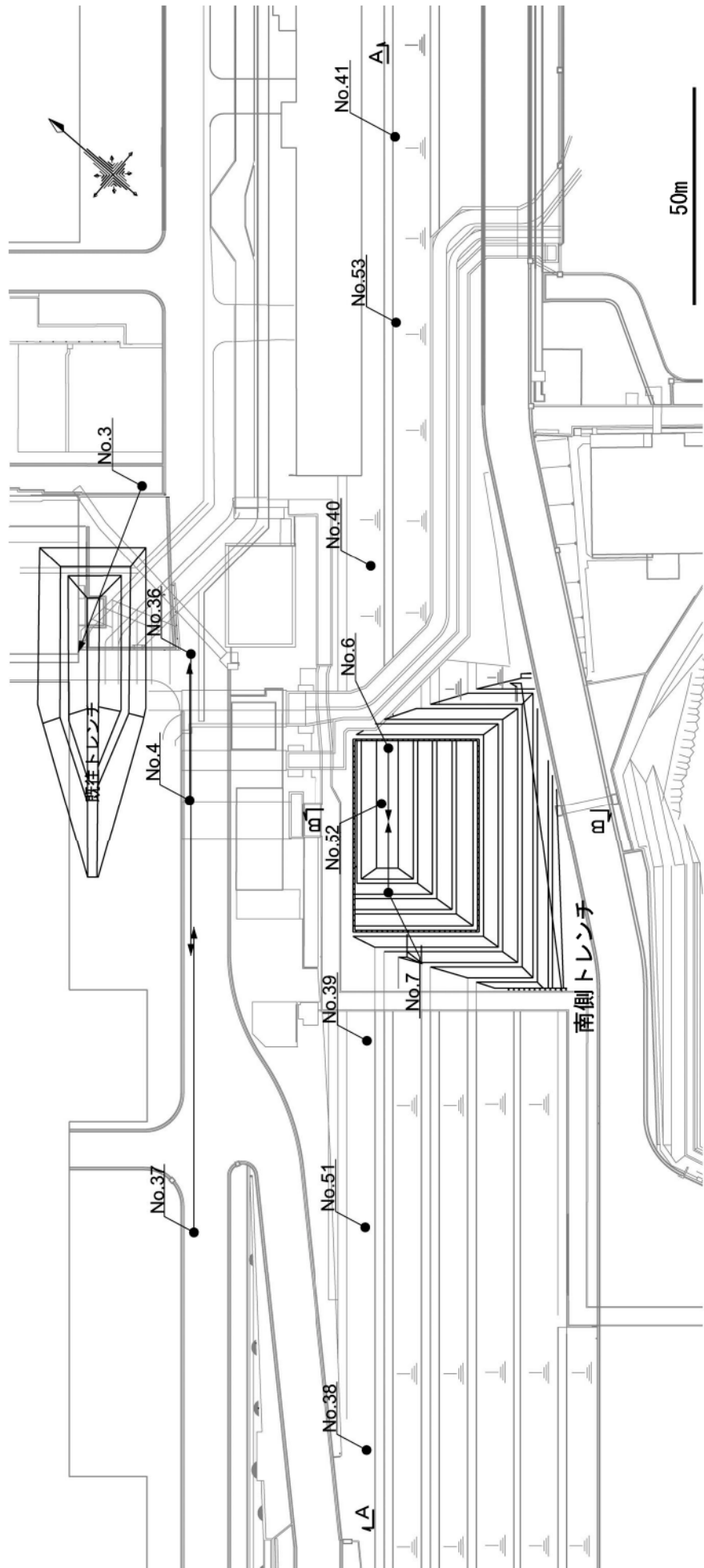
E破砕帯(No.69孔)

CT画像



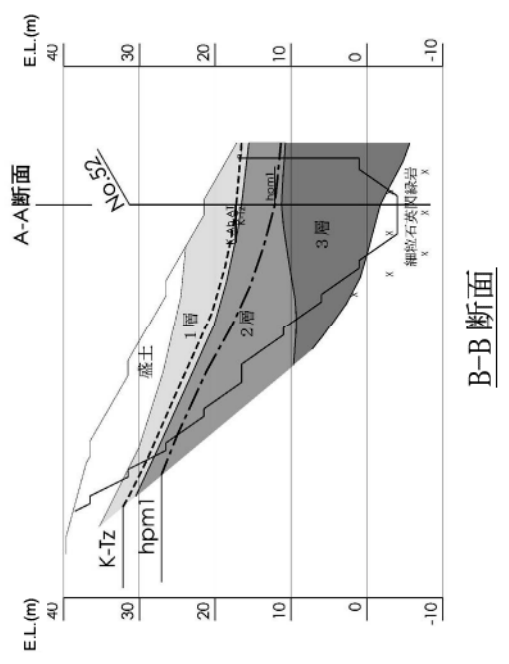
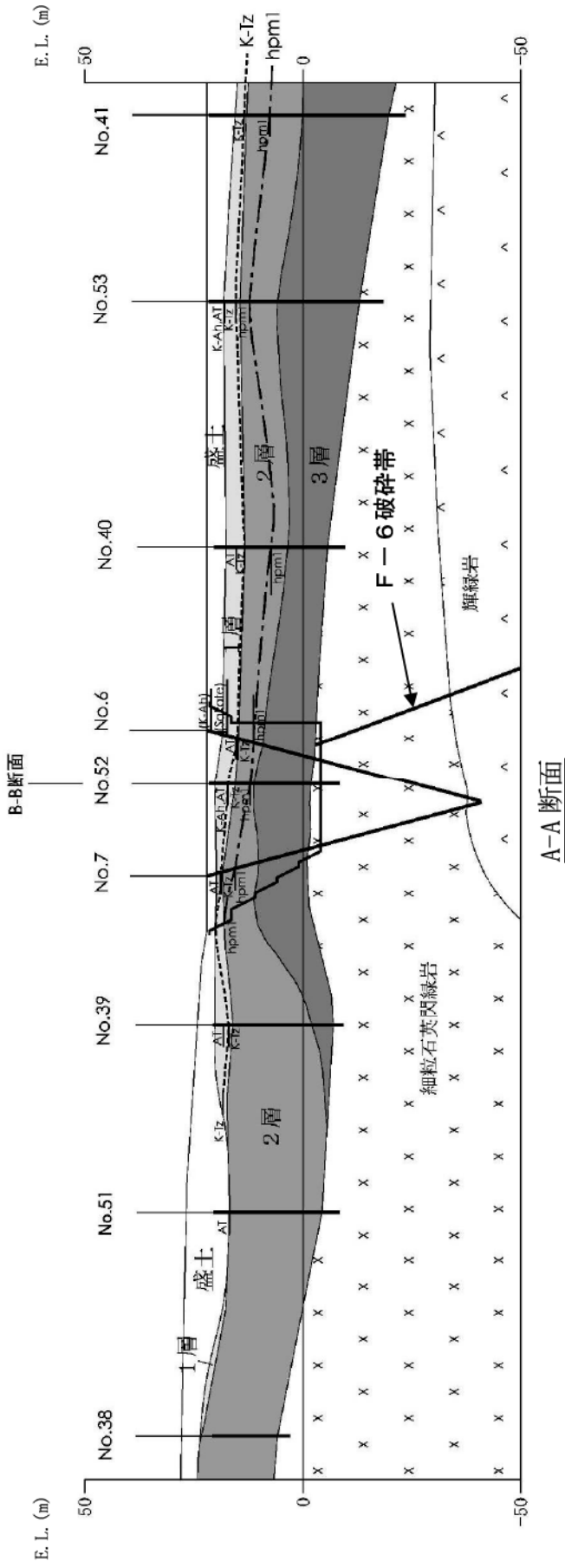
条線観察





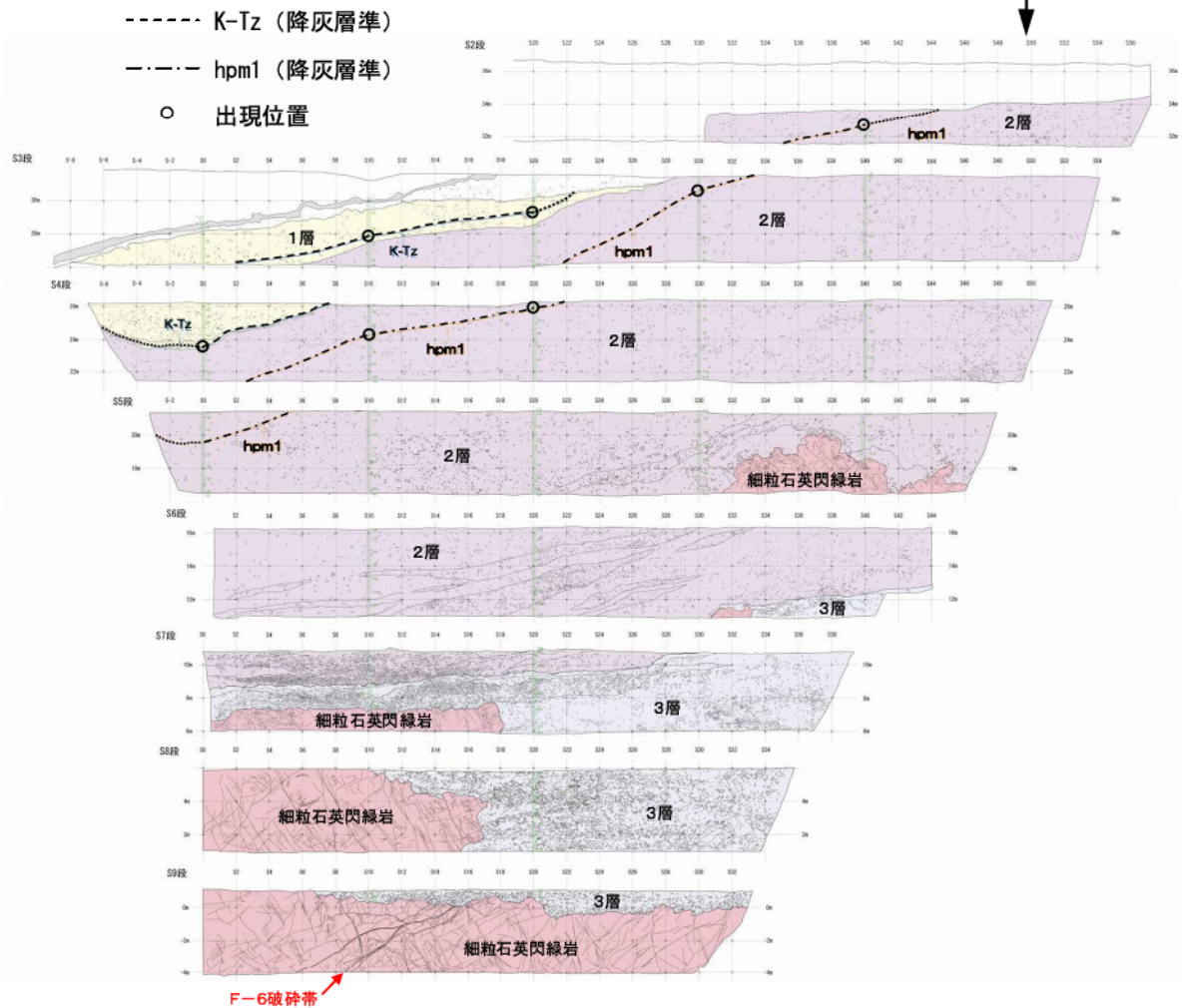
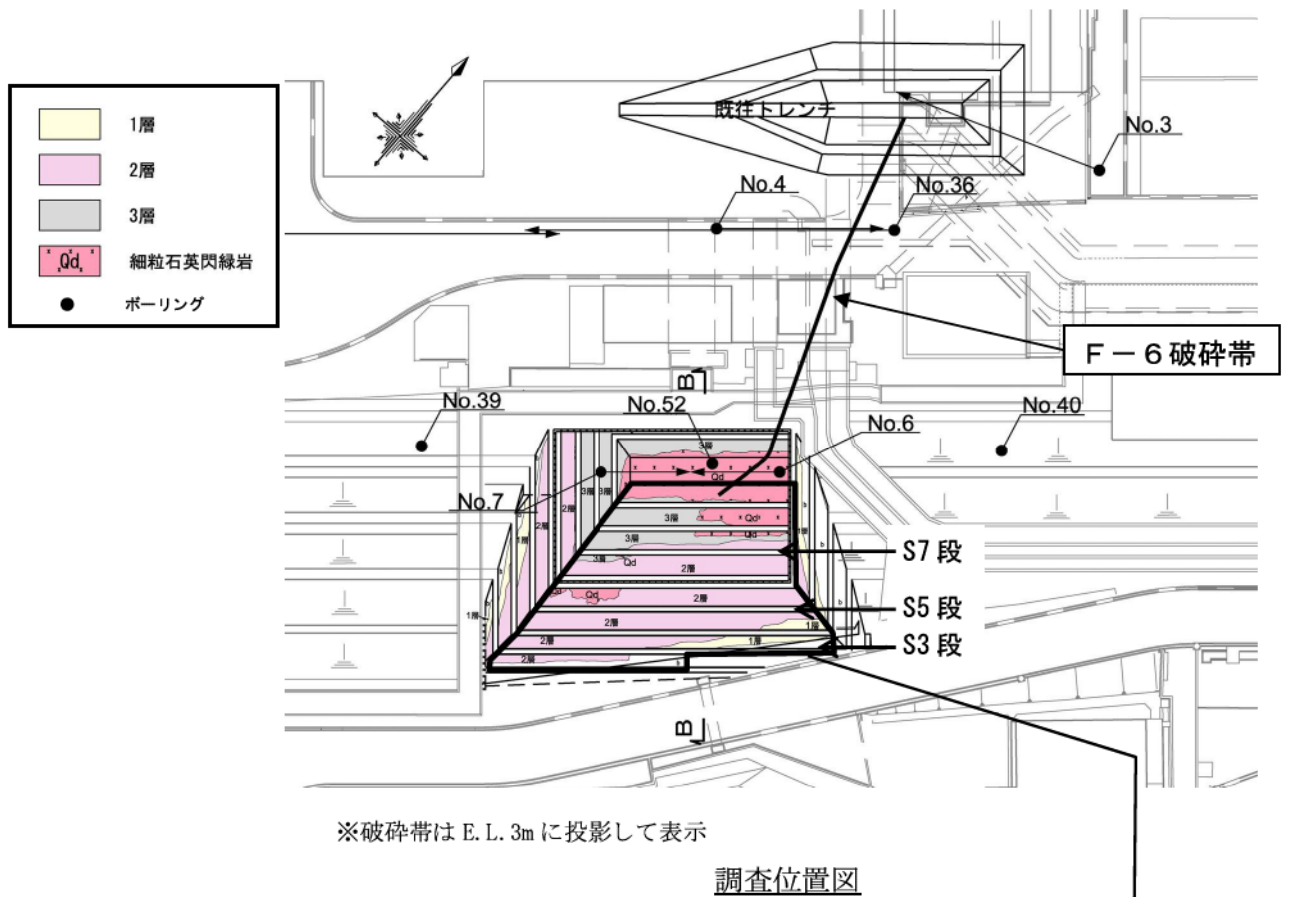
● ボーリング

第 3.5.95 図 南側トレンチ位置図

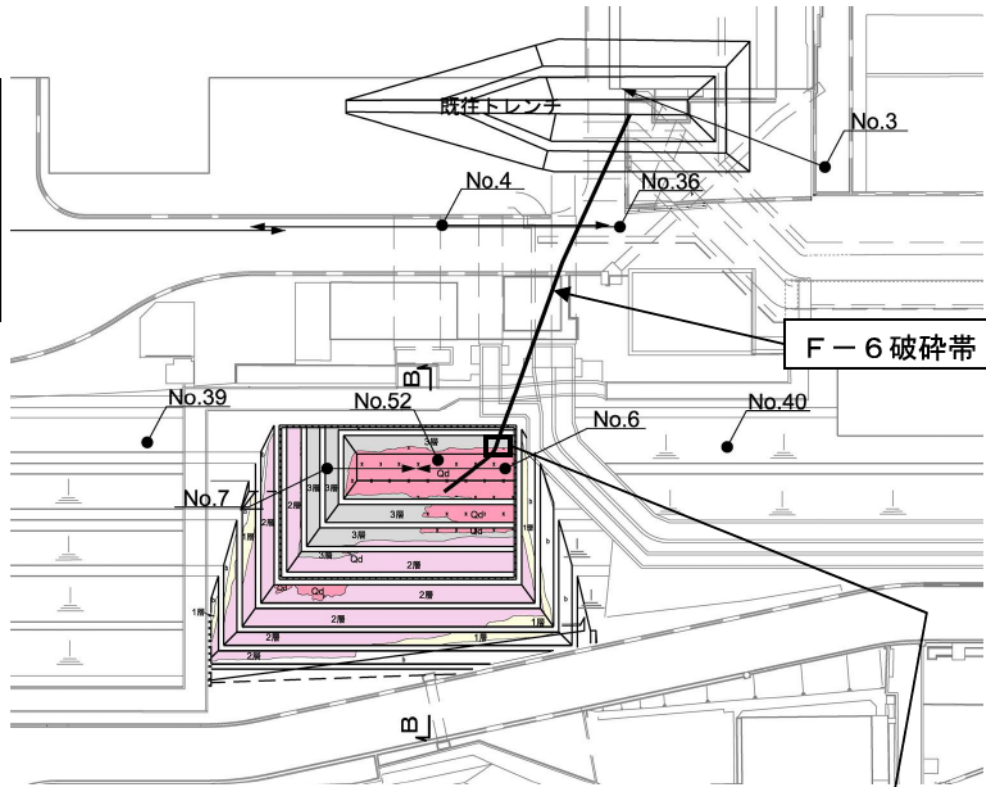
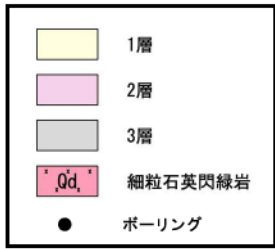


※断面図位置は第3.5.95図に示す。

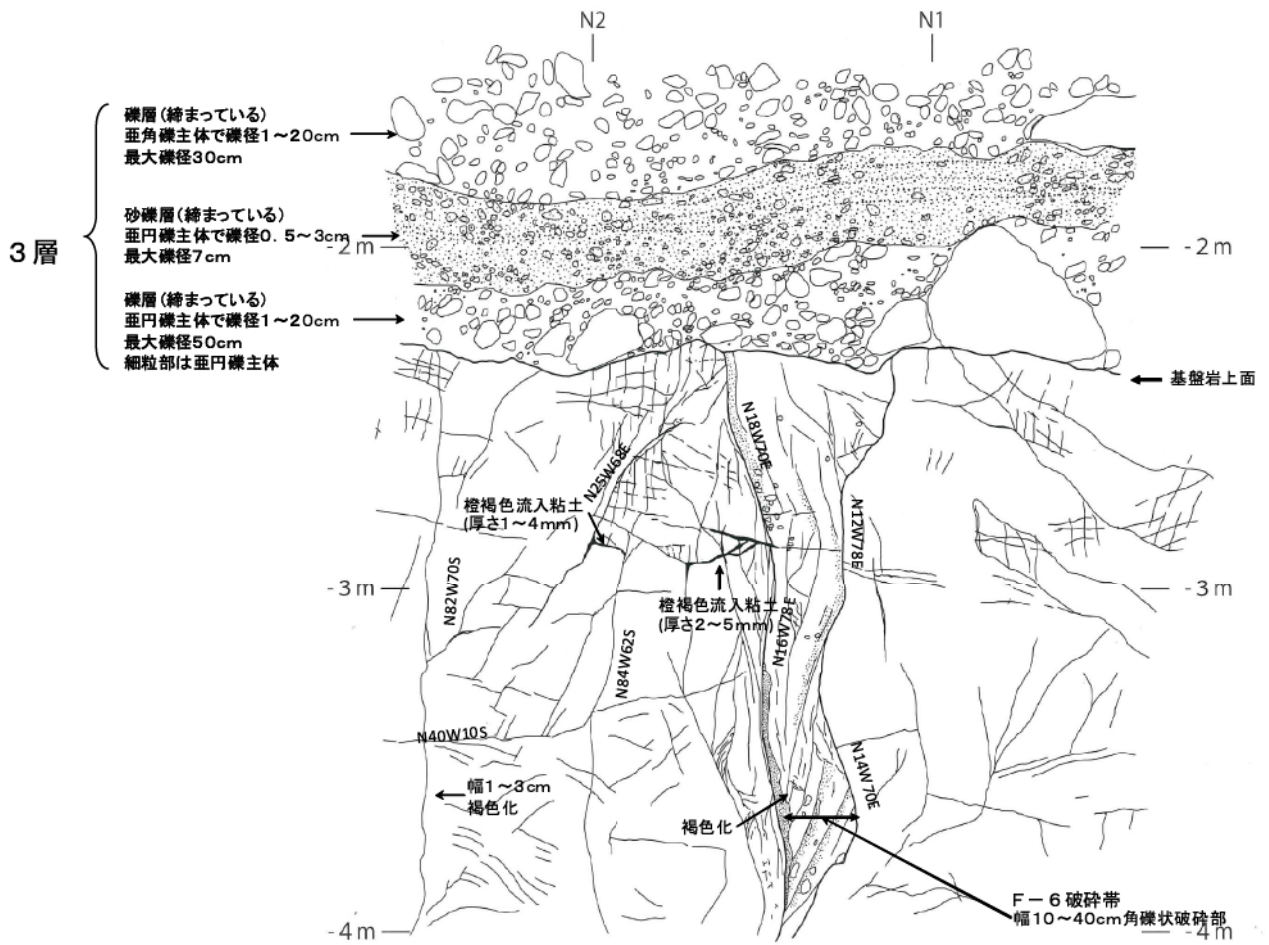
第 3.5.96 図 南側トレンチ地質断面図



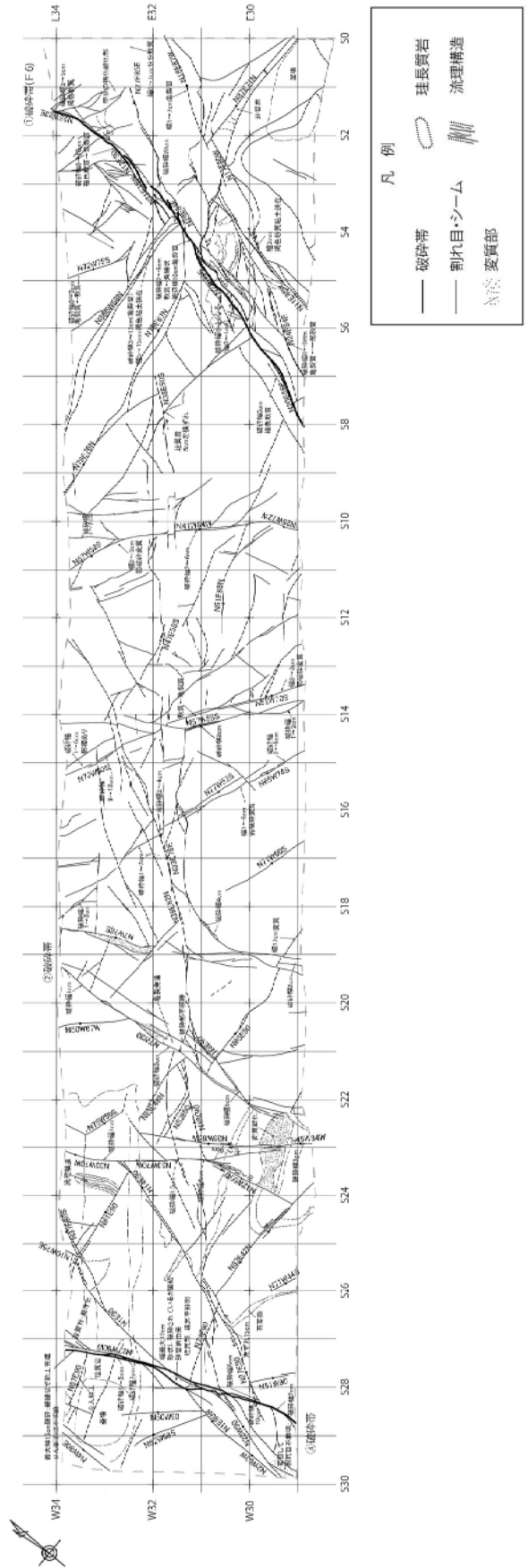
第 3.5.97 図 南側トレンチ南側法面スケッチ



※破碎帯は E. L. 3m に投影して表示



第 3. 5. 98 図 南側トレンチ北壁スケッチ



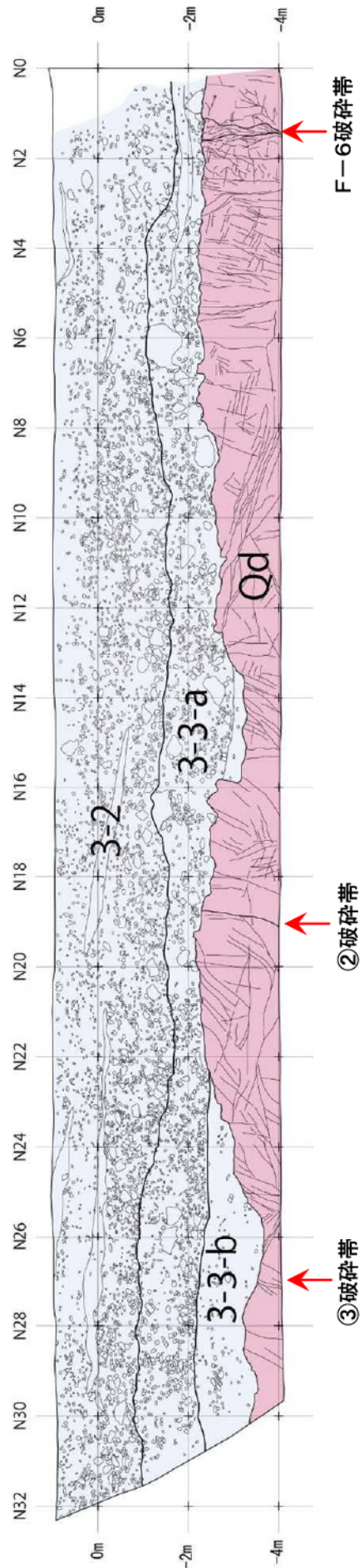
第 3.5.99 図 南側トレンチ調査結果 (底盤全体写真及びスケッチ)



F-6破砕帯

②破砕帯

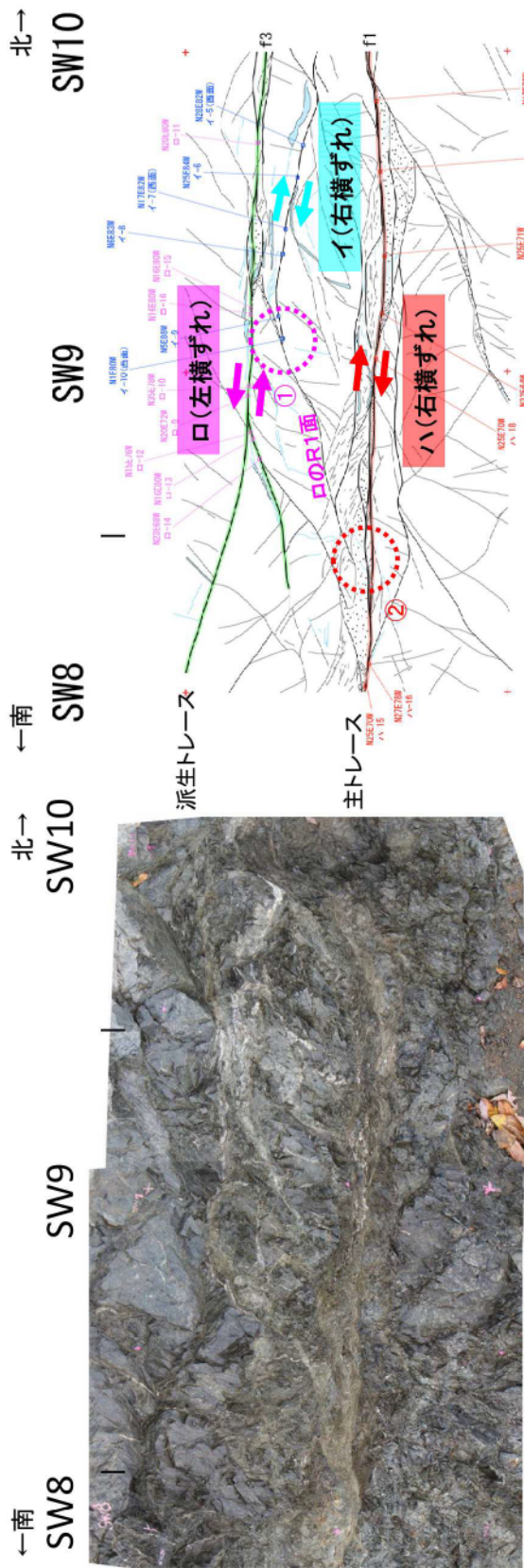
③破砕帯



F-6破砕帯

②破砕帯

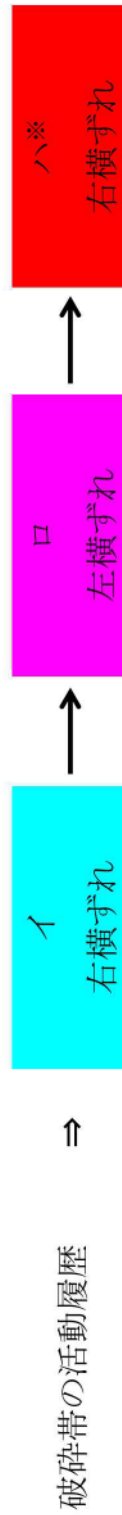
③破砕帯



イ:石英脈の引きずりに特徴付けられる弱いせん断構造を有する右横ずれせん断面
 ロ:派生トレース周辺に多く見られる左横ずれせん断面
 ハ:主トレース周辺に多く見られる右横ずれせん断面(最新活動面)

【観察例】

- ①:ロのR1面が、イのY面を切る。
- ②:ハのY面沿いの構造が、ロのR1面を切る。



破碎帯の活動履歴 ⇒

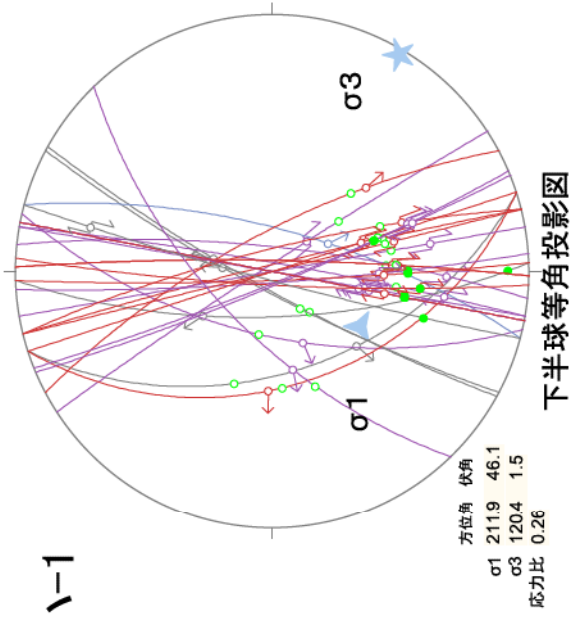
※多重逆解法を用いた活動ステージの検討の結果、活動ステージ「ハ」は古い順で「ハ-2」、「ハ-1」に分類され、本地点の活動ステージは「ハ-2」に相当。

第 3.5.101 図 山頂トレンチにおける F-6 破碎帯の活動履歴評価の例 (SW8～SW10)

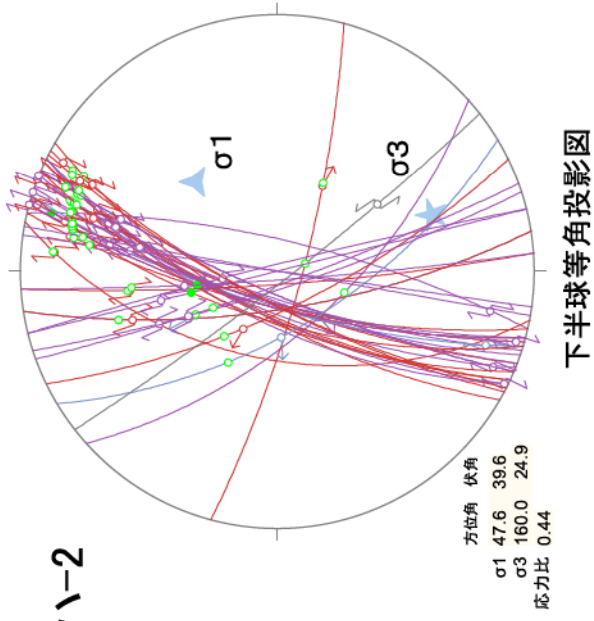
第 3.5.102 図(2) F-6 破砕帯を対象とした調査で認められた破砕帯の活動スレージ検討結果(2)

No.	場所	詳細位置	入力条件							ハ-2							ロ							区分						
			方位角	伏角	方位角	伏角	セス	1	2	3	4	5	6	7	1	2	3	4	5	6	7	1	2		3	4	5	6	7	
57		2-1 203.8 m	2320	850	1462	39.8	N	1411	1750	1627	1694	1516	1284	145.9	415	307	446	298	39.3	44.9	227	△	1620	1252	1677	1393	1648	1588	120.3	ハ-2
58	No.2孔	2-3 332.1 m	2950	430	213	3.4	S	609	679	700	523	519	668	56.6	1650	1702	1077	1589	1714	1702	1567		45.1	414	482	501	366	290	22.6	ハ-1
59		2-4(New) 83.5 (F-6)	2980	810	477	29.8	N	166	470	107	642	276	2.6	3.2	682	681	780	620	620	690	726	○	87.5	759	835	919	785	806	95.6	ハ-1
60		2-4(Old) 83.5 (F-6)	2980	810	2132	29.8	N	634	330	694	158	527	76.8		1482	1491	1539	1520	1421	1480	1526	○	7.5	41	3.5	11.9	1.6	0.6	15.6	ハ-1
61		2-6 141.26 m	3030	730	2357	51.6	N	192	4.5	10.5	79	104	330	2.6	○	1170	1189	1221	1173	1151	1200	1171	21.4	99	18.8	16.9	19.2	22.2	28.0	ハ-1
62	No.5孔	3-1(208.5)	1050	710	1532	62.7	N	283	121	24.8	11.4	64	3.2	27.5	○	443	667	298	403	83.3	67.9	331	39.7	267	64.3	21.3	21.7	24.9	31.0	ハ-1
63	No.3孔	3-2(New) 78.6 m (F-6)	620	700	1362	37.9	N	208	6.2	4.4	64	6.2	27.5	18.6	○	1410	1482	1448	1547	138.3	132.6	173.5	34.3	484	38.8	43.5	17.5	21.4	53.6	ハ-1
64	No.3孔	36-1 (48.5 m)	2260	550	2173	54.7	R	1263	1249	461	948	26.5	124.2	10.9	644	78.5	457	585	169.5	159.7	172.2	167.8	10.7	9.2	7.1	2.3	22.3	23.0	3.7	ハ-1
65		36-2 95.2 m	2660	640	2111	49.7	N	382	582	1017	384	644	326	133.4	1020	1071	989	1043	1024	1036	98.3	11.1	270	6.4	17.2	12.6	27.9	51.4	○	ハ-1
66		37-2 49.8m	3020	860	2168	49.8	N	484	1.9	32.3	11.3	32.7	107.3	△	1425	1383	1502	1439	1310	139.7	144.7	31.7	11.6	27.7	40.9	18.8	180	25.9	○	ハ-1
67	No.37孔	37-3 (107.6 m)	2520	420	271.8	40.3	N	403	10.4	5.2	24.2	46.0	45.2	24.1	970	78.7	1025	1050	77.5	77.0	124.3	153.6	137.2	154.3	150.9	146.8	137.0	125.9	○	ハ-1
68		37-5 (115.9 m)	2420	430	282.1	41.7	R	1400	176.2	163.2	165.7	131.7	132.8	16.1	436	36.3	32.4	51.0	36.2	34.9	50.8	153.9	136.6	146.9	145.2	161.2	163.0	148.1	○	ハ-1
69		37-5 (115.9 m)	2420	430	282.1	41.7	R	1400	176.2	163.2	165.7	131.7	132.8	16.1	436	36.3	32.4	51.0	36.2	34.9	50.8	153.9	136.6	146.9	145.2	161.2	163.0	148.1	○	ハ-1
70	No.6孔	6-1 97.6 m	3210	630	2464	17.7	D	1392	1500	1537	157.9	148.1	128.8	15.45	102.7	1130	1127	96.5	113.4	100.8	107.6	47.4	64.7	80.0	48.6	19.7	30.3	69.2	ハ-1	
71		6-1 (New) 52.2 m	760	870	1627	47.9	N	48	11.9	10.3	55	7.0	8.1	5.9	102	1.0	1.2	17.4	0.6	13.2	6.4	161.4	178.7	166.1	162.6	133.6	144.3	176.8	ハ-2	
72		6-1 (Old) 52.2 m	760	870	3527	65.8	R	1166	1020	1037	1084	106.9	122.0	11.93	46.5	58.8	65.2	26.2	63.5	49.5	23.9	92.8	96.7	112.7	90.2	66.5	73.3	105.5	○	ハ-1
73		MT-1/1-1	840	740	3540	0.0	D	46.7	44.9	35.5	46.6	34.9	46.9	47.4	32.2	37.0	34.9	21.4	48.2	37.0	18.3	△	119.6	116.5	146.4	92.8	114.6	123.4	116.3	ハ-1
74		MT-1/1-3	800	880	1864	21.9	N	110	16.1	12.3	26.7	0.1	52.2	23.5	○	356	45.4	42.2	20.5	57.7	44.2	14.6	32.6	30.9	120.4	77.1	68.4	78.1	97.4	ハ-1
75	南側トンネル (A)	MT-1/1-4	800	790	1816	21.6	N	190	24.0	16.5	28.1	8.1	15.5	24.2	○	356	45.4	42.2	20.5	57.7	44.2	14.6	32.6	30.9	120.4	77.1	68.4	78.1	97.4	ハ-1
76		MT-1/1-7	800	900	1700	26.0	D	22.8	5.3	8.8	13.9	11.5	24.5	26.0	○	70.7	77.5	79.5	61.2	81.3	88.5	67.8	84.2	96.7	129.7	78.0	49.4	64.0	100.0	ハ-1
77		ハ-16(北側No.1)	910	850	1593	33.4	N	18.1	7.4	5.1	10.8	5.8	21.0	18.3	○	65.7	71.7	73.9	52.2	81.0	68.6	50.4	80.7	84.2	113.8	65.3	53.4	65.8	87.4	ハ-1
78		ハ-16(北側No.1)	910	850	1593	33.4	N	18.1	7.4	5.1	10.8	5.8	21.0	18.3	○	65.7	71.7	73.9	52.2	81.0	68.6	50.4	80.7	84.2	113.8	65.3	53.4	65.8	87.4	ハ-1
79		ハ-19(安側No.1)	910	850	1771	37.8	N	32	0.7	3.0	6.4	7.7	0.6	9.5	○	63.7	68.7	71.9	50.2	79.0	66.6	48.4	82.8	86.2	115.9	67.3	55.5	67.8	89.5	ハ-1
80		ハ-19(北側No.1)	890	760	235	59.0	N	73.3	72.7	79.4	70.2	84.5	74.6	71.2	146.7	161.0	163.8	129.0	169.7	155.3	122.4	17.6	144	8.5	24.6	43.0	37.0	7.4	○	ハ-1
81		ハ-17(北側No.1)	890	760	254	60.7	N	71.4	70.7	77.5	68.3	72.7	69.2	68.2	148.8	159.1	161.8	127.1	167.7	153.3	120.4	15.7	12.4	8.4	22.7	41.0	35.0	5.5	○	ハ-1
82	南側トンネル (C)	ハ-14(北側No.1)	800	850	355.9	49.7	N	80.7	92.8	93.1	87.0	92.2	79.0	78.5	176.6	172.7	171.0	167.6	168.8	177.3	174.4	30.2	17.1	1.4	32.6	56.8	48.5	12.2	○	ハ-1
83		ロ-2(南側No.1)	1040	830	217	47.5	N	98.5	85.1	93.9	75.7	110.1	104.8	86.5	132.5	139.7	131.7	122.7	152.0	140.4	118.6	6.5	0.0	31.7	21.6	5.6	15.4	2.9	○	ハ-1
84		ロ-9(南側No.1)	860	840	151	49.6	N	93.3	89.1	94.2	81.3	104.2	96.0	84.0	142.5	148.5	146.7	130.3	160.1	146.1	126.6	1.0	1.2	29.9	21.5	14.4	3.2	1.6	○	ハ-1
85		ロ-22(南側No.1)	2740	900	40	80.0	S	89.9	92.6	89.6	80.6	96.2	90.4	73.8	140.8	143.8	146.2	130.1	153.3	142.3	129.2	24.9	24.5	55.6	0.5	10.6	20.0	28.6	○	ハ-1
86		ロ-24(南側No.1)	2740	900	40	80.0	S	77.9	84.6	81.6	72.8	88.2	82.4	65.8	132.8	135.8	138.2	122.1	145.3	134.3	121.2	32.9	32.5	65.6	7.5	18.6	28.0	28.6	○	ハ-1
87		SI1 5/2-1	2680	840	352.5	29.8	N	67.3	67.0	67.1	59.2	58.2	67.7	78.3	0.9	3.0	7.9	10.0	1.4	4.7	174.3	175.4	137.2	158.6	154.7	168.5	174.5	○	ハ-2	
88		SI1 5/2-2	2680	850	1810	44.8	R	6.5	27.0	16.8	13.6	16.0	7.9	3.5	76.4	78.9	83.1	67.2	85.9	74.3	70.2	104.8	105.7	143.8	79.6	71.2	85.7	97.4	○	ハ-1
89		SI1 5/2-3	2680	860	1817	42.9	R	6.2	23.8	14.8	10.5	15.7	8.6	4.7	71.9	74.3	78.4	62.3	81.9	70.6	64.3	106.6	107.0	149.8	81.2	79.4	91.5	89.4	○	ハ-1
90		SI1 5/2-5	720	900	1620	38.0	D	8.4	15.6	11.1	8.1	5.2	12.0	6.7	111.8	121.5	119.8	108.7	119.8	107.4	122.2	41.1	64.2	77.9	46.3	14.5	26.1	67.8	ハ-1	
91		SI2 0/2-1	760	900	1660	38.0	D	14.5	5.3	1.3	2.8	3.1	18.2	16.2	○	91.0	98.4	99.3	84.0	100.5	87.7	94.4	62.2	81.4	106.3	62.0	30.9	44.0	83.9	ハ-1
92		SI2 0/2-2	760	900	3460	40.0	D	92.5	72.7	76.7	80.8	81.2	96.2	94.2	130	21.4	21.4	6.0	22.5	9.7	16.4	140.2	159.4	175.7	140.0	106.9	122.0	161.9	ハ-2	
93		SI2 0/2-7	2680	860	351.2	49.8	N	89.6	70.6	79.2	83.4	79.8	86.3	98.7	18.2	15.2	11.2	27.7	8.2	19.9	24.8	○	105.8	163.1	125.3	171.1	159.2	175.2	169.8	ハ-2
94		SI2 0/2-8	2780	900	60	30.0	D	58.1	56.5	59.7	70.5	48.5	55.1	74.9	14.9	12.2	11.3	24.8	2.1	12.6	26.4	176.9	179.2	151.2	154.5	177.4	173.3	175.0	ハ-2	
95	南側トンネル ②破砕帯	SI2 0/2-9	2800	900	1900	50.0	D	23.8	24.0	20.6	8.4	34.7	30.3	5.6	62.4	65.1	65.0	52.9	75.2	65.1	51.1	106.9	104.2	130.3	77.1	112.0	114.2	97.4	ハ-1	
96		SI2 0/2-10-1	2810	900																										

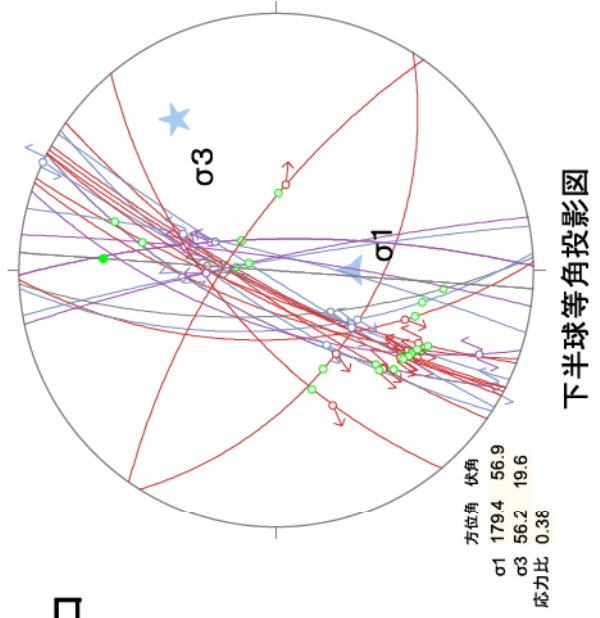
ハ-1



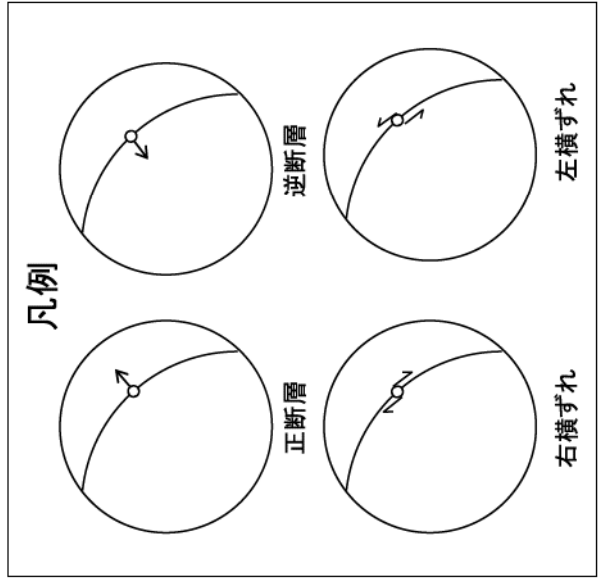
ハ-2



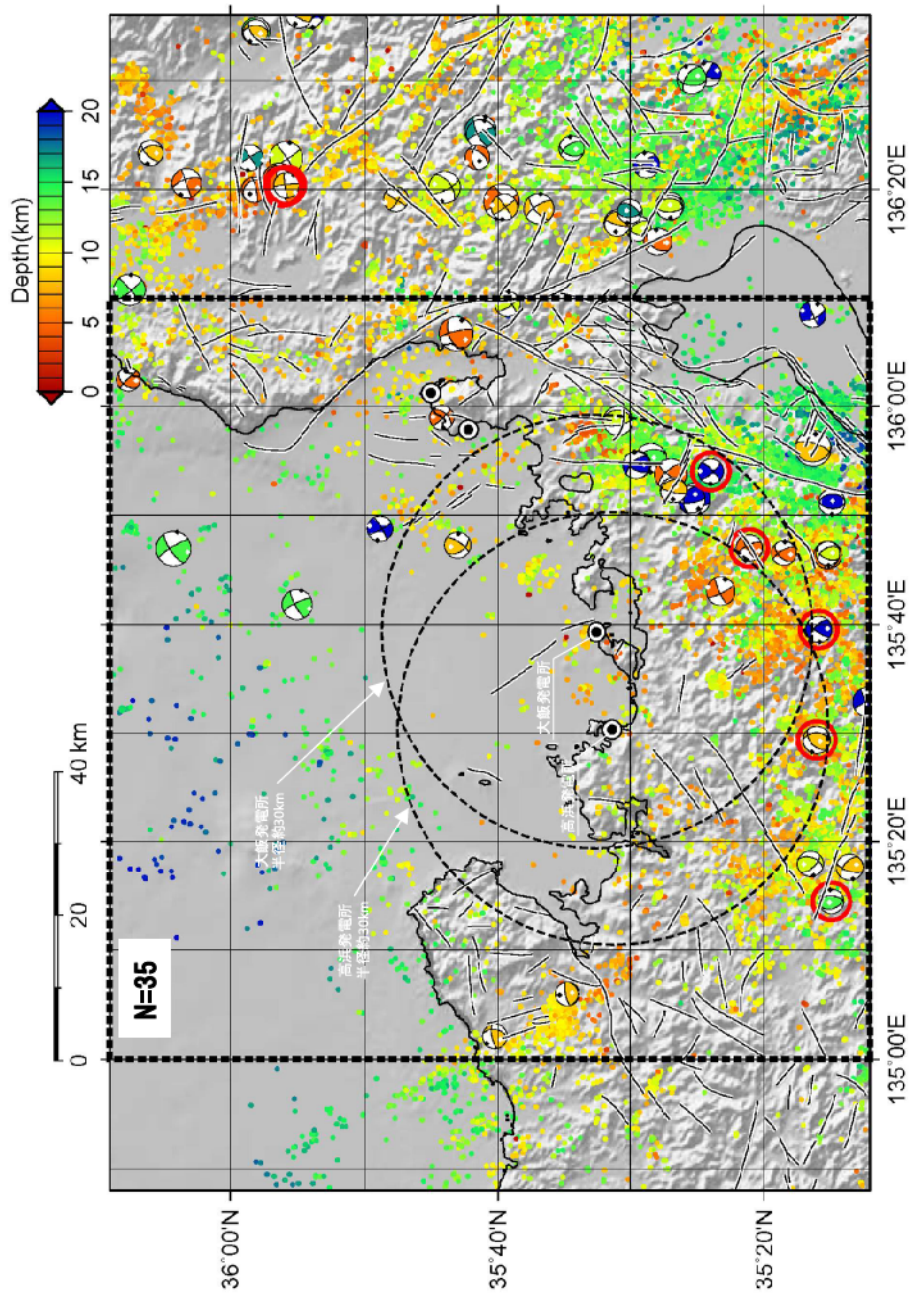
口



凡例



第 3.5.103 図 各活動ステージに対応する応力状態



【解析対象データ】

- ・期間: 1997/1/1~2013/12/31
- ・東経: 134.8~136.6度
- ・北緯: 35.2~36.15度
- ・深さ: 0~20km
- ・Mw: 0~9.9



防災科学技術研究所 F-net より抽出

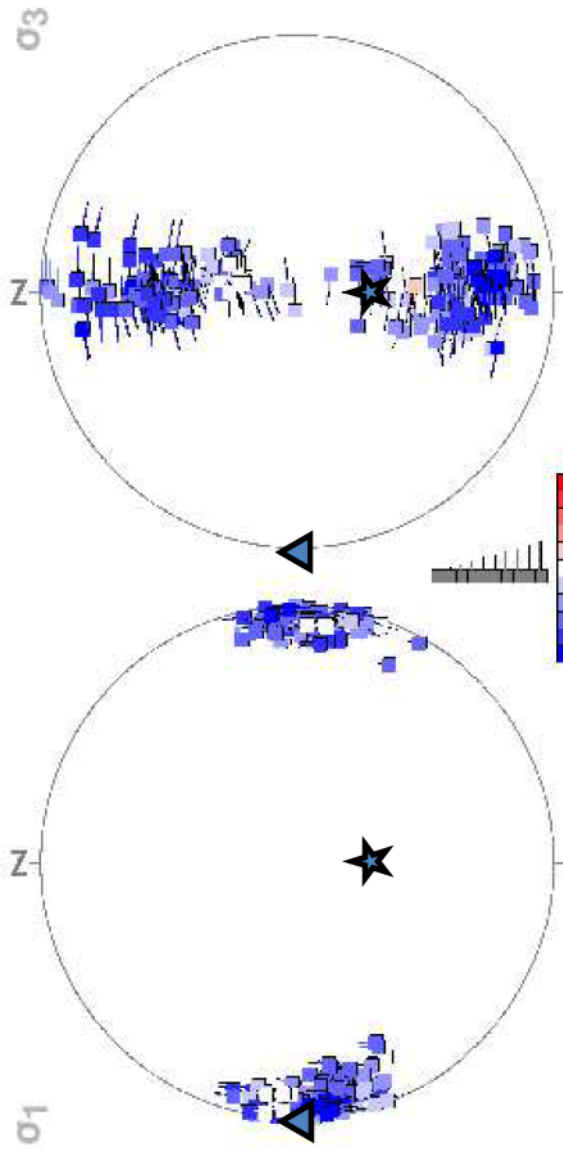
- F-netメカニズム解データ
- ・データ総数: 35個
- ・Mw: 3.2~4.8

Mechanism solution : Fnet(1997-2013), Epicenter: JMA(2000-2013)

図中の○は東北地方太平洋沖地震発生後を示す

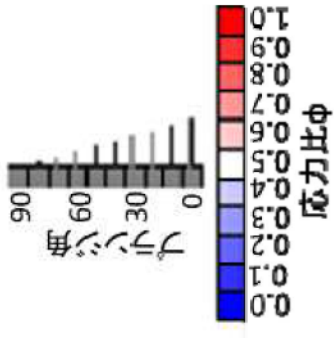
- ・上記条件に合致する震源メカニズム解を防災科学技術研究所 F-net より抽出した結果、35個の震源メカニズム解が抽出された。
- ・抽出された震源メカニズム解によれば、大飯発電所の敷地から半径約30kmの範囲には、正断層型の地震の発生は認められない。
- ・35個の震源メカニズム解を解析対象とし、多重逆解法(Yamaji (2000a⁽¹⁶⁷⁾, 2000b⁽¹⁶⁸⁾))を用いて、大飯発電所敷地周辺における現在の広域応力場に関する検討を行った。

第 3. 5. 104 図(1) 大飯発電所敷地周辺における現在の広域応力場に関する検討(1)



凡例

- ・左のステレオグラムでは、■の位置がσ₁軸の方向、ヒゲの方向がσ₃軸の方位角。ヒゲの長さがσ₃軸の方位角を表す。
- ・右のステレオグラムでは、■の位置がσ₃軸の方向、ヒゲの方向がσ₁軸の方位角。ヒゲの長さがσ₁軸の方位角を表す。



最適解 ▲:σ₁軸 ☆:σ₃軸

- ・σ₁は東西で水平 → 東西圧縮応力場
- ・σ₃は南北でやや傾く → 横ずれ(主体)～逆断層
- ・応力比φが小さいので、σ₂とσ₃の差は極めて小さい

$$\text{応力比}\phi = \frac{\sigma_2 - \sigma_3}{\sigma_1 - \sigma_3}$$

・35個の震源メカニズム解を解析対象とし、多重逆解法(Yamaji (2000a⁽¹⁶⁷⁾、2000b⁽¹⁶⁸⁾))を使用して、敷地周辺における現在の広域応力場に関する検討を行った結果、敷地周辺における現在の広域応力場は、東西圧縮応力場である。

・なお、現在の広域応力場は、東北地方太平洋沖地震発生以前と以降で顕著な変化は認められない。

場所	試料名	走向傾斜	条線レイク	運動センス	破碎帯幅 (cm)		評価				
					肉眼観察	CT画像					
No.10	10_19.45 m	N19E/60W	-	逆断層	9	-	幅10cm未満 隣接孔でなし (No.33孔)				
No.35	35-?, 69.5 m	N17W/85E	10S	左横ずれ、正断層	0	-	変位センスは不明瞭であり、割れ目沿いの条線しか認められないことから、破碎部としては抽出されない。				
	35-2, 118.61	N32E/51W	5N	右横ずれ、正断層	5	-	幅10cm未満 最新部付近の割れ目に沿って、緑泥石/スメクタイト混合層鉱物が晶出。				
No.33	33-1 18.98 m	N38W/35W	30S	左横ずれ、正断層	60	60	隣接孔でなし (No.12,34,13孔)				
No.13	13-1 (36.6 m)	N21W/31W	50N	右横ずれ、正断層	15	6	幅10cm未満 隣接孔でなし (No.33孔) 緑泥石/スメクタイト混合層鉱物が晶出した後の活動は認められない。				
								13-2, 40.25 (上面)	右横ずれ、逆断層		
								13-2, 40.25 (下面)		右横ずれ、逆断層	
								13-2, 40.32 m			右横ずれ、逆断層
								13-e2, 76.48			
1-4 (45.3 m)	右横ずれ、逆断層										
13-2, 40.25 (上面)		右横ずれ、逆断層									
13-2, 40.25 (下面)			右横ずれ、逆断層								
13-2, 40.32 m				右横ずれ、逆断層							
13-e2, 76.48					右横ずれ、逆断層						
1-4 (45.3 m)	右横ずれ、逆断層										
2-3 82.81		左横ずれ、逆断層									
36-1 (48.5 m)			逆断層								
37-5 (115.9 m)				逆断層							
6-1 37.6 m					右横ずれ、逆断層						
MT-1:ハ-1	右横ずれ										
8-2 31.3 m		右横ずれ、逆断層									
DT2			右横ずれ、逆断層								
DT1				逆断層							
No.1					幅3cm以下	-	幅3cm以下				
No.2	隣接孔でなし (OK-11孔, No.2孔)				14	隣接孔でなし (OK-11孔, No.2孔)					
No.36	隣接孔でなし (No.37孔、既往トレンチ、旧試掘坑、1号炉基礎岩盤)	10			隣接孔でなし (No.37孔、既往トレンチ、旧試掘坑、1号炉基礎岩盤)						
No.37	幅10cm未満 隣接孔でなし (No.4孔)	5	幅10cm未満 隣接孔でなし (No.4孔)								
No.6	幅10cm未満 隣接孔でなし (No.4孔)	5	幅10cm未満 隣接孔でなし (No.4孔)								
南側トレンチ	隣接孔でなし (南側トレンチ、No.7,4,36,37孔)	12	隣接孔でなし (南側トレンチ、No.7,4,36,37孔)								
No.8	上載層に変位変形なし	-	上載層に変位変形なし								
陀羅山 トネル	SEMによる詳細観察により最新面上の粘土鉱物が破碎されていない	10	SEMによる詳細観察により最新面上の粘土鉱物が破碎されていない								
	固結	-	固結								
	固結	-	固結								

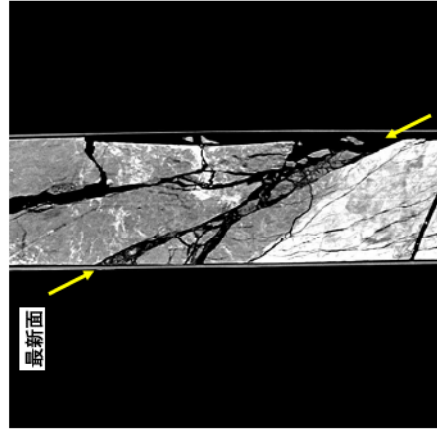
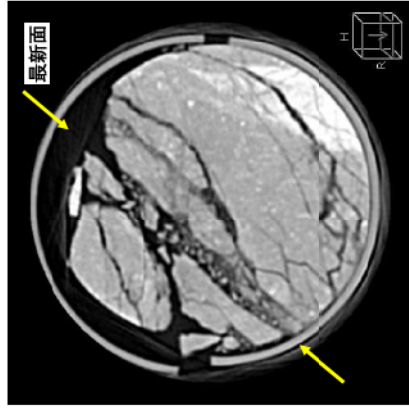
・各活動ステージに区分できない破碎部は、18箇所認められた。

・これらの破碎部については、隣接孔で認められず連続性に乏しいこと、最新面又はその付近に晶出した緑泥石/スメクタイト混合層鉱物が破碎されていないこと、破碎部が固結していること等から、後期更新世以降の活動は認められないと評価する。

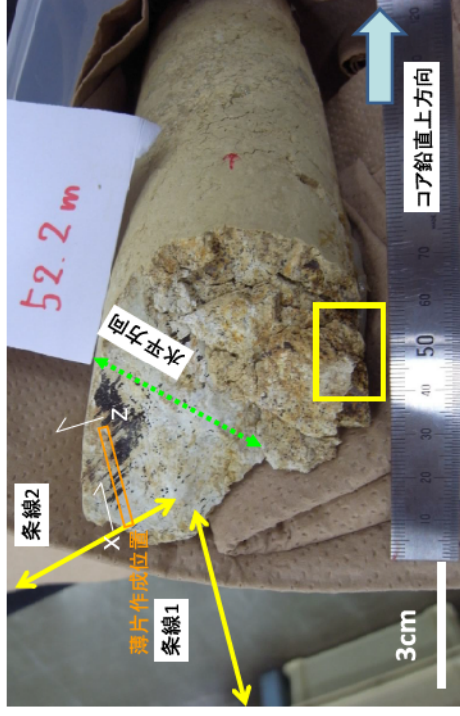
【No.6孔諸元】
 孔口標高: E.L. 9.29m、掘進方向: 250°、掘進角度: 70°、掘進長: 120m



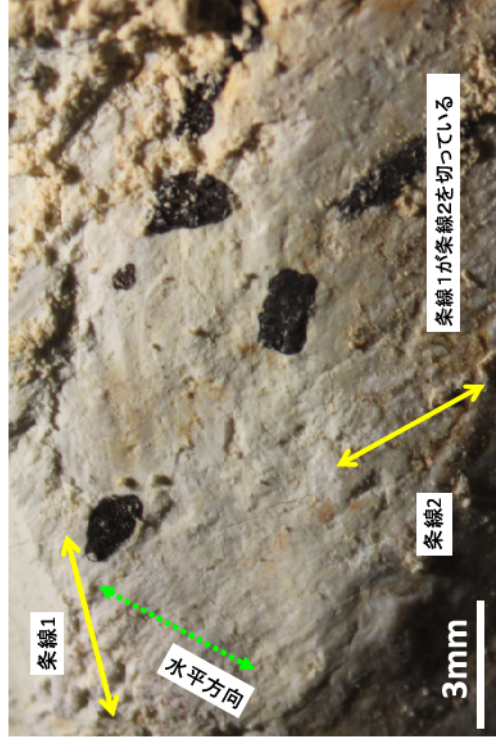
※赤下線は破砕部を示す。



CT画像解析の結果、幅2cmの角礫状破砕部が認められる。

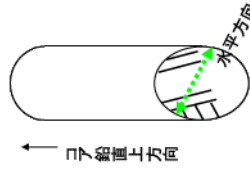


No.6 52.20mの断面(上盤下面)



断面面上に見られる2方向の条線

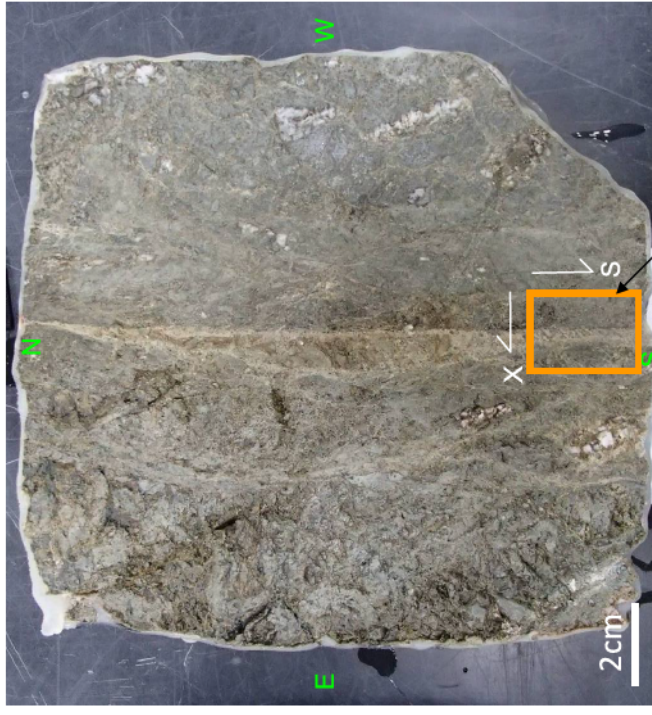
「ハ-1」に対応する条線1が「ハ-2」に対応する条線2を切っており、「ハ-1」は「ハ-2」より新しい



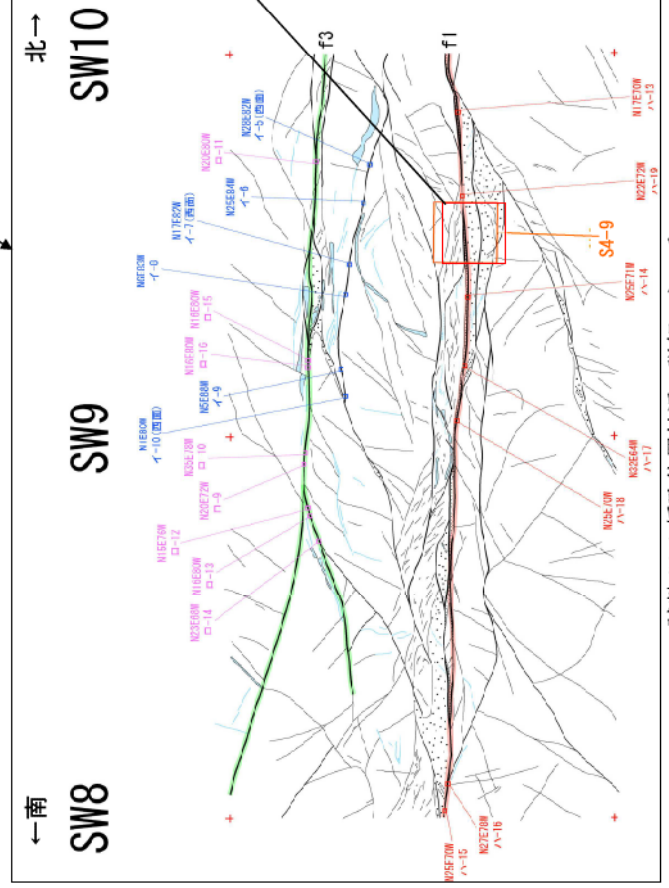
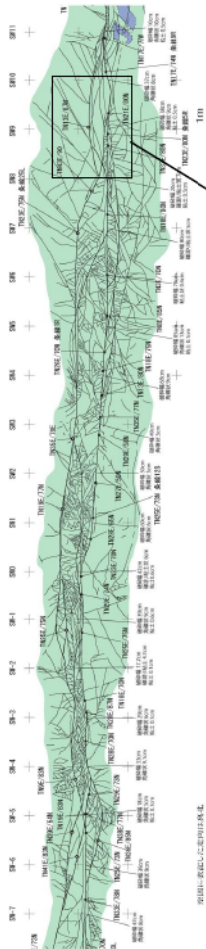
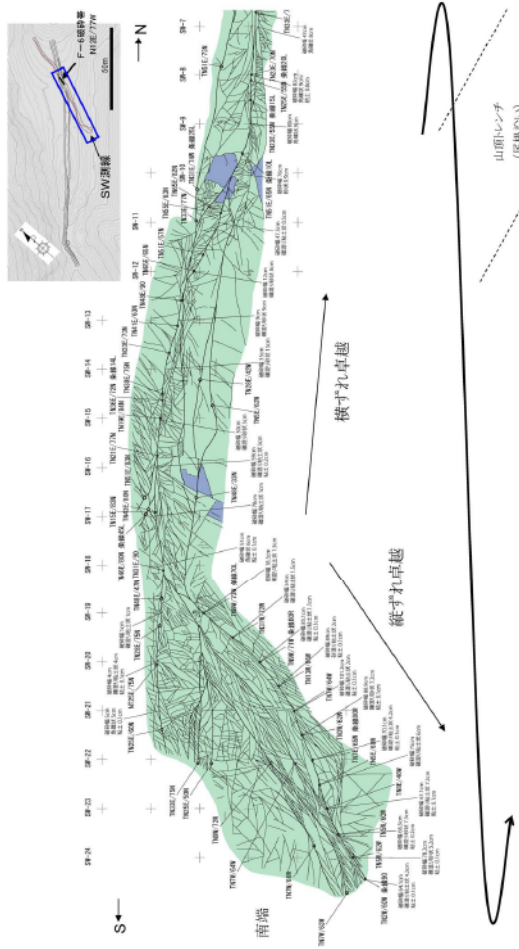
→右ずれ正断層
 または
 左ずれ逆断層センス
 (条線方向:
 1:レイク48L、
 2:レイク66R)

条線1:ハ-1に対応
 条線2:ハ-2に対応

試料 S4-9

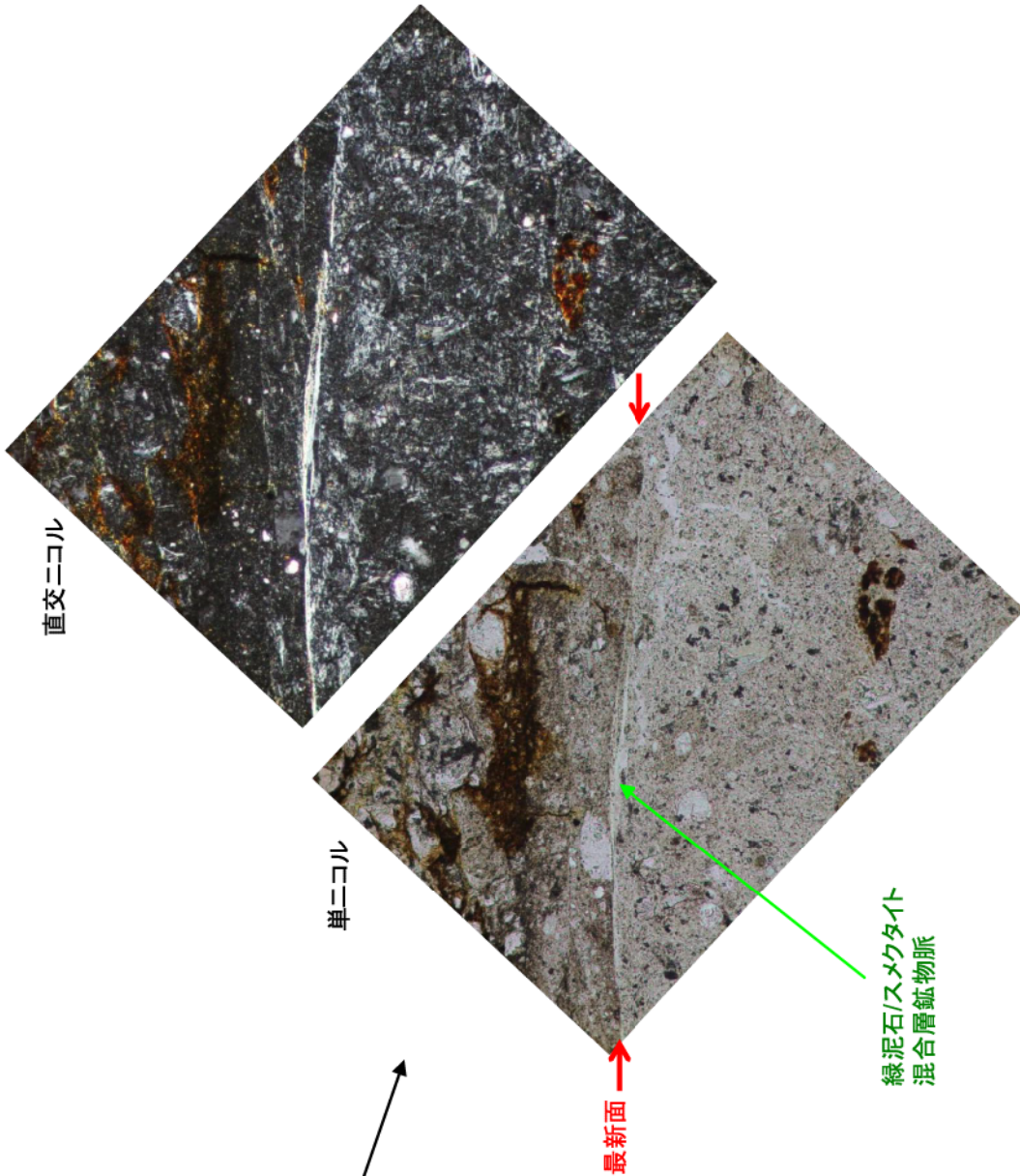
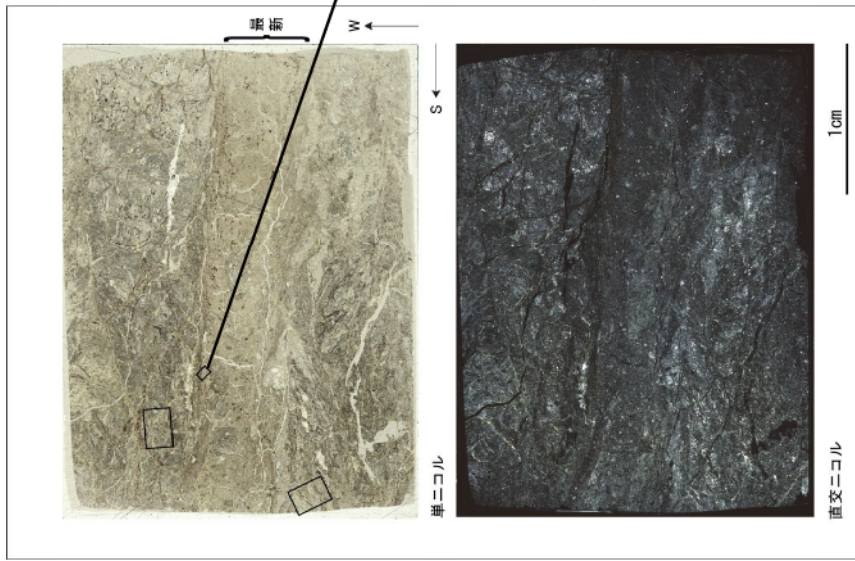


・SW9～10の主トレース上で試料 S4-9 をサンプリングした。
 ・最新面の性状を確認するために、試料 S4-9 を水平にカットし、
 試料中で認められる最新面上で薄片を作成・観察した(第
 3.5.107 図(2)～(4))。



第 3.5.107 図(1) 山頂トレンチ F-6 破砕帯 薄片観察結果 (位置図)

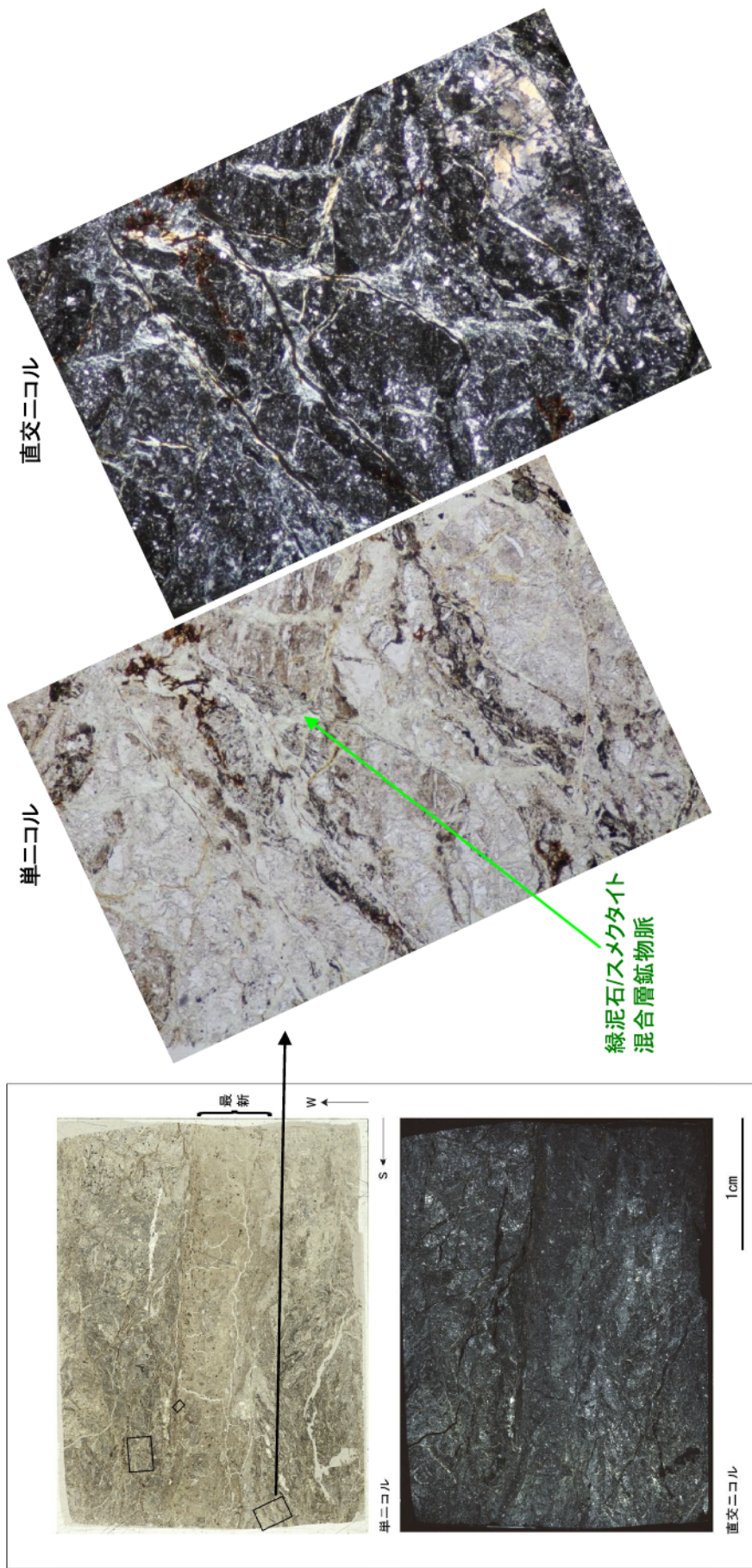
試料 S4-9 採取位置付近の詳細スケッチ



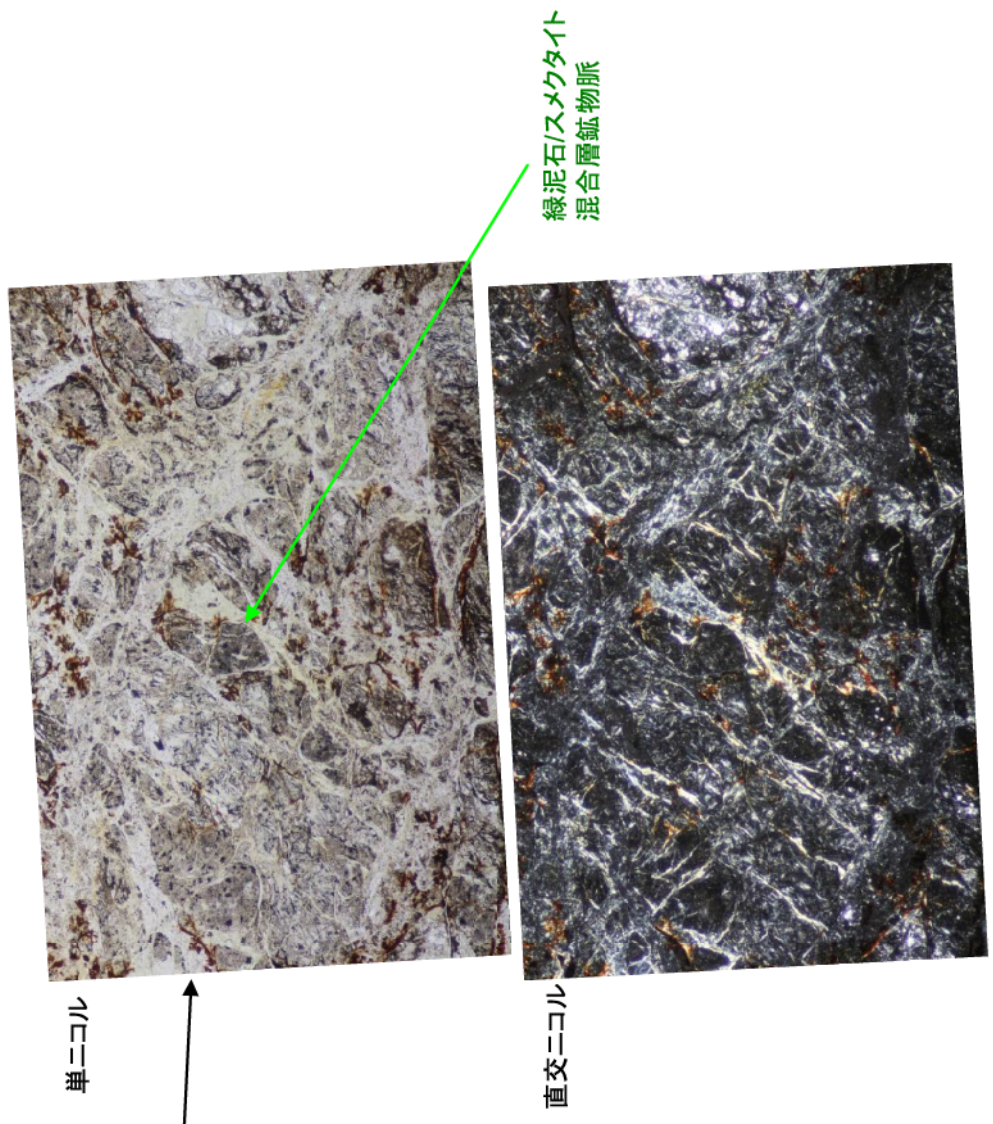
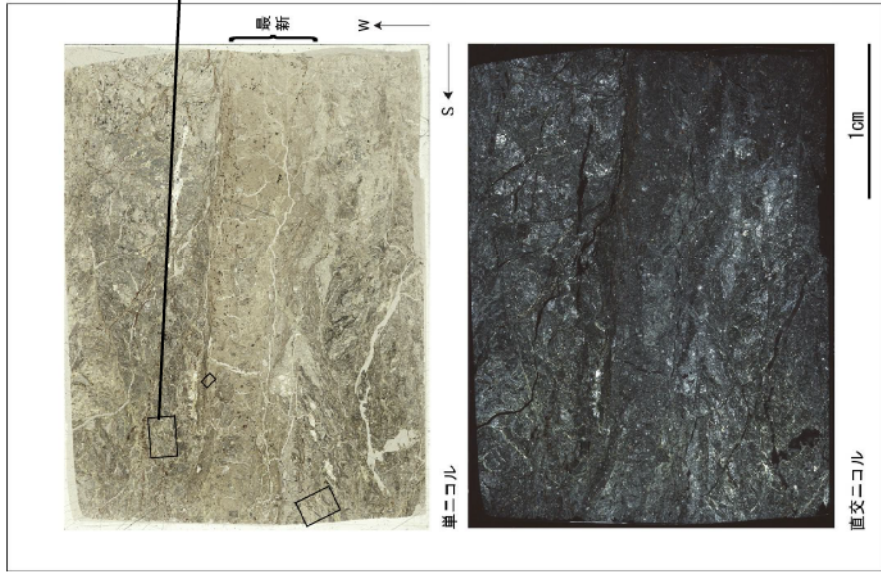
薄片観察結果

- ・薄片中には、上部と下部にカタクレーサイトが認められ、中央部に粘土混じり細粒部(最新部)がみとめられる。
- ・最新部と上部のカタクレーサイトとの境界は、Y面(最新面)により境界付けられている。最新部と下部のカタクレーサイトとの境界はやや不明瞭であり、凹凸がある。
- ・最新面には緑泥石/スメクタイト混合層鉱物の結晶が脈状に充填しており、その結晶は破碎されていない。
- ・周辺の破碎部にも緑泥石/スメクタイト混合層鉱物脈が発達しており、破碎されていない。

第 3.5.107 図(2) 山頂トレンチ F-6 破碎帯 薄片観察結果 (その 1)



第 3.5.107 図 (3) 山頂トレンチ F-6 破砕帯 薄片観察結果 (その 2)

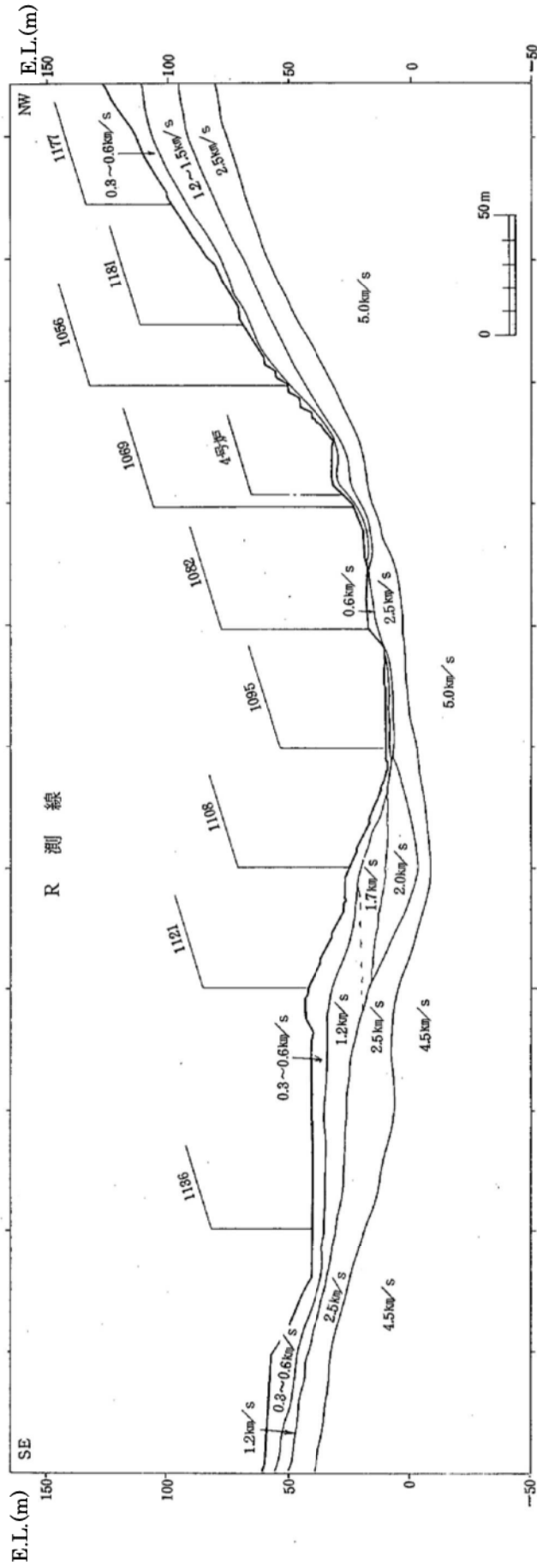


第 3.5.107 図(4) 山頂トレンチ F-6 破碎帯 薄片観察結果 (その 3)

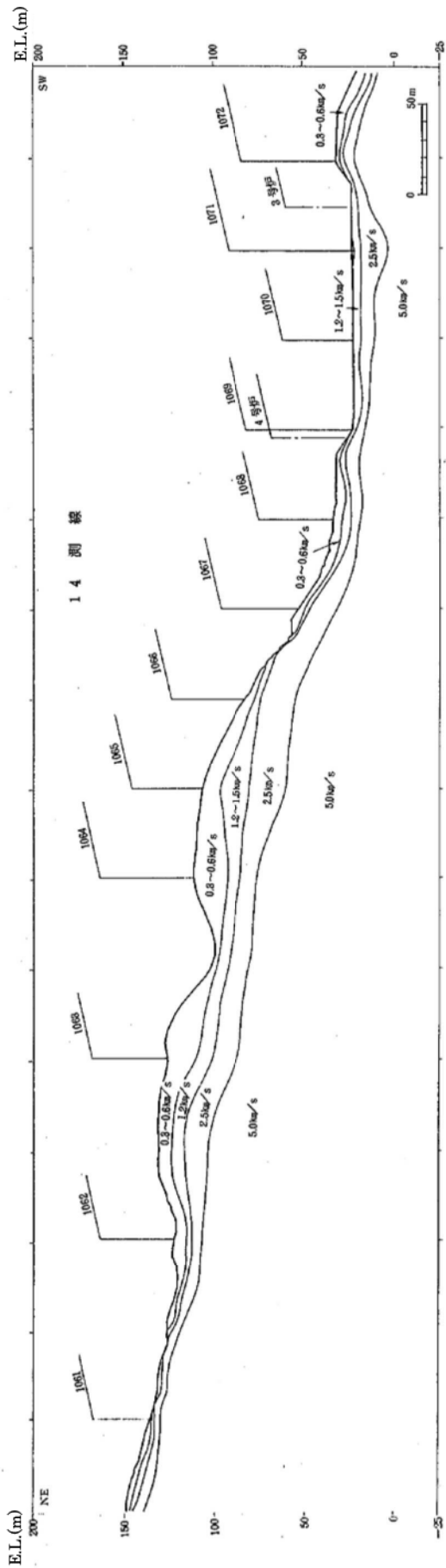
No.	場所	詳細位置	入力条件		ハ-1							ハ-2							ロ							区分			
			方位角	体積	方位角	体積	メンス	1	2	3	4	5	6	7	1	2	3	4	5	6	7	1	2	3	4		5	6	7
1	10-1935m	2869 674	221.6	31.3	N	48.4	61.6	328	42.3	40.1	39.2	16.4	△	135.8	131.4	130.7	131.7	139.0	124.7	133.8	1.0	0.9	6.0	3.0	4.0	5.0	6.0	7.0	ロ
2	No.104	2963 674	207.8	2.2	S	80.3	93.4	64.7	74.2	72.0	71.1	48.3		167.7	163.3	162.8	163.6	170.8	156.6	165.6	3.29	3.28	2.9	3.0	2.7	2.1	2.8	2.4	ロ
3	10-1945 m	2896 636	297.7	69.3	R	174.7	176.9	161.7	176.1	173.7	161.0	44.7		104.8	109.8	106.7	108.7	102.4	114.6	109.2	131.6	122.2	116.5	122.2	115.5	112.3	121.5	ロ	
4	No.184	267.0	21.0	31.3	N	68.7	48.7	65.7	110.5	82.3	68.7	51.8		92.5	93.4	101.3	88.1	98.9	86.1	85.5	30.9	30.9	36.0	47.0	47.2	36.9	32.6	△	
5	No.124	12-407.2 m	268.0	20.8	33.8	N	66.5	60.0	63.9	98.1	78.8	43.0	43.2	129.2	124.1	123.2	131.4	120.6	120.7	120.7	92.0	5.6	2.5	4.5	6.5	1.2	0.2	ロ	
6	35-7-695 m	730 850	160.1	10.0	S	139.5	130.8	151.5	150.5	142.2	135.8	145.8		95.0	109.1	116.8	103.8	96.2	103.6	97.0	101.7	126.0	111.4	83.8	116.9	86.6	96.2	ロ	
7	No.3574	2280 630	228.0	63.0	N	40.1	11.7	92.1	142.6	68.0	58.4	119.4		22.2	14.9	10.1	26.2	23.3	5.5	5.5	91.2	95.3	62.0	25.3	122.3	38.2	10.6	△	
8	35-2-11861	3020 510	258.3	3.0	S	77.6	89.5	65.5	66.7	75.3	64.8	50.8		167.3	156.7	162.1	160.0	164.8	158.9	163.1	44.0	36.9	32.8	45.2	30.5	26.9	35.8	△	
9	No.3374	2320 350	167.3	16.7	S	60.8	52.8	63.5	71.6	84.0	37.7	56.9		148.5	179.2	115.1	163.3	165.4	136.5	178.9	35.7	47.3	53.7	42.2	41.4	52.6	38.3	△	
10	19-e-1(19.75m)	1950 790	117.8	46.8	N	95.1	58.0	118.6	106.0	88.8	116.2	136.9		22.0	0.8	19.5	5.7	1.9	4.5	33.2	170.7	163.3	178.1	176.6	163.7	160.7	179.8	△	
11	19-1(366 m)	2490 310	293.4	23.2	N	43.4	47.3	50.7	38.1	25.0	67.6	57.3		87.7	64.2	98.0	71.8	72.4	79.9	68.8	60.1	69.7	65.8	71.8	76.1	63.5	79.0	△	
12	19-2,4025(上面)	2730 630	207.4	39.1	R	123.2	127.3	129.3	93.4	112.9	143.8	152.2		61.9	65.7	57.3	67.2	56.7	70.3	69.2	173.5	171.3	166.8	162.3	160.2	163.4	167.5	△	
13	No.194	2730 630	207.4	39.1	R	118.3	122.4	124.4	88.4	108.0	138.9	147.3		57.0	60.8	52.3	62.3	53.8	65.3	64.3	178.4	176.2	171.7	167.2	165.1	163.3	172.4	△	
14	19-2,4032 m	2590 620	202.8	46.3	R	115.9	133.2	110.8	66.2	98.8	139.9	123.2		71.6	75.2	58.0	76.8	68.1	80.1	80.8	179.3	177.2	175.1	160.2	159.5	171.4	169.2	△	
15	19-e-2(546.2 m)	2520 470	221.4	42.7	N	29.7	21.1	33.2	57.2	48.0	0.4	19.2		119.5	104.5	137.7	108.5	114.8	108.4	104.6	0.8	6.2	4.0	15.4	17.0	7.5	15.2	△	
16	19-e-2(764.6 m)	3090 440	254.7	28.4	R	158.7	145.6	171.2	172.5	160.4	172.1	174.0		68.8	82.4	76.0	76.3	74.8	79.4	73.7	171.6	160.8	157.5	173.2	153.9	150.4	158.9	△	
17	ハ-1(SW43 S4+)	2980 760	270	3.9	D	87.8	70.0	111.0	92.8	111.4	93.8	128.1		0.7	0.8	7.5	2.3	5.4	12.0	1.0	147.2	142.3	150.8	138.3	145.7	153.6	138.4	△	
18	S1510	1030 760	190.6	9.7	D	44.9	44.1	43.5	39.4	57.2	30.4	47.6		16.3	7.7	16.8	3.5	3.3	14.5	1.5	107.6	91.2	120.6	98.4	96.7	148.5	145.5	△	
19	ハ-2(SW40)	3000 700	251	13.1	D	85.8	70.1	102.6	94.8	88.8	92.5	117.5		5.9	2.2	1.0	2.5	9.7	6.1	5.5	131.6	130.7	138.1	124.2	134.9	142.0	127.9	△	
20	ハ-3	2880 750	118	25.1	N	48.4	39.8	70.6	26.0	47.7	58.9	97.4		16.8	17.4	14.7	14.3	23.3	7.8	14.9	127.4	122.3	130.6	126.4	128.2	132.6	120.0	△	
21	ハ-4	2880 780	180	0.0	D	56.7	55.3	89.0	27.3	42.1	70.5	122.8		9.0	6.6	10.8	10.7	1.3	17.4	10.3	158.6	151.2	159.8	157.6	156.8	160.7	147.5	△	
22	SW285	2810 520	48	7.8	D	82.7	78.3	91.0	79.7	77.0	102.0	108.0		1.6	6.9	2.8	4.9	0.6	7.4	5.3	124.4	130.0	132.9	131.8	138.4	137.6	134.3	△	
23	ハ-9(SW16)	2910 760	210	0.0	D	74.6	65.6	100.9	59.0	81.2	86.1	126.2		80.7	72.2	11.2	10.1	1.4	17.4	9.0	154.2	148.5	157.0	151.3	153.6	159.0	145.6	△	
24	ハ-10(SW16.5)	2910 770	168	21.4	N	49.2	40.7	78.1	29.8	54.5	61.1	104.7		14.4	15.7	11.1	12.5	21.4	5.1	13.7	133.6	127.2	135.9	130.4	132.1	137.6	123.8	△	
25	ハ-12(SW15)	2830 740	86	11.5	D	48.7	50.5	68.0	16.8	36.6	62.3	101.1		0.0	0.8	0.6	2.9	6.6	5.0	3.8	141.2	136.8	144.5	144.9	144.7	146.0	135.3	△	
26	SW101	2870 740	198.5	8.6	D	79.5	75.2	101.5	56.0	77.2	92.8	128.5		19.2	18.9	20.4	22.1	13.0	27.9	22.0	161.5	157.0	165.0	162.2	163.7	167.1	155.3	△	
27	ハ-14(SW9.3)	2850 710	190	17.0	D	74.0	60.9	92.2	76.0	84.2	83.2	110.5		9.4	7.0	4.8	6.1	14.0	1.2	7.9	129.6	127.6	135.2	125.4	132.6	138.6	125.7	△	
28	山頂トレンチ (ハ)	2920 720	220	0.0	D	85.7	74.9	105.1	80.3	93.1	96.5	126.2		10.1	7.2	14.7	10.7	2.2	19.6	8.6	149.1	146.3	154.0	146.8	151.8	157.1	144.6	△	
29	SW88	2930 800	203.9	4.9	D	69.7	60.0	108.7	48.3	76.4	82.4	135.7		90.7	72.4	17.7	12.2	2.2	19.6	8.6	164.3	155.6	164.8	158.3	159.2	165.8	150.8	△	
30	2950 700	222	7.5	D	85.0	72.2	102.3	87.6	94.1	94.4	120.3		10.1	3.9	5.6	4.6	3.2	11.7	2.8	11.7	138.8	137.3	144.7	135.0	142.5	148.4	135.7	△	
31	ハ-20	2860 670	152	23.8	N	70.5	57.9	85.9	75.7	77.9	80.3	102.7		15.8	11.4	11.2	11.6	18.9	5.0	13.5	118.6	118.8	125.6	115.3	124.2	129.7	117.7	△	
32	2930 800	184	24.6	N	39.7	30.0	78.7	18.3	46.4	52.4	105.8		19.9	22.8	15.3	18.2	27.8	10.4	21.4	11.0	134.3	126.6	134.8	128.3	128.2	135.8	120.8	△	
33	SW4-6	2960 700	206.3	0.9	D	95.3	81.9	112.6	98.5	105.4	104.3	105.8		9.8	12.8	14.8	13.3	5.7	20.7	11.3	147.6	146.2	153.6	143.1	151.1	157.3	144.3	△	
34	ハ-12-AN(XSW8B)	2850 760	89	23.2	N	33.4	34.6	58.8	20	21.1	46.8	92.8		13.0	14.6	12.7	10.8	20.1	4.9	10.2	132.2	126.3	134.5	134.0	133.3	135.6	124.8	△	
35	ロ-13-AN1	2850 740	93	19.2	D	45.6	44.4	67.0	17.4	39.1	59.4	87.2		8.9	9.4	8.6	6.0	15.3	0.6	5.6	128.4	136.3	135.1	135.7	138.1	126.9	△		
36	ロ-13-AN2	2850 740	150	0.0	D	65.6	64.4	87.0	37.4	59.1	79.4	117.2		11.1	10.5	11.4	14.0	4.7	19.4	14.4	152.9	148.4	156.3	155.1	155.7	158.1	146.9	△	
37	ロ-14-AN	2830 680	132	9.1	D	74.0	63.0	89.9	74.7	79.8	85.1	108.6		7.9	4.4	4.4	3.8	11.5	2.4	4.1	127.6	127.1	134.0	125.9	132.8	137.8	126.3	△	
38	ロ-17-AN	2870 680	132	9.1	D	73.4	67.0	88.5	62.5	73.4	87.5	110.7		8.0	3.5	1.9	3.0	3.2	10.1	4.9	135.5	134.8	141.5	137.7	142.0	144.9	135.0	△	
39	ロ-20-AN1	2860 760	155	1.9	D	58.4	57.8	84.2	28.4	48.4	71.8	116.8		8.5	7.0	9.3	10.9	1.4	16.7	11.0	153.9	148.0	156.2	154.9	154.6	157.5	145.4	△	
40	ロ-20-AN2	2860 760	186.5	1.9	D	62.3	61.7	88.1	32.3	52.3	75.2	120.8		12.4	10.9	13.2	14.8	5.3	20.7	14.9	157.8	151.9	160.2	158.9	158.5	161.4	148.4	△	
41	ハ-32-ロ	2950 810	250	0.0	S	112.2	125.8	70.5	128.5	60.2	100.8	46.5		178.9	179.9	177.0	176.9	175.1	166.9	178.9	20.3	29.7	26.7	26.9					

第 3.5.108 図(2) F-6 破砕帯以外の主な破砕帯 (F-1~F-5、A~E 破砕帯) の活動ステージ検討結果(2)

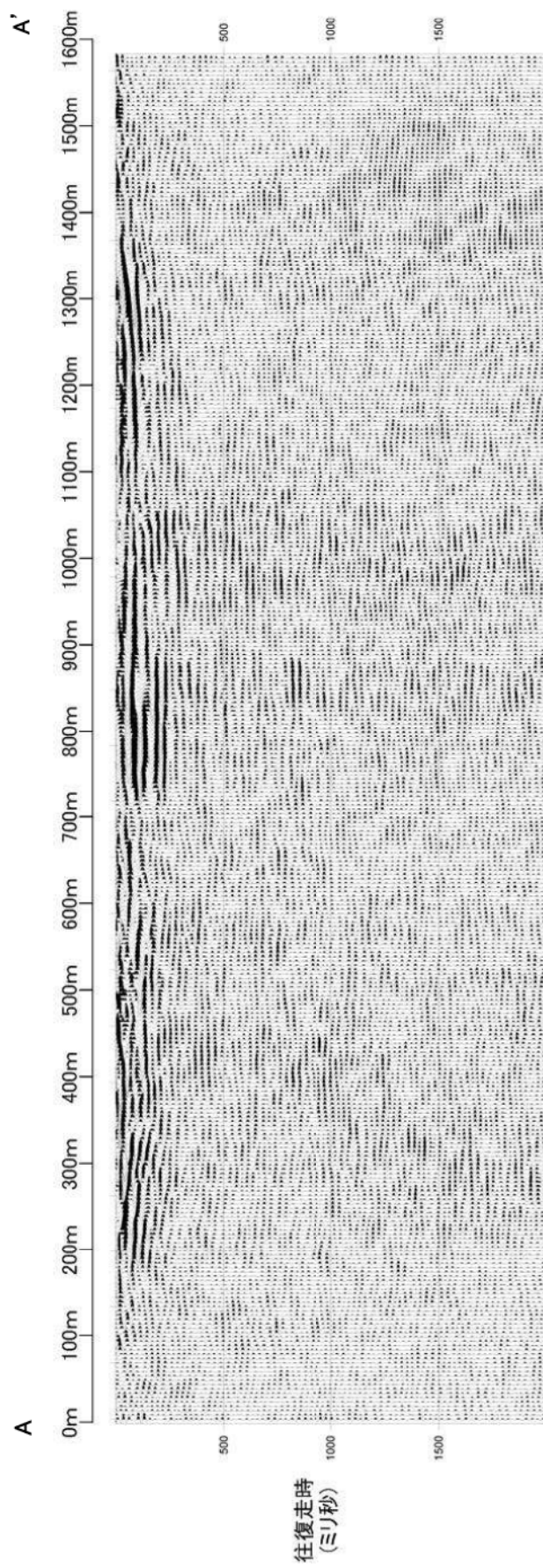
No.	場所	詳細位置	入力条件							ハ-2							口							区分								
			方位角	伏角	セリス	1	2	3	4	5	6	7	1	2	3	4	5	6	7	1	2	3	4		5	6	7					
62	No.5孔	5-1(28.5)	105.0	71.0	153.2	82.7	N	11.9	11.9	12.1	24.8	0.0	27.7	10.6	Q	66.7	40.3	72.1	46.8	46.7	63.8	29.8	39.7	21.7	51.2	26.7	24.9	81.4	68.8	△	ハ-1	
63	No.3孔	3-2(New)79.6 m (F-6)	62.0	73.0	138.2	37.9	N	21.8	35.4	62.4	4.4	17.8	20.2	6.7	Q	146.2	154.3	138.0	142.1	161.8	143.8	144.8	34.3	17.9	23.8	46.4	21.4	29.0	27.5	○	ハ-1	
64	No.36孔	36-1(46.5 m)	126.0	55.0	217.3	54.7	R	18.0	175.0	124.9	46.1	128.3	129.4	95.0	○	152.1	169.5	91.9	175.1	158.1	145.4	161.9	158.6	141.0	143.9	171.1	148.9	152.0	176.7	○	ハ-1	
65		36-2 95.2 m	212.0	48.0	234.2	46.8	N	17.8	27.2	1.6	179.4	14.4	50.0	33.8	○	78.5	59.5	102.1	63.9	65.5	75.8	45.7	10.7	22.0	26.2	9.2	23.0	26.7	0.9	○	口	
66		37-2 49.8m	266.0	64.0	211.1	49.7	N	59.1	46.9	59.2	10.7	72.9	36.5	36.6	○	107.1	104.3	118.6	102.0	111.1	99.1	98.9	11.1	13.5	17.3	27.0	27.9	29.3	18.5	○	口	
67	No.37孔	37-3(107.8 m)	302.0	86.0	216.8	49.8	N	53.8	89.5	1.9	32.3	93.0	47.9	32.5	○	136.3	143.8	126.4	148.8	126.4	150.2	31.7	18.8	28.9	11.6	18.0	29.3	10.5	○	口		
68		37-4(110.15 m)	292.0	42.0	271.8	40.3	N	11.6	17.9	10.4	5.2	6.2	38.9	24.1	○	90.8	73.8	107.2	79.7	83.9	81.6	75.8	36.1	44.0	41.3	50.4	53.1	44.5	52.5	○	ハ-1	
69		37-5(115.9 m)	242.0	43.0	262.1	41.2	R	170.5	160.6	176.2	163.2	167.6	141.6	166.0	○	79.7	105.0	84.2	96.7	79.7	81.9	90.9	102.5	153.6	146.3	150.9	137.2	137.0	148.3	136.4	○	ハ-1
70	No.6孔	6-1(37.8 m)	76.0	87.0	120.4	17.7	D	137.3	120.7	150.0	153.7	149.7	136.6	158.3	○	36.3	51.0	56.0	42.0	38.1	36.0	32.4	153.9	161.2	166.0	136.6	163.0	169.4	150.9	○	ハ-1	
71		6-2(101.52 m)	76.0	87.0	352.7	65.8	R	113.3	119.4	102.0	103.7	111.7	117.9	109.0	○	113.0	96.5	92.2	105.3	106.8	105.4	112.7	47.4	20.4	38.8	64.7	30.3	73.8	82.1	○	ハ-2	
72		MT-1/A-1	84.0	74.0	354.0	0.0	D	59.4	59.6	46.9	38.5	57.6	46.6	47.1	○	58.8	26.2	35.2	49.0	44.9	43.3	65.2	96.8	68.8	88.1	96.7	73.3	115.2	96.6	○	ハ-1	
73		MT-1/A-3	00.0	86.0	186.4	21.9	N	21.4	16.0	16.1	12.3	35.6	11.3	28.4	○	37.0	21.4	33.9	32.7	21.5	38.6	34.6	119.6	146.4	133.4	116.5	123.4	152.6	162.3	○	ハ-1	
74		MT-1/A-4	96.0	78.0	181.6	21.6	N	28.9	29.6	24.0	16.5	38.4	19.1	29.0	○	45.4	20.5	37.5	36.8	25.0	40.9	42.2	99.6	69.8	100.1	90.9	78.1	131.0	125.0	○	ハ-1	
75	新割トレンチ (A)	MT-1/A-7	80.0	90.0	170.0	26.0	D	15.7	17.1	5.3	8.8	15.9	21.8	14.6	○	77.5	61.2	58.9	72.0	68.5	72.7	79.5	84.2	50.4	79.1	98.7	64.0	124.2	118.0	○	ハ-1	
76		ハ-4北側No.1	76.0	80.0	159.3	33.4	N	18.4	26.7	7.4	5.1	18.4	17.7	11.3	○	107.5	89.0	84.2	98.5	104.7	95.8	107.8	54.7	31.6	46.6	67.8	38.0	69.8	57.4	○	ハ-1	
77		ハ-16北側No.1	91.0	85.0	176.8	39.8	N	50.4	47.7	2.7	5.1	12.2	1.0	5.4	○	71.7	52.2	60.3	66.8	54.8	68.5	73.9	80.7	54.1	86.7	84.2	65.8	119.1	118.4	○	ハ-1	
78		ハ-19北側No.1	91.0	85.0	177.1	37.8	N	70.6	67.7	0.7	30.4	14.2	30.7	7.4	○	66.7	50.2	56.3	64.8	52.8	66.5	71.9	82.8	56.1	88.7	86.2	67.8	121.1	120.4	○	ハ-1	
79		ハ-10北側No.1	89.0	76.0	23.5	59.0	N	65.6	61.6	72.7	79.4	59.5	73.3	69.6	○	161.0	129.0	143.3	150.8	139.9	149.2	163.8	17.6	42.6	18.4	14.4	37.0	12.6	4.5	○	ハ-2	
80		ハ-11北側No.1	89.0	76.0	25.4	60.7	N	63.7	59.6	70.7	77.5	57.6	71.4	67.6	○	159.1	127.1	141.4	146.8	137.9	147.3	161.8	15.7	40.6	16.4	12.4	35.0	14.6	2.6	○	ハ-1	
81		ハ-12北側No.1	80.0	85.0	359.9	49.7	N	82.6	77.6	92.8	93.1	81.6	81.2	86.4	○	172.7	167.6	166.9	179.9	176.7	179.3	171.0	30.2	58.1	35.9	17.1	48.5	0.2	12.6	○	ハ-1	
82	新割トレンチ (D)	MT-1/A-7	80.0	83.0	21.7	47.5	N	83.3	88.2	65.1	83.9	67.5	96.0	74.0	○	136.7	122.7	140.1	132.9	123.7	141.8	131.7	6.5	5.7	22.8	0.0	15.4	4.7	51.8	○	口	
83		ロ-2南側No.1	98.0	84.0	15.1	49.6	N	83.9	86.6	69.1	84.2	72.1	93.1	79.9	○	146.5	130.3	143.5	143.2	131.6	148.3	146.7	1.0	14.1	13.3	1.2	3.2	37.9	43.6	○	ハ-2	
84		ロ-2南側No.1	74.0	90.0	40.0	60.0	S	83.9	90.7	92.6	89.6	73.4	66.1	79.1	○	143.8	130.1	136.4	141.5	129.5	144.8	146.2	24.9	10.9	35.0	24.5	20.0	56.3	64.9	○	口	
85		ロ-2南側No.1	274.0	90.0	40.0	68.0	S	75.9	82.7	84.6	81.6	65.4	76.1	71.1	○	135.8	122.1	128.4	133.5	121.5	136.8	138.2	37.9	18.9	43.0	32.5	28.0	64.3	72.9	△	口	
86		ロ-24南側No.1	268.0	84.0	352.5	29.8	N	54.8	40.7	46.0	57.1	59.7	66.4	60.4	○	3.0	7.9	9.3	1.6	8.9	3.8	7.4	174.3	155.4	170.4	175.4	166.5	146.0	139.2	○	ハ-2	
87		S215②-1	266.0	85.0	181.0	44.8	R	17.2	28.7	27.0	16.8	12.6	7.3	12.4	○	78.9	67.2	66.3	77.1	66.6	79.2	83.1	104.8	72.2	109.0	105.7	85.7	136.1	142.5	○	ハ-1	
88		S215②-2	266.0	86.0	181.7	42.9	R	13.9	24.3	23.8	14.8	7.7	6.9	9.2	○	74.3	62.8	63.0	72.6	61.5	74.8	78.2	109.6	80.1	112.4	107.0	91.5	137.1	144.3	○	ハ-1	
89		S195②-5	72.0	90.0	162.0	50.0	D	3.5	3.4	15.6	11.1	8.2	5.5	7.7	○	121.5	102.7	113.1	119.2	115.3	118.9	41.1	11.3	29.8	64.2	26.1	63.8	55.4	○	ハ-1		
90		S20②-9-1	76.0	90.0	166.0	38.0	D	5.9	9.9	5.3	1.3	3.6	13.6	8.3	○	95.4	84.0	79.2	92.4	92.2	93.4	95.3	62.2	31.8	53.1	81.4	44.0	96.6	86.7	○	ハ-1	
91		S20②-9-2	76.0	90.0	346.0	40.0	D	83.9	87.9	72.7	76.7	81.6	91.6	81.3	○	21.4	6.0	1.2	14.4	14.2	15.4	21.3	140.2	109.8	131.1	159.4	122.0	174.6	164.7	○	ハ-2	
92		S21②-7	266.0	86.0	351.2	49.8	N	80.5	71.3	70.6	79.2	84.9	68.8	84.5	○	152.2	24.8	28.1	17.4	27.8	15.5	11.2	165.8	160.2	161.6	163.1	175.2	132.0	126.1	○	ハ-2	
93		S21②-8	278.0	90.0	80.0	30.0	D	65.0	55.9	56.5	59.7	79.6	59.1	72.6	○	12.2	24.8	16.5	14.4	20.0	9.7	11.3	106.9	177.6	165.5	179.2	173.3	149.8	138.9	○	ハ-2	
94		S21②-9	280.0	90.0	190.0	50.0	D	15.5	25.7	20.0	20.6	15.5	23.7	5.7	○	65.1	52.9	62.2	62.8	41.5	68.3	65.0	106.9	111.7	118.5	104.2	114.2	131.9	143.9	○	ハ-1	
95	新割トレンチ ②破砕帯	S21②-10-1	281.0	90.0	191.0	48.0	D	13.7	24.5	22.3	18.7	4.6	23.2	2.6	○	61.7	49.9	59.5	59.4	48.3	65.3	61.1	110.7	117.8	122.4	109.0	119.6	134.7	147.1	○	ハ-1	
96		S21②-11	280.0	90.0	100.0	33.0	D	67.5	57.3	59.0	62.4	84.5	59.3	77.3	○	17.9	30.1	29.8	20.2	31.5	14.7	18.0	170.1	165.3	168.5	172.8	162.8	145.1	139.1	○	ハ-2	
97		S21②-12	281.0	90.0	191.0	52.0	D	17.7	28.5	23.3	22.7	0.6	27.2	6.6	○	65.7	53.9	63.5	63.4	52.3	63.1	65.1	106.7	113.8	118.4	104.0	115.6	130.7	143.1	○	ハ-1	
98		S21②-13	273.0	84.0	186.5	29.8	R	11.7	29.2	29.5	7.0	0.5	6.0	6.1	○	52.7	43.6	45.5	52.5	41.0	55.8	56.6	140.3	139.7	146.1	135.5	136.0	158.2	168.2	○	ハ-1	
99		S23②-14	252.0	82.0	336.0	36.6	N	69.6	59.8	59.8	72.1	63.7	91.4	72.7	○																	



第 3.5.109 図(1) 地表弾性波探査速度断面図 (その 1)

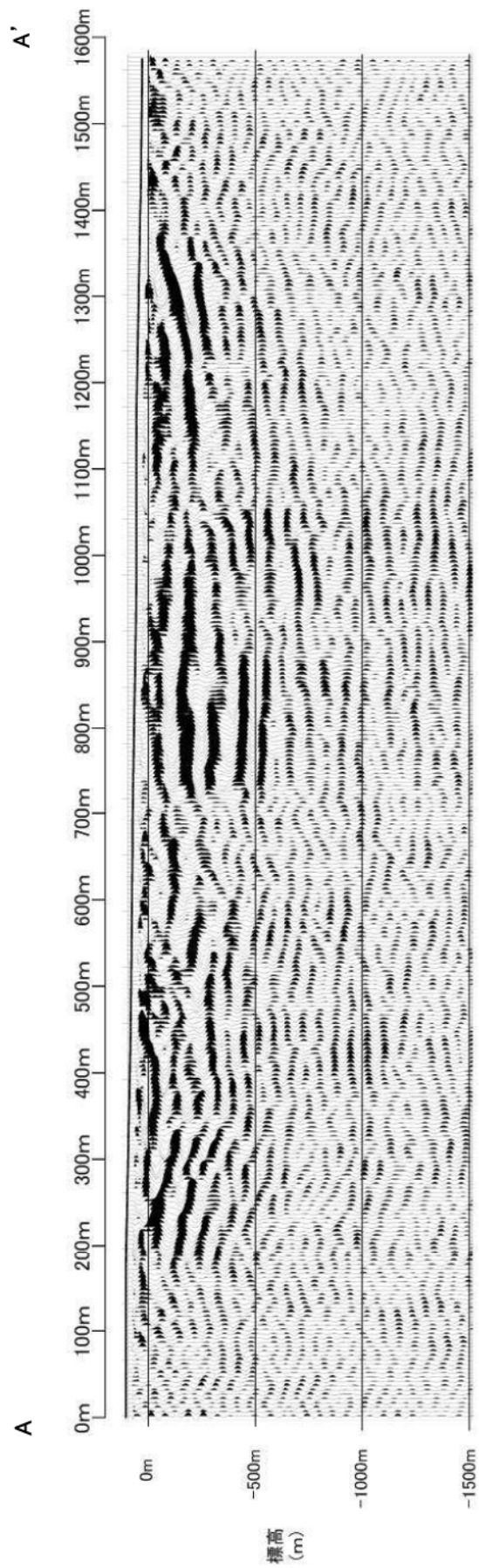


第 3.5.109 図(2) 地表弾性波探査速度断面図 (その 2)



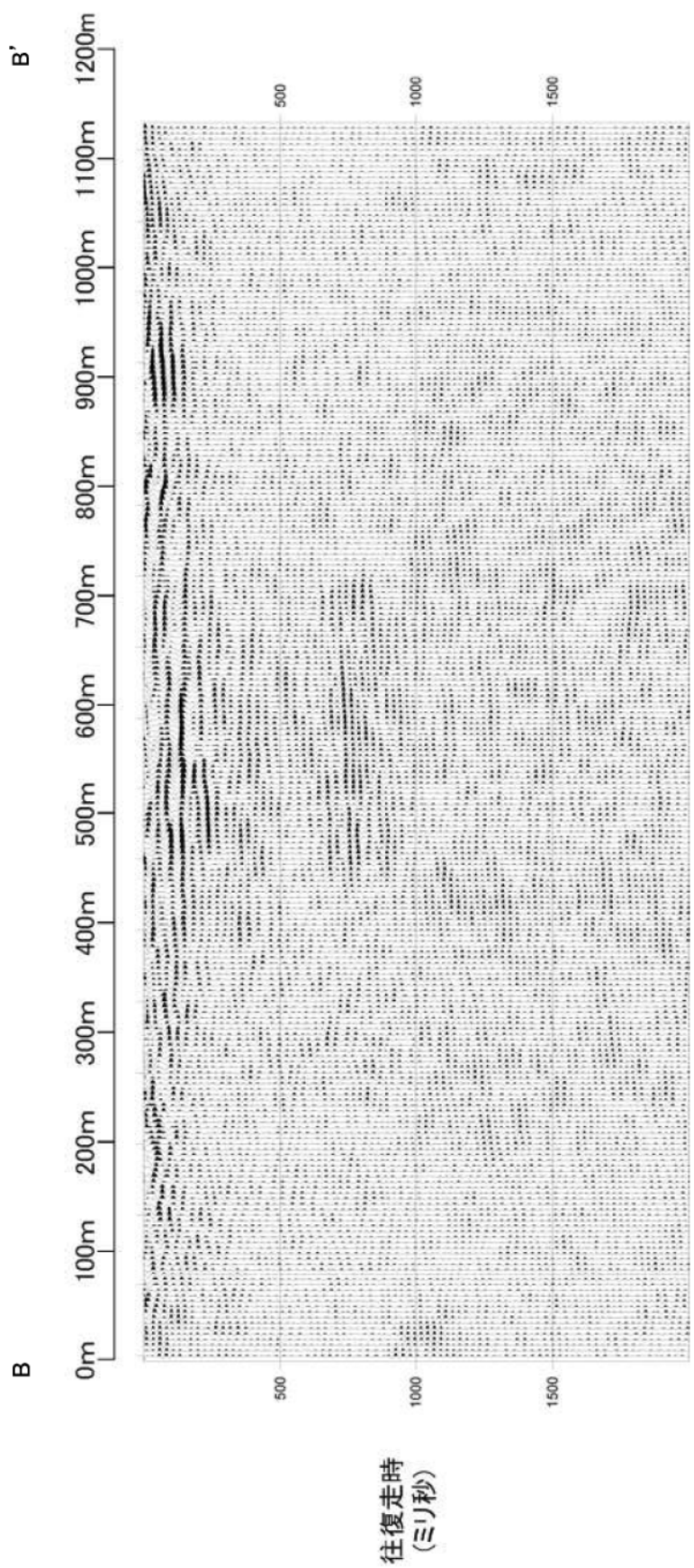
縦横比 1:4

第 3.5.110 図(1) 反射法地震探査結果 (A 測線 時間断面)



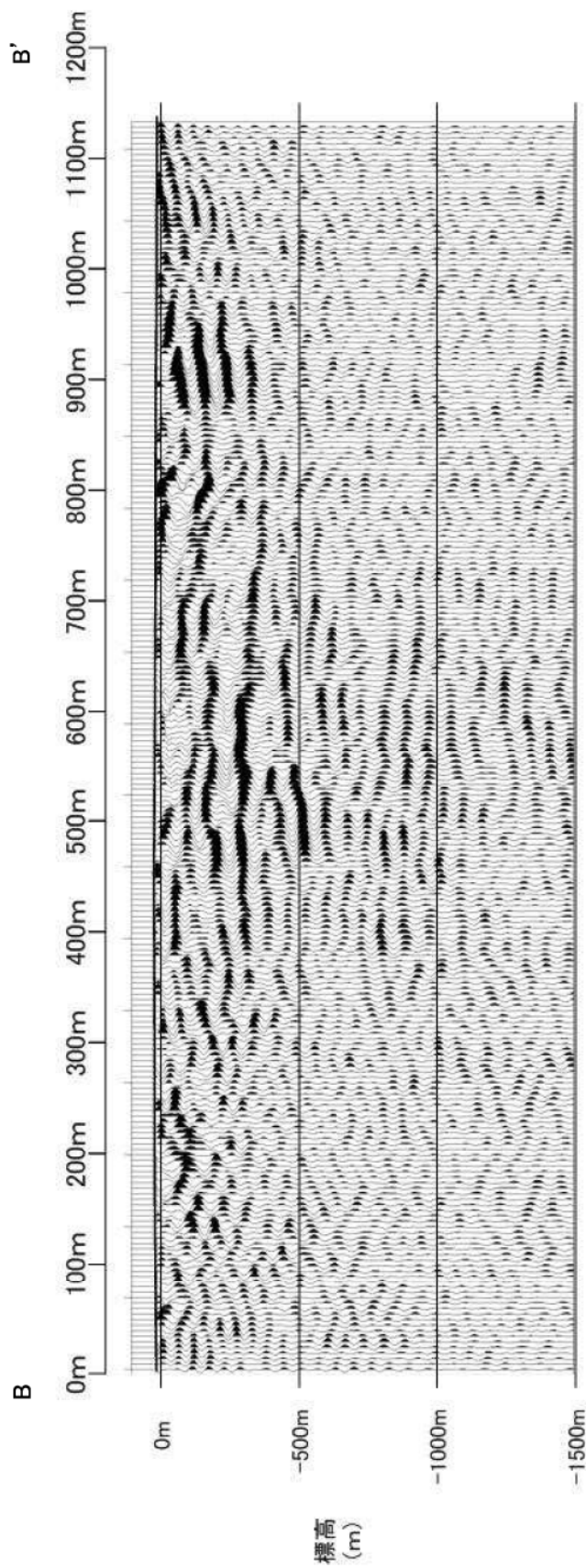
縦横比 1:4

第 3.5.110 図(2) 反射法地震探査結果 (A 測線 深度断面)



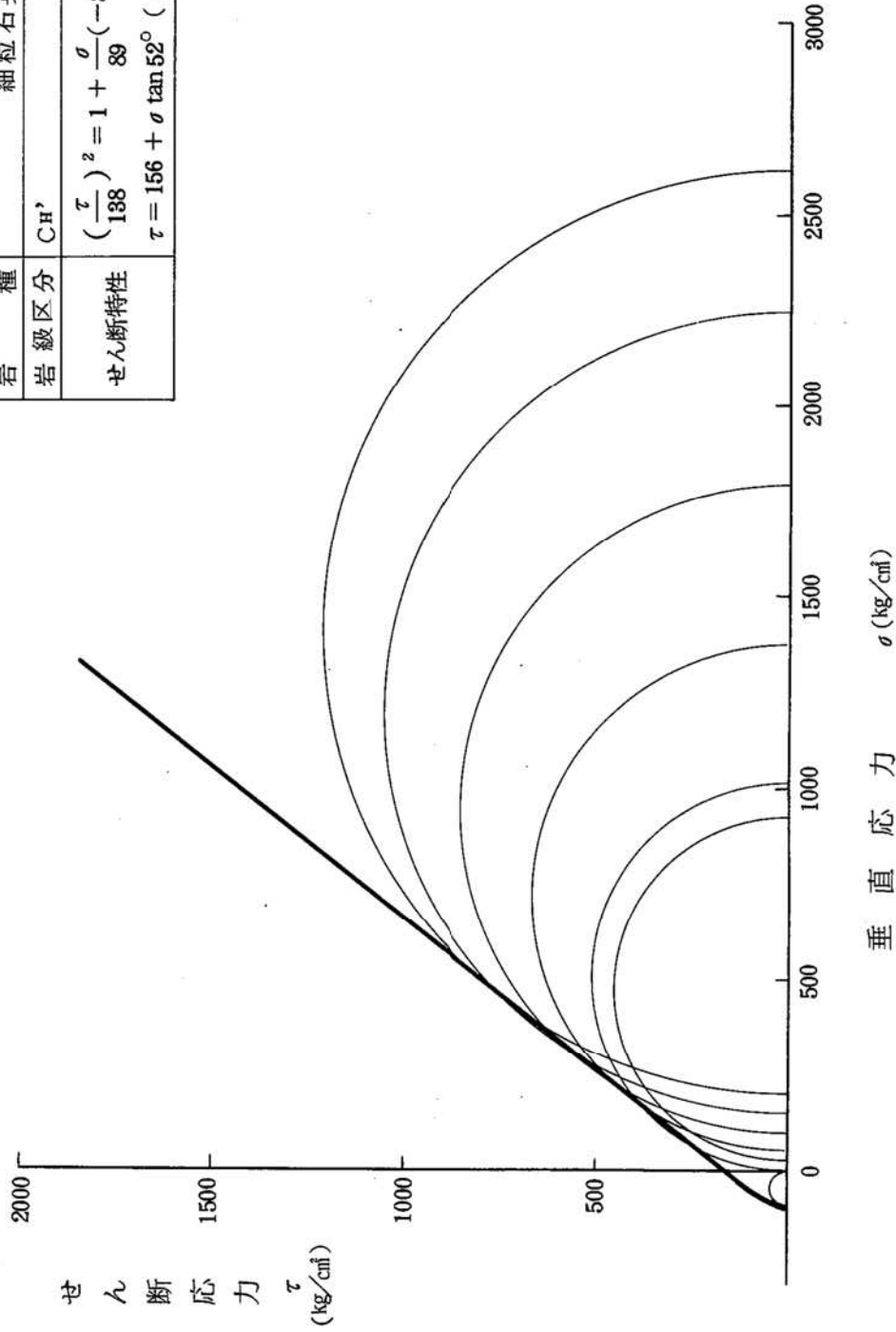
縦横比 1:4

第 3.5.110 図(3) 反射法地震探査結果 (B測線 時間断面)



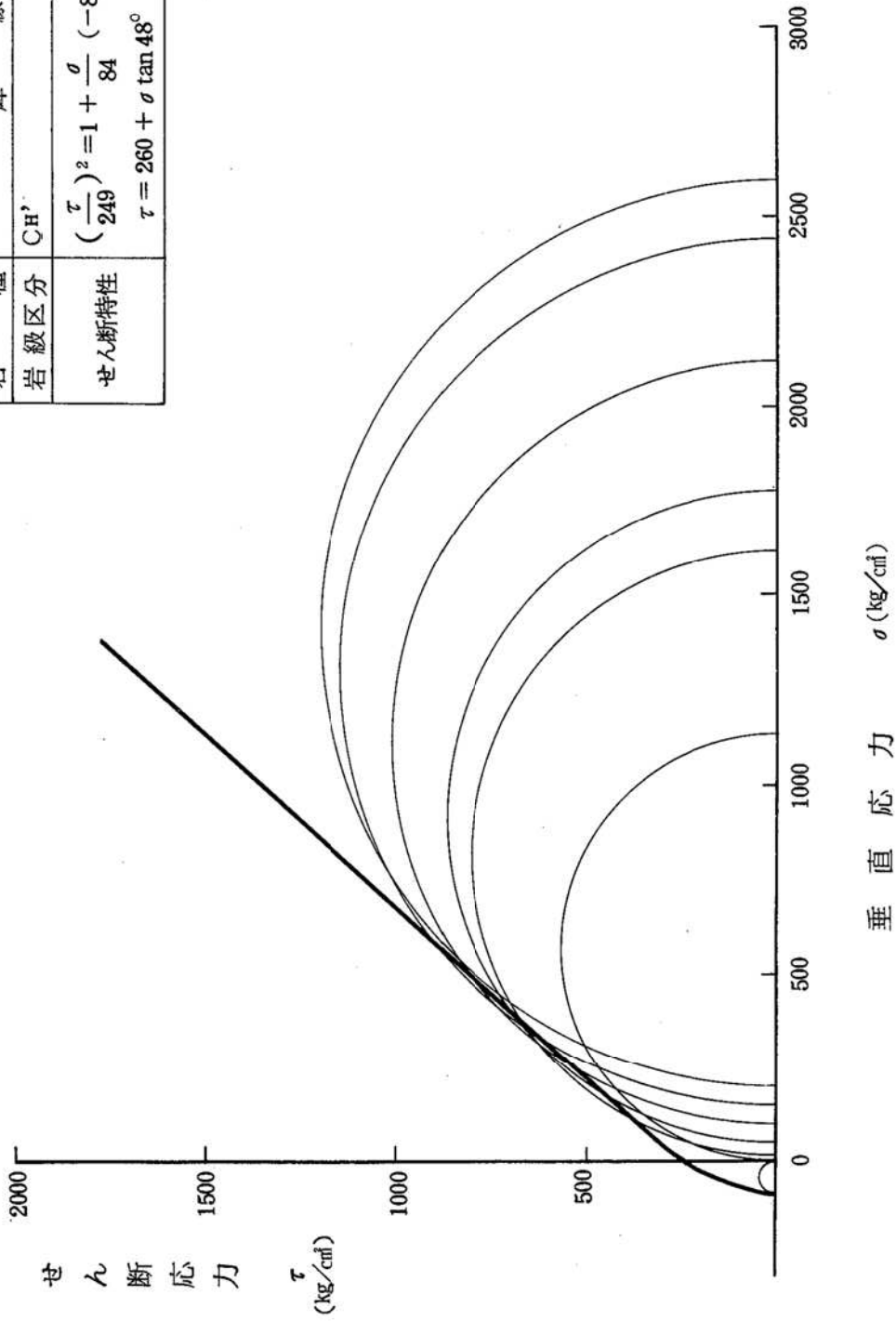
第 3.5.110 図(4) 反射法地震探査結果 (B測線 深度断面)

岩種	細粒石英閃緑岩
岩級区分	CH'
せん断特性	$\left(\frac{\tau}{138}\right)^2 = 1 + \frac{\sigma}{89} \quad (-89 \text{ kg/cm}^2 \leq \sigma < -56 \text{ kg/cm}^2)$ $\tau = 156 + \sigma \tan 52^\circ \quad (\sigma \geq -56 \text{ kg/cm}^2)$

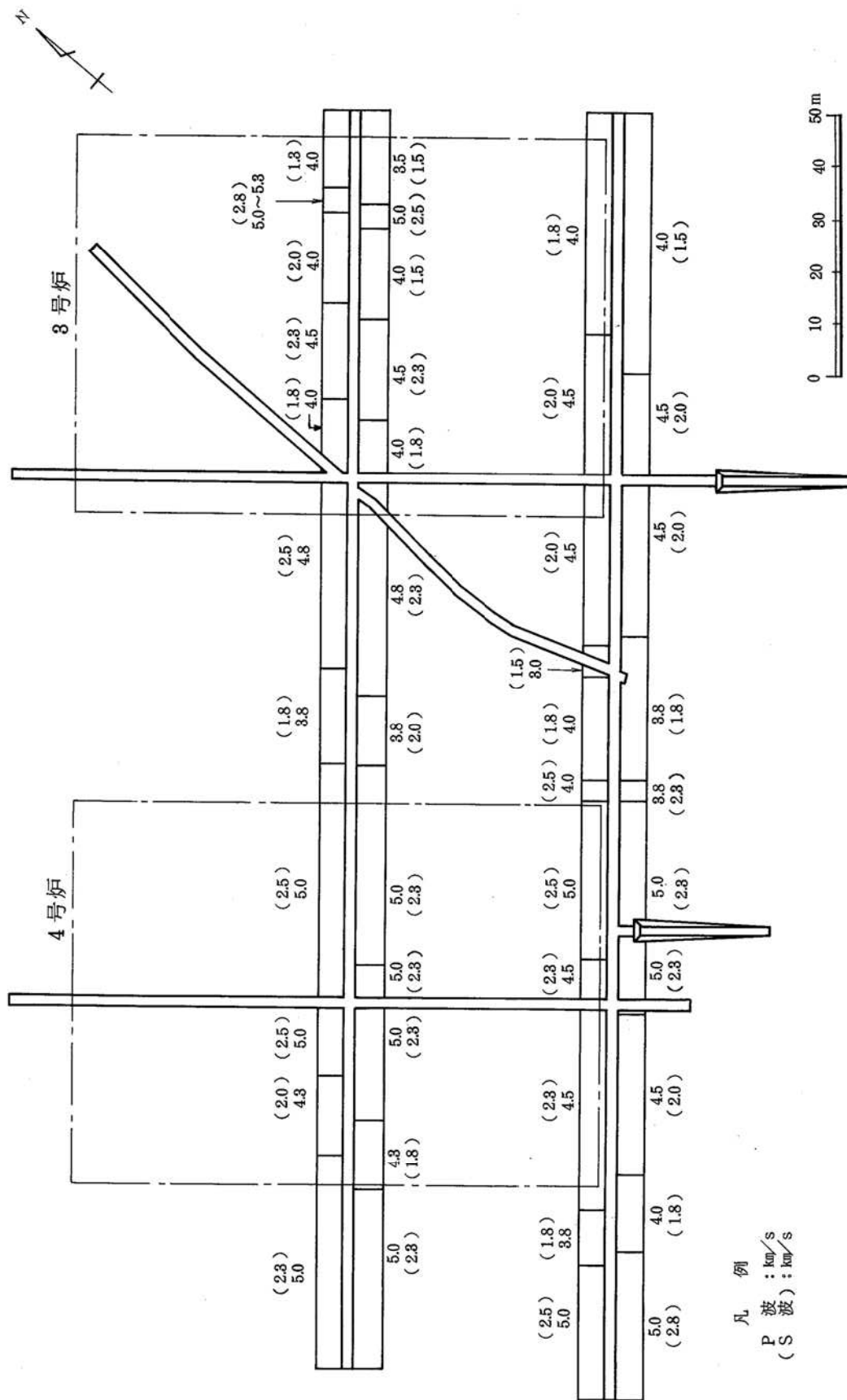


第3.5.111図(1) 三軸圧縮試験破壊包絡線 (その1)

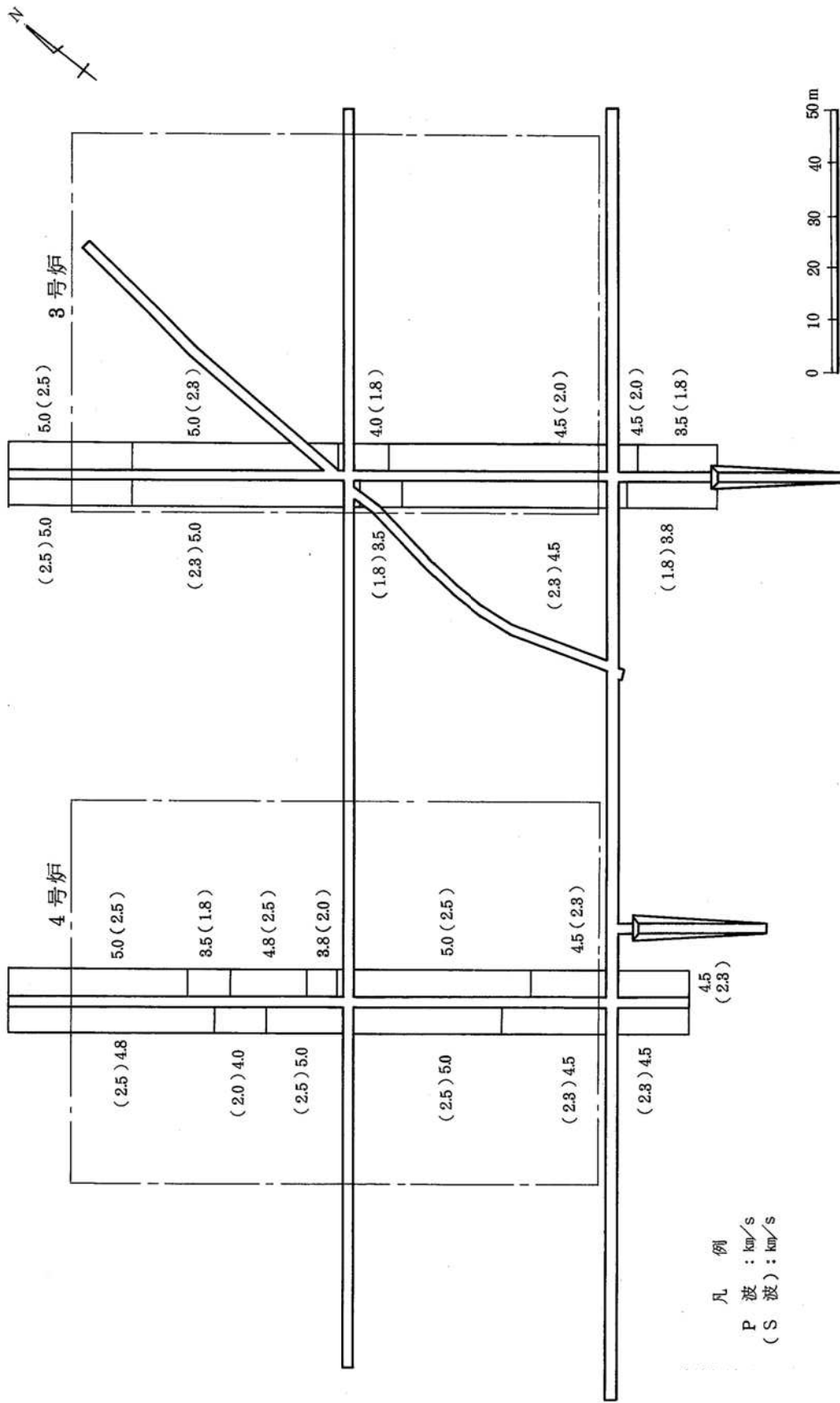
岩種	輝綠岩
岩級区分	CH'
せん断特性	$\left(\frac{\tau}{249}\right)^2 = 1 + \frac{\sigma}{84} \quad (-84 \text{ kg/cm}^2 \leq \sigma < 66 \text{ kg/cm}^2)$ $\tau = 260 + \sigma \tan 48^\circ \quad (\sigma \geq 66 \text{ kg/cm}^2)$



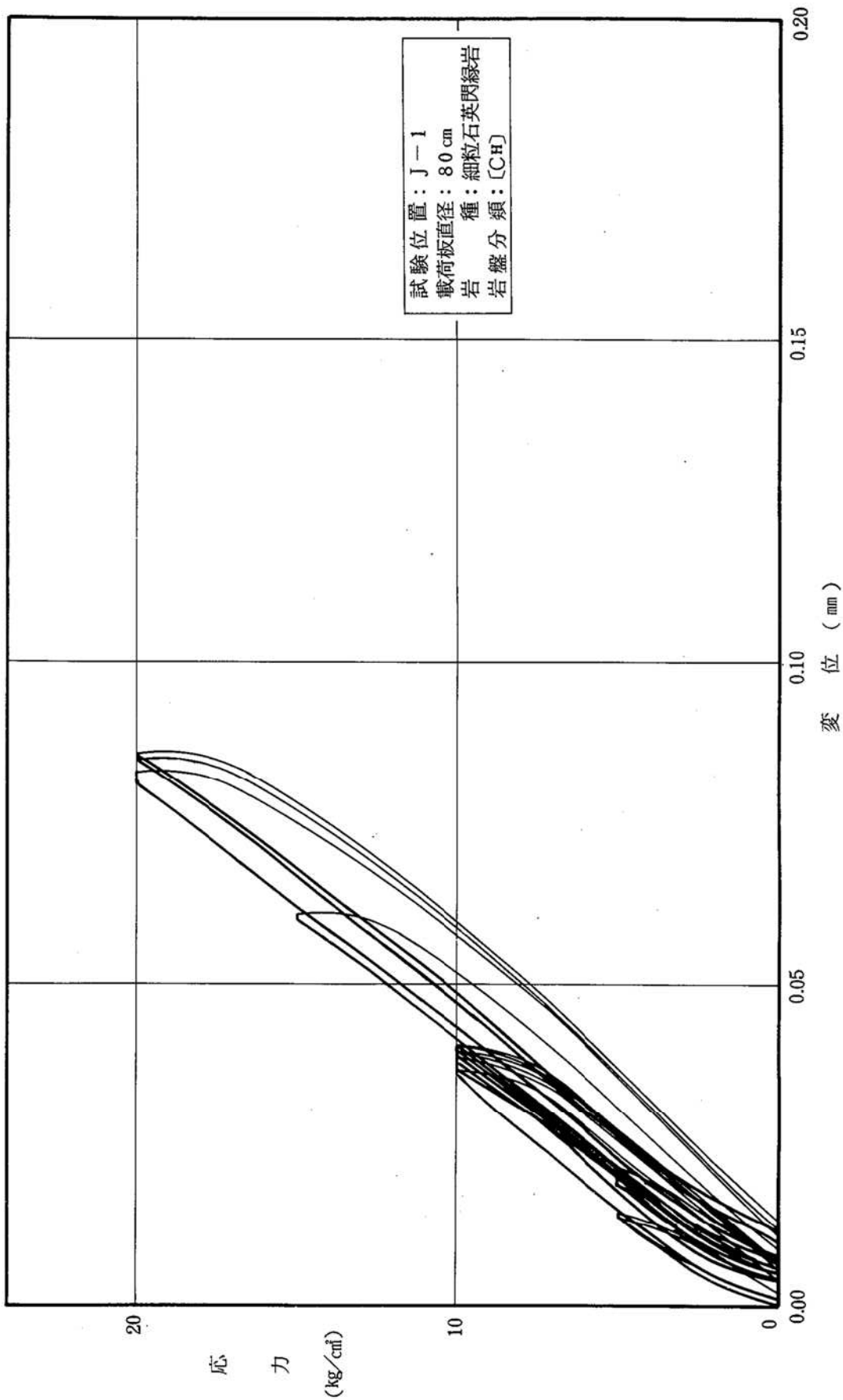
第 3.5.111 図(2) 三軸圧縮試験破壊包絡線 (その 2)



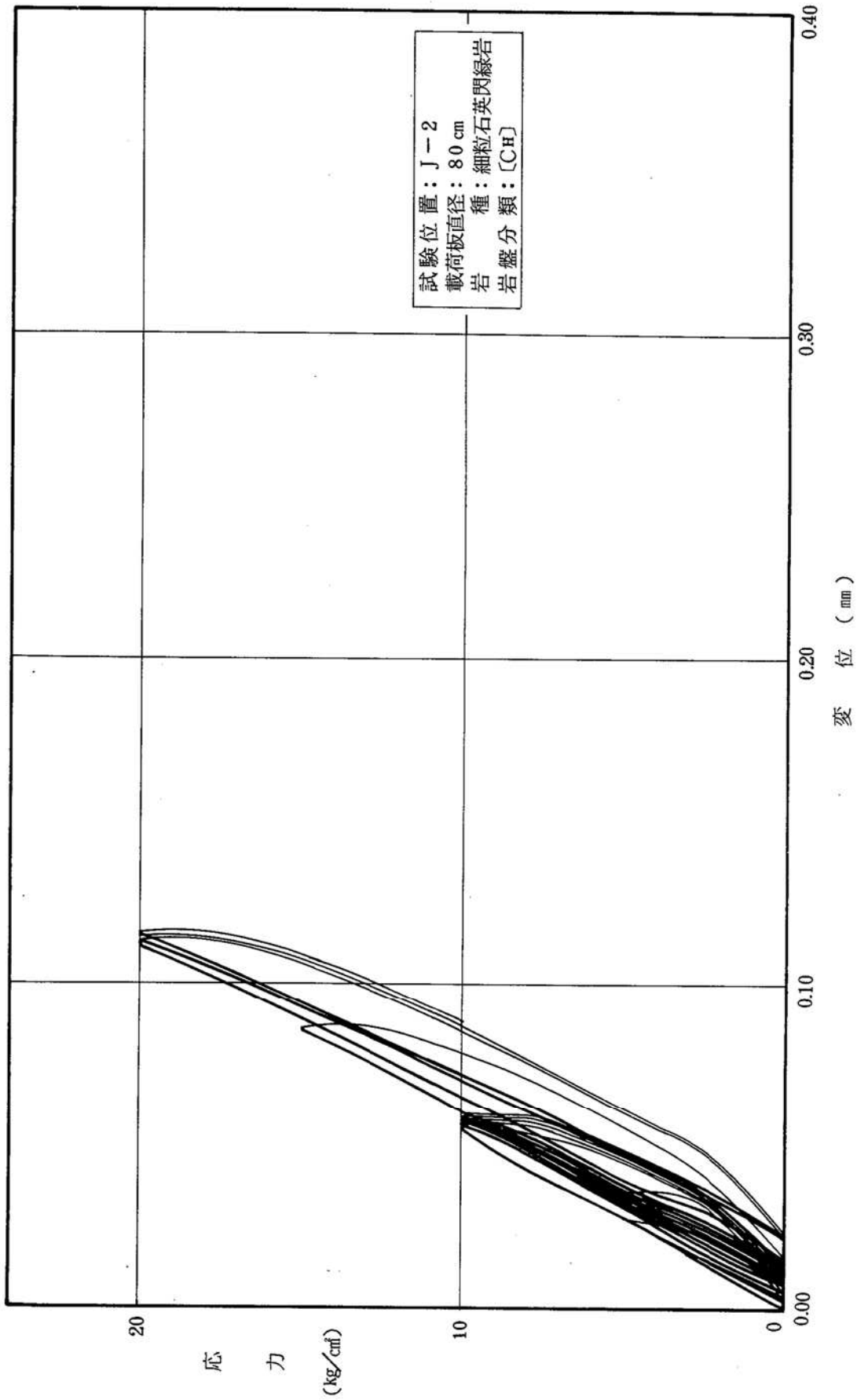
第 3.5.112 図(1) 試掘坑内弾性波探査 (屈折波法) 結果図 (その 1)



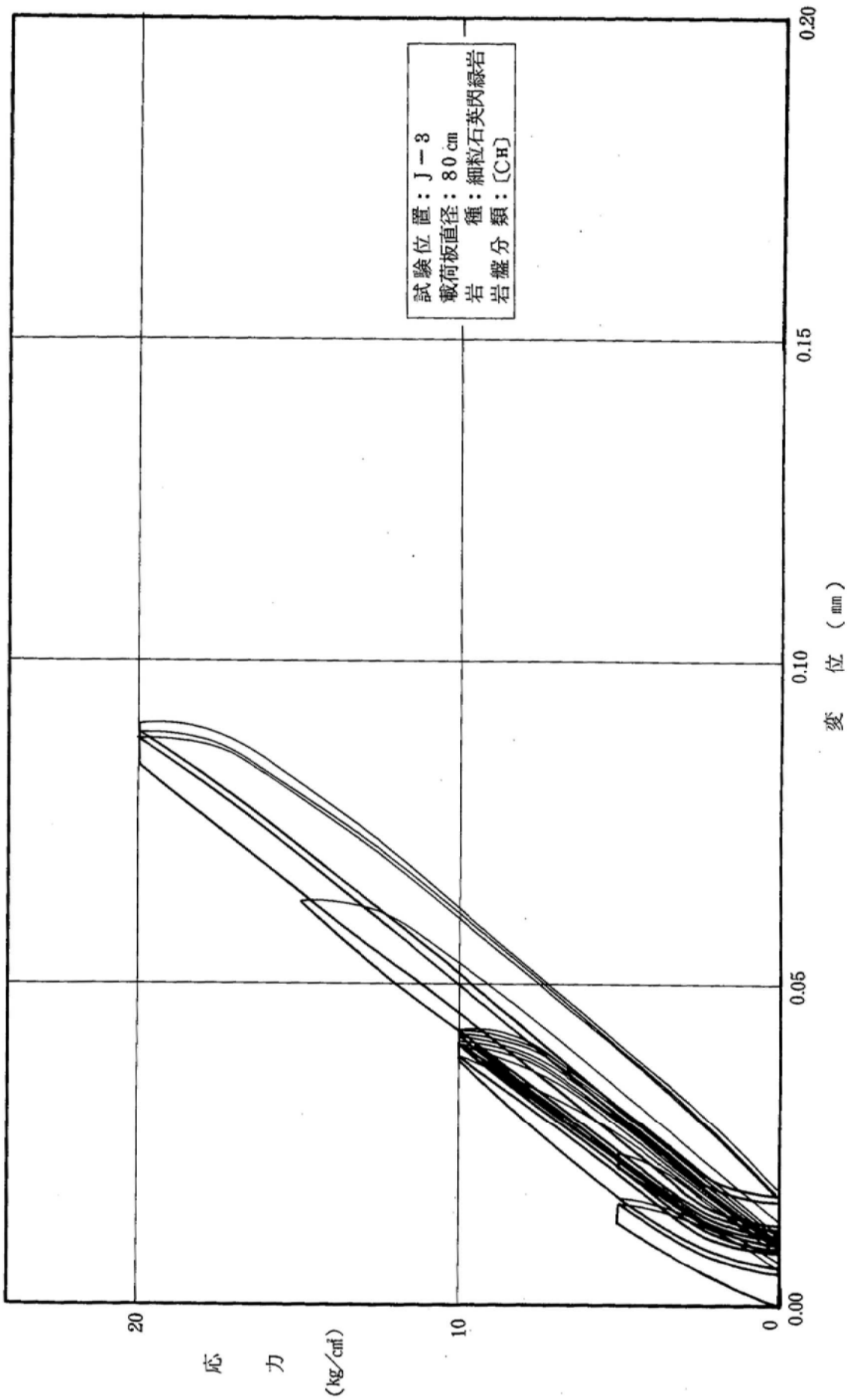
第 3.5.112 図(2) 試掘坑内弾性波探査 (屈折波法) 結果図 (その 2)



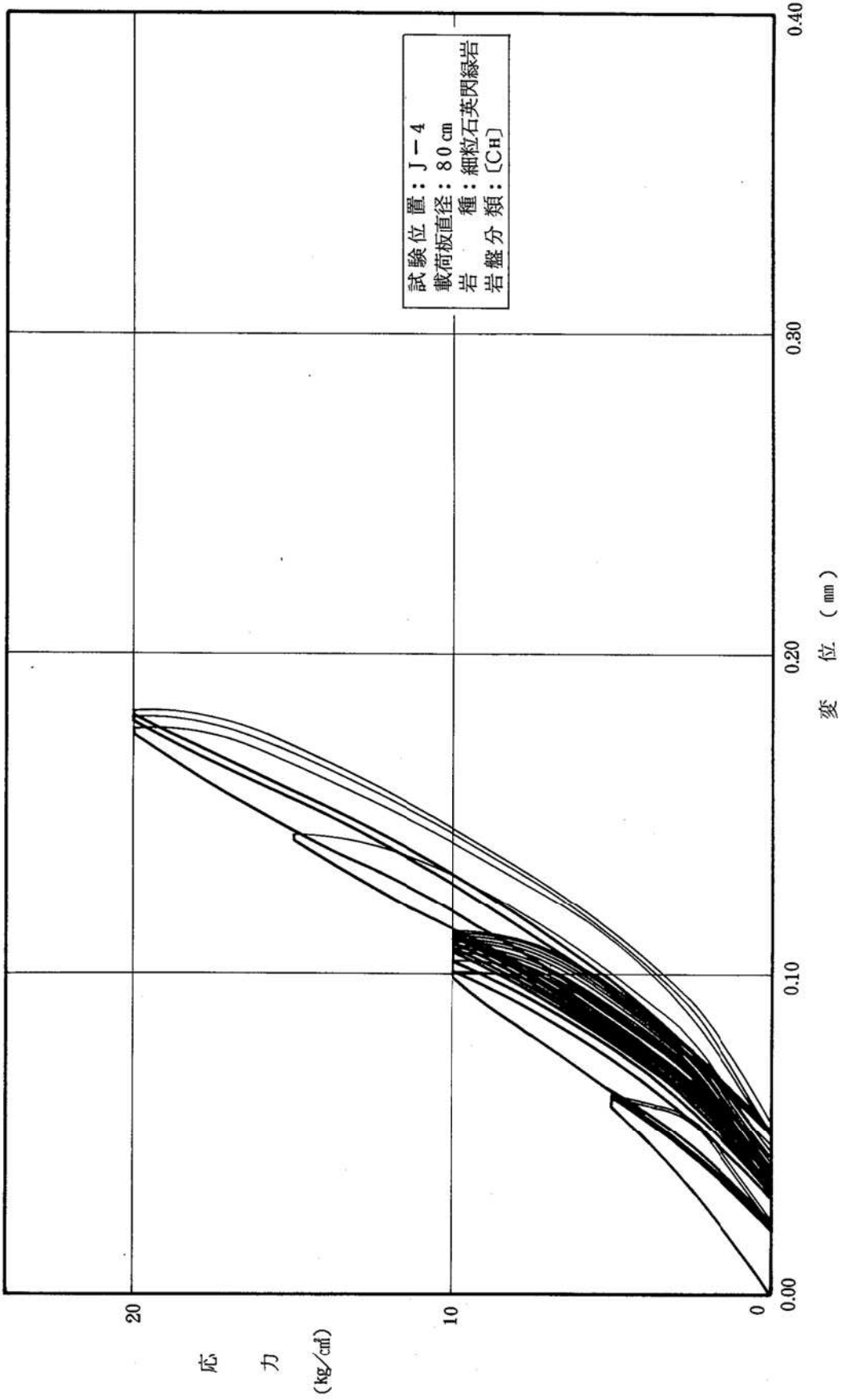
第 3.5.113 図(1) 荷重—変位曲線図 (A 試掘坑) (その 1)



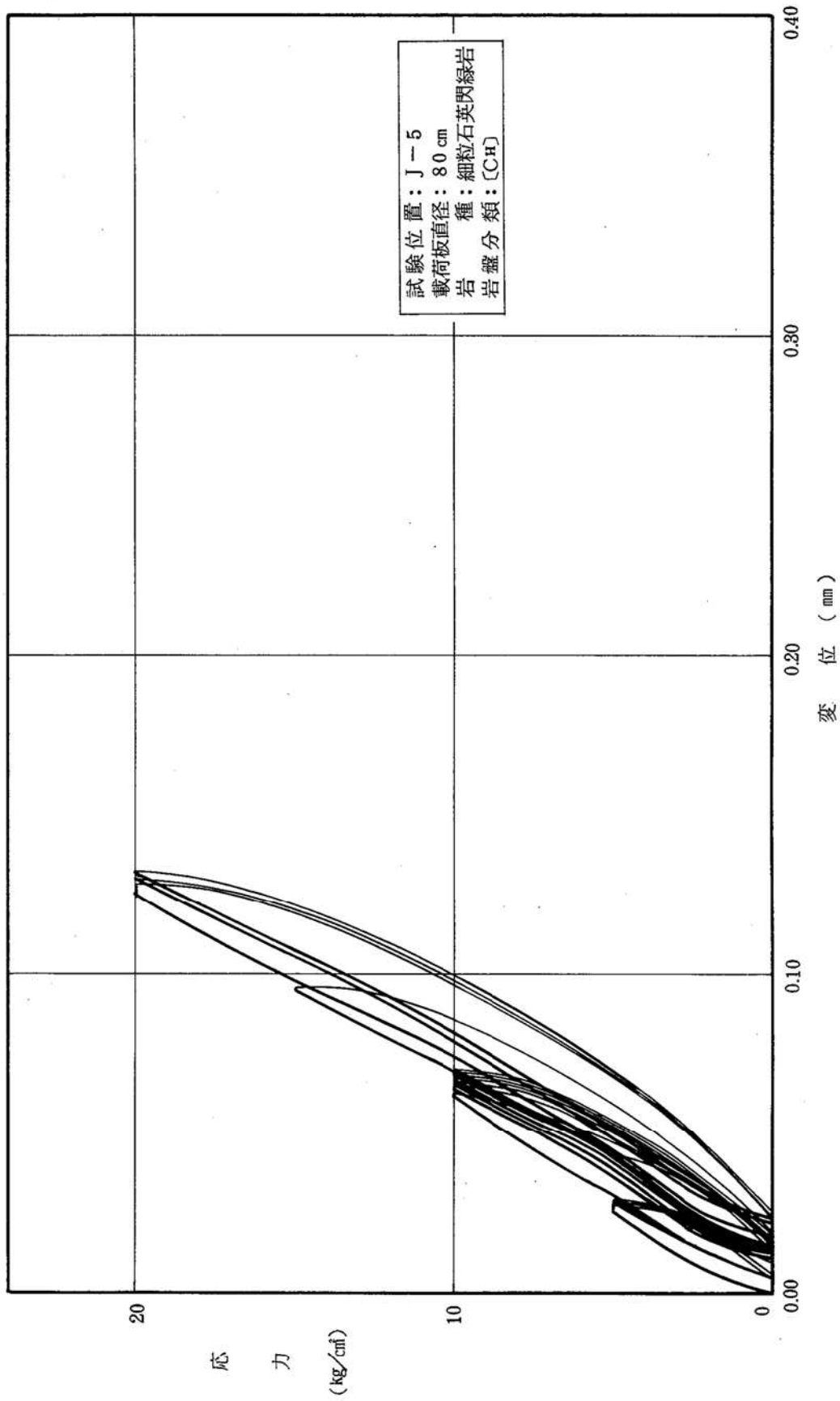
第 3.5.113 図(2) 荷重—変位曲線図 (A 試掘坑) (その 2)



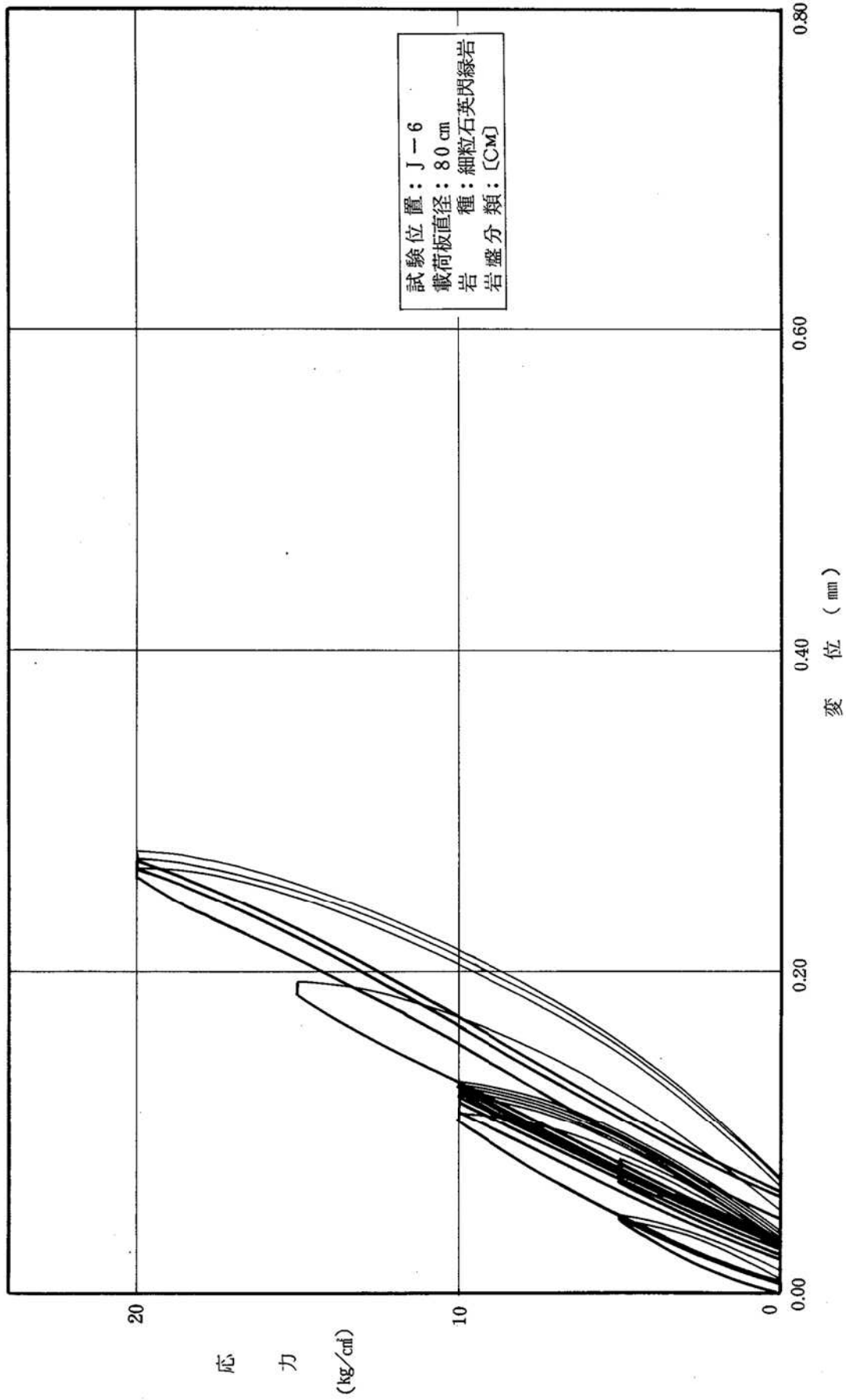
第3.5.113 図(3) 荷重—変位曲線図 (A試掘坑) (その3)



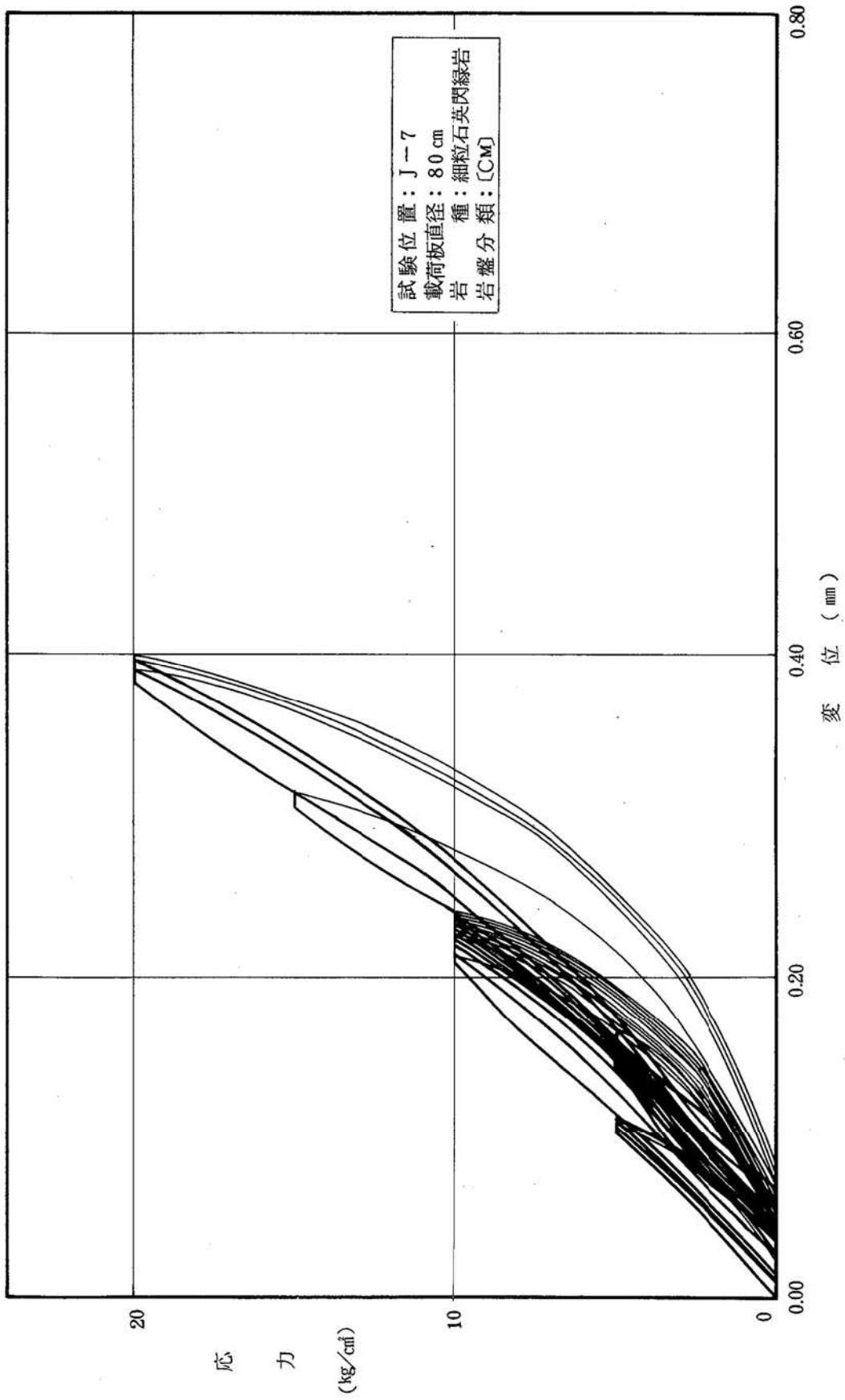
第 3.5.113 図(4) 荷重—変位曲線図 (A 試掘坑) (その 4)



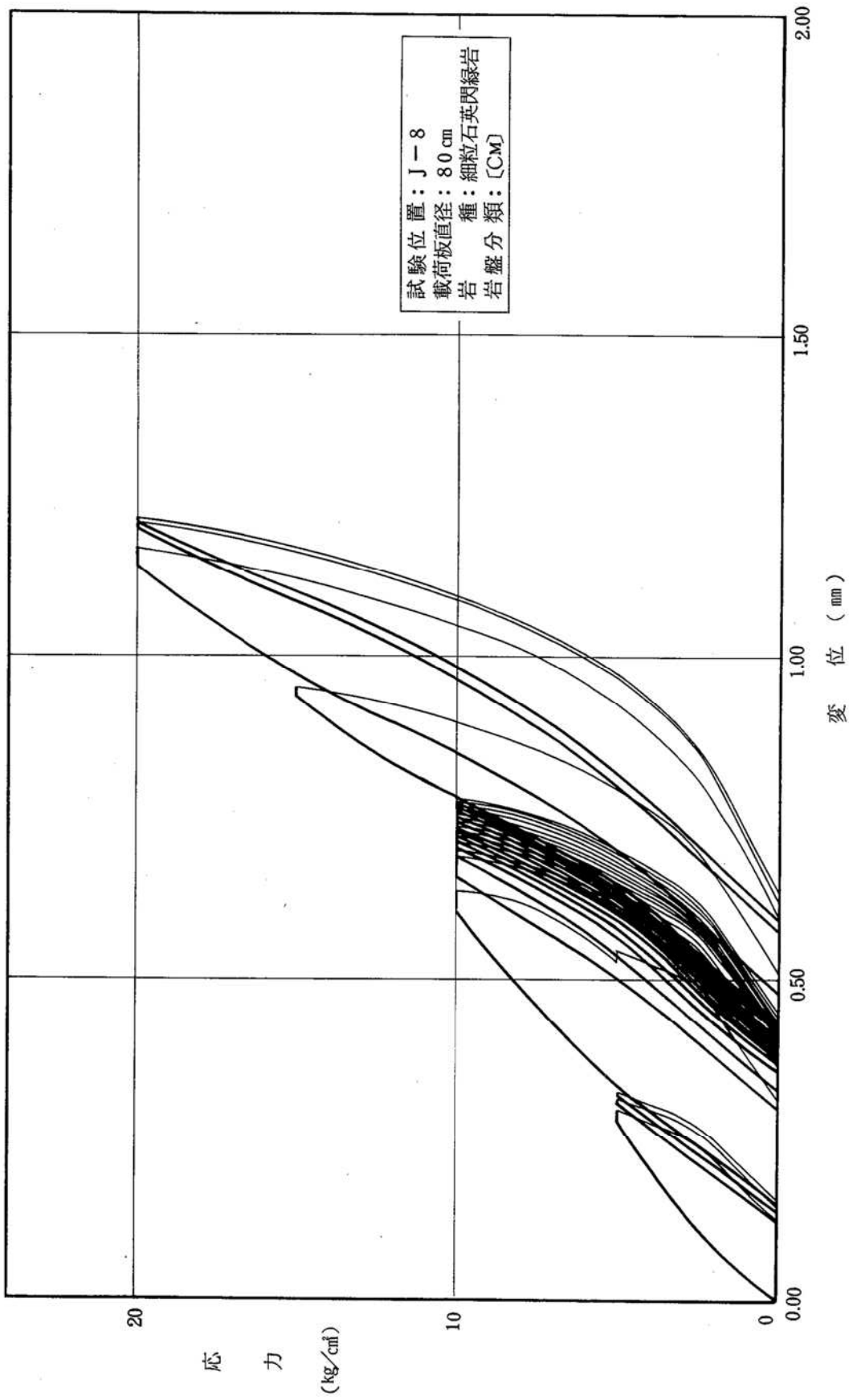
第 3.5.113 図(5) 荷重—変位曲線図 (A 試掘坑) (その 5)



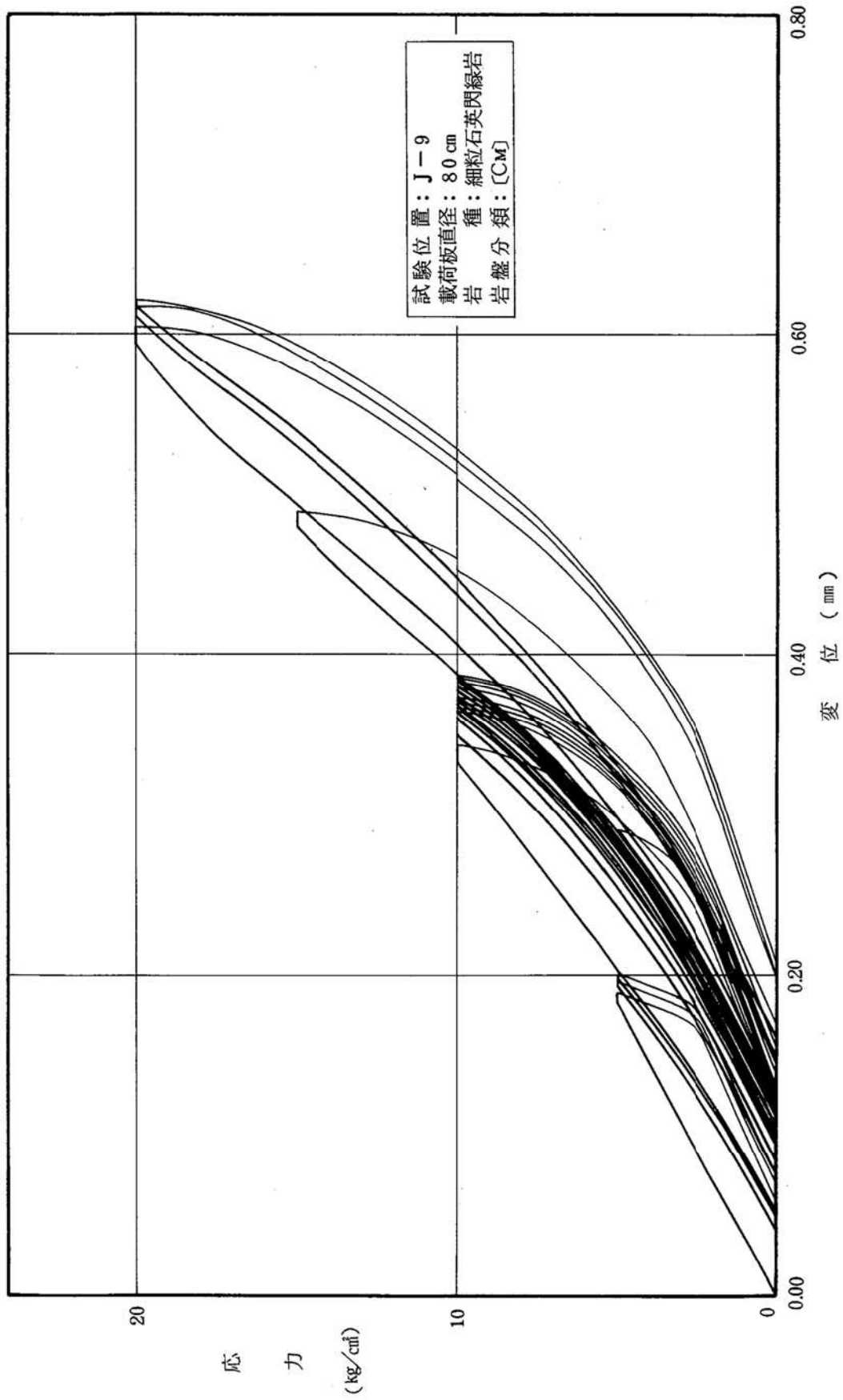
第 3.5.113 図(6) 荷重—変位曲線図 (A 試掘坑) (その 6)



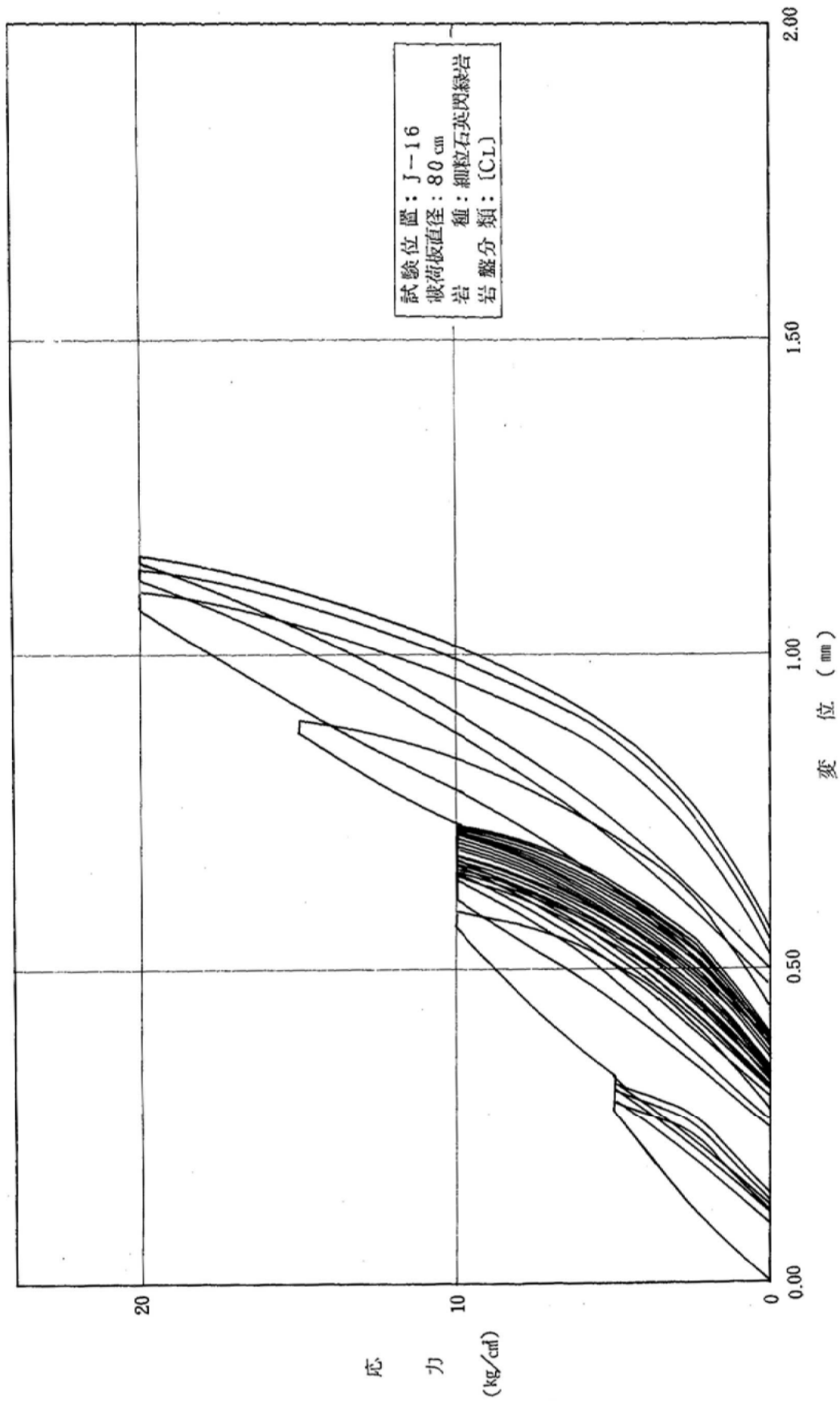
第 3.5.113 図(7) 荷重—変位曲線図 (A 試掘坑) (その 7)



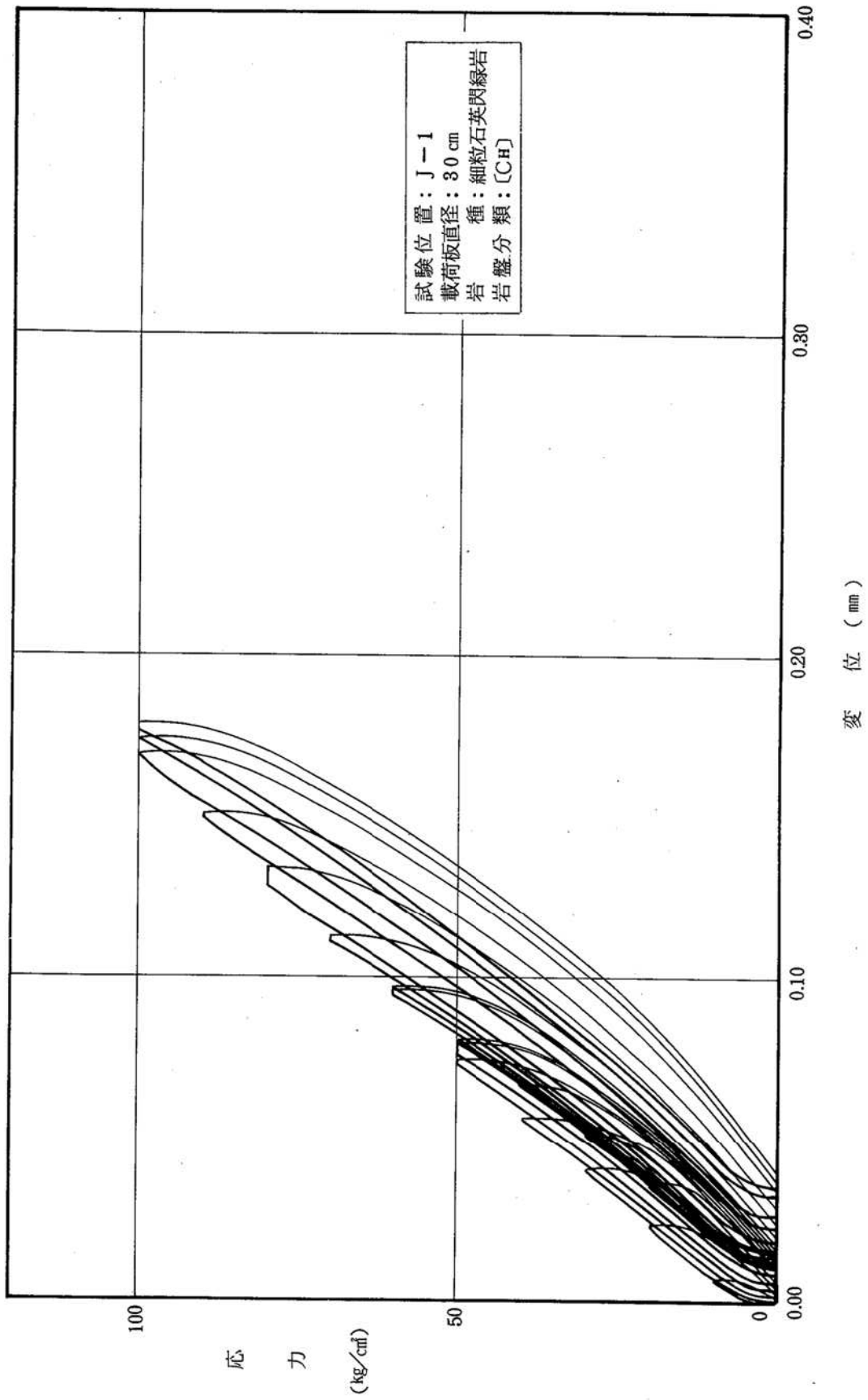
第 3.5.113 図(8) 荷重—変位曲線図 (A 試掘坑) (その 8)



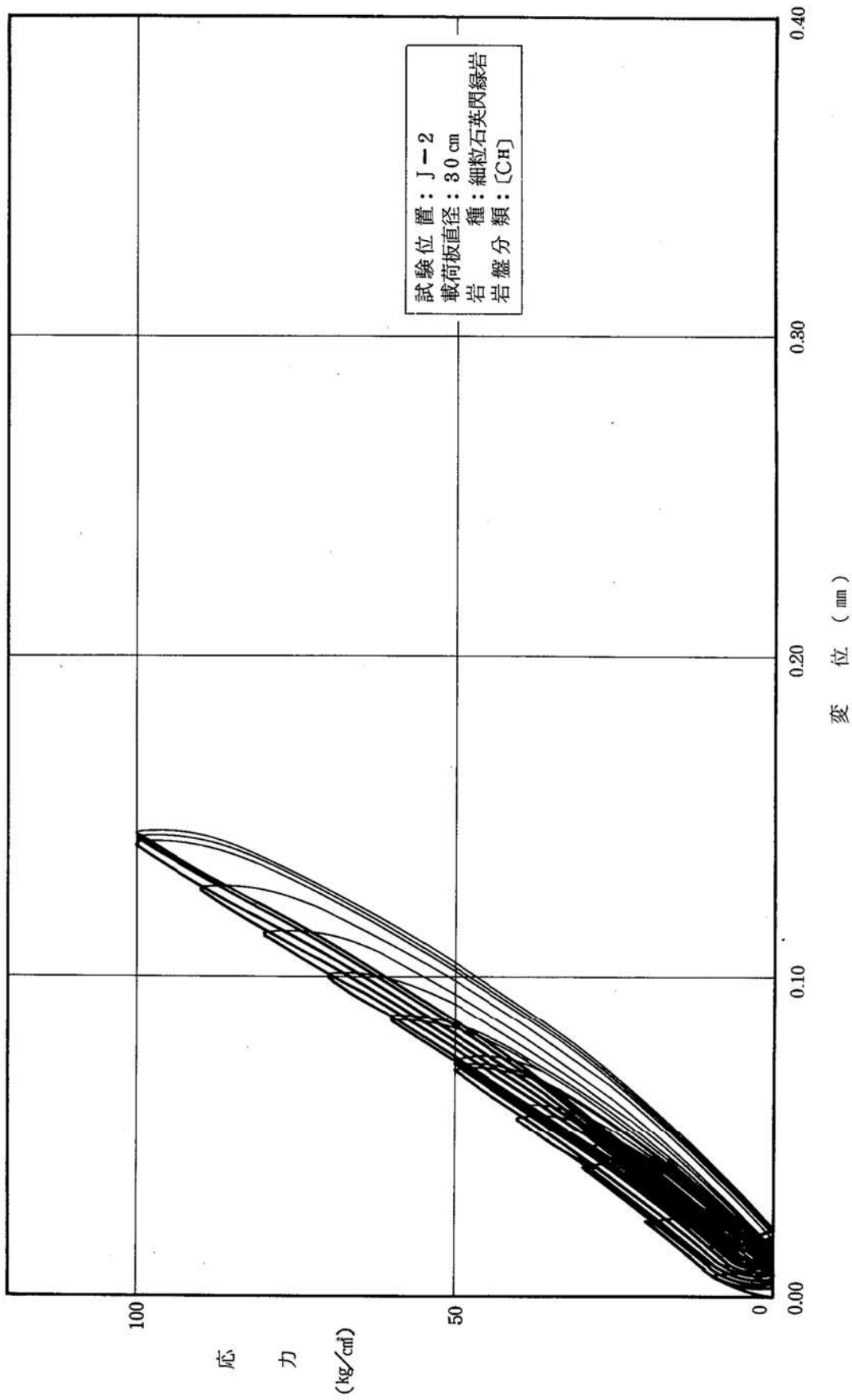
第 3.5.113 図(9) 荷重—変位曲線図 (A 試掘坑) (その 9)



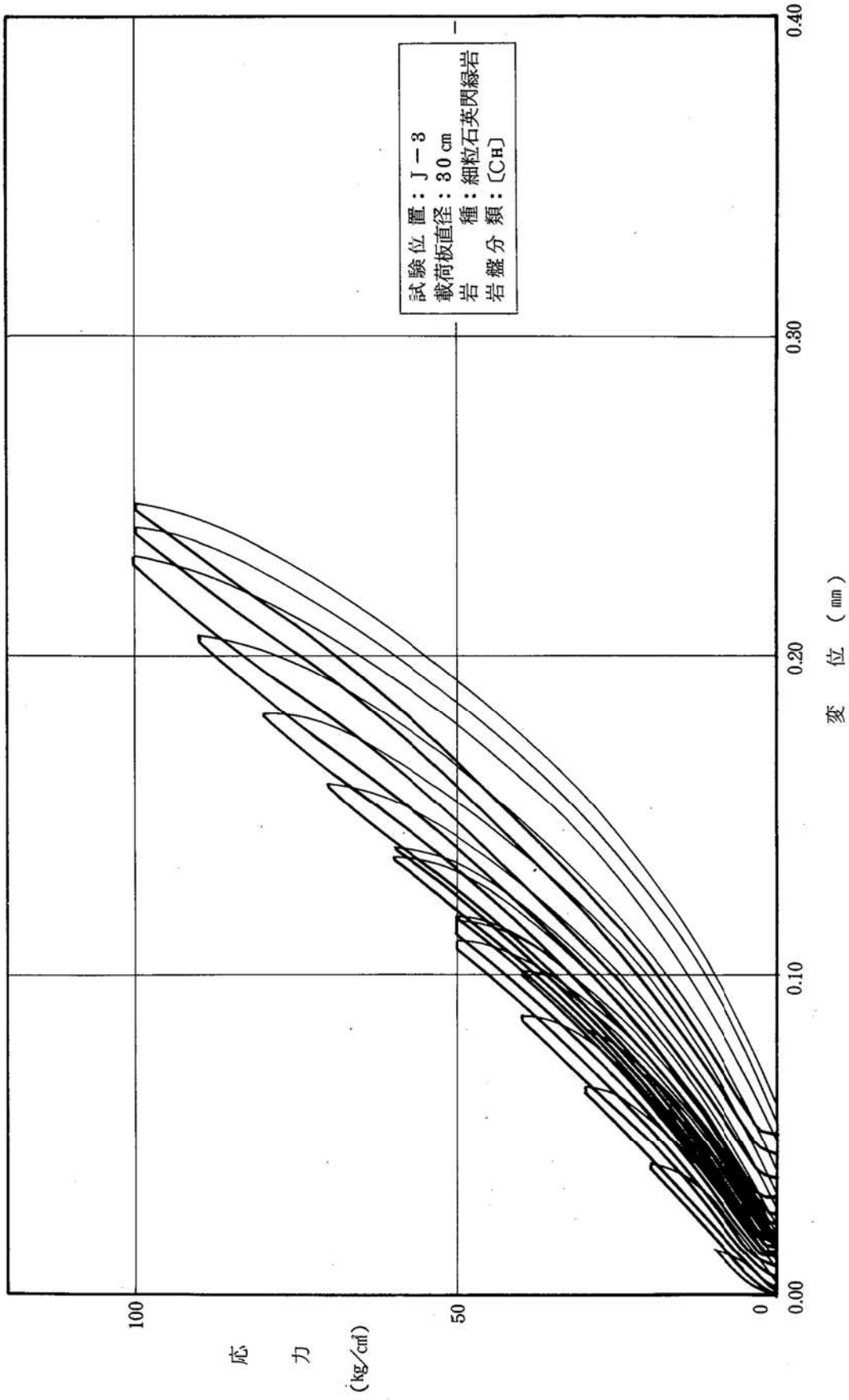
第3.5.113 図(10) 荷重—変位曲線図 (A試掘坑) (その10)



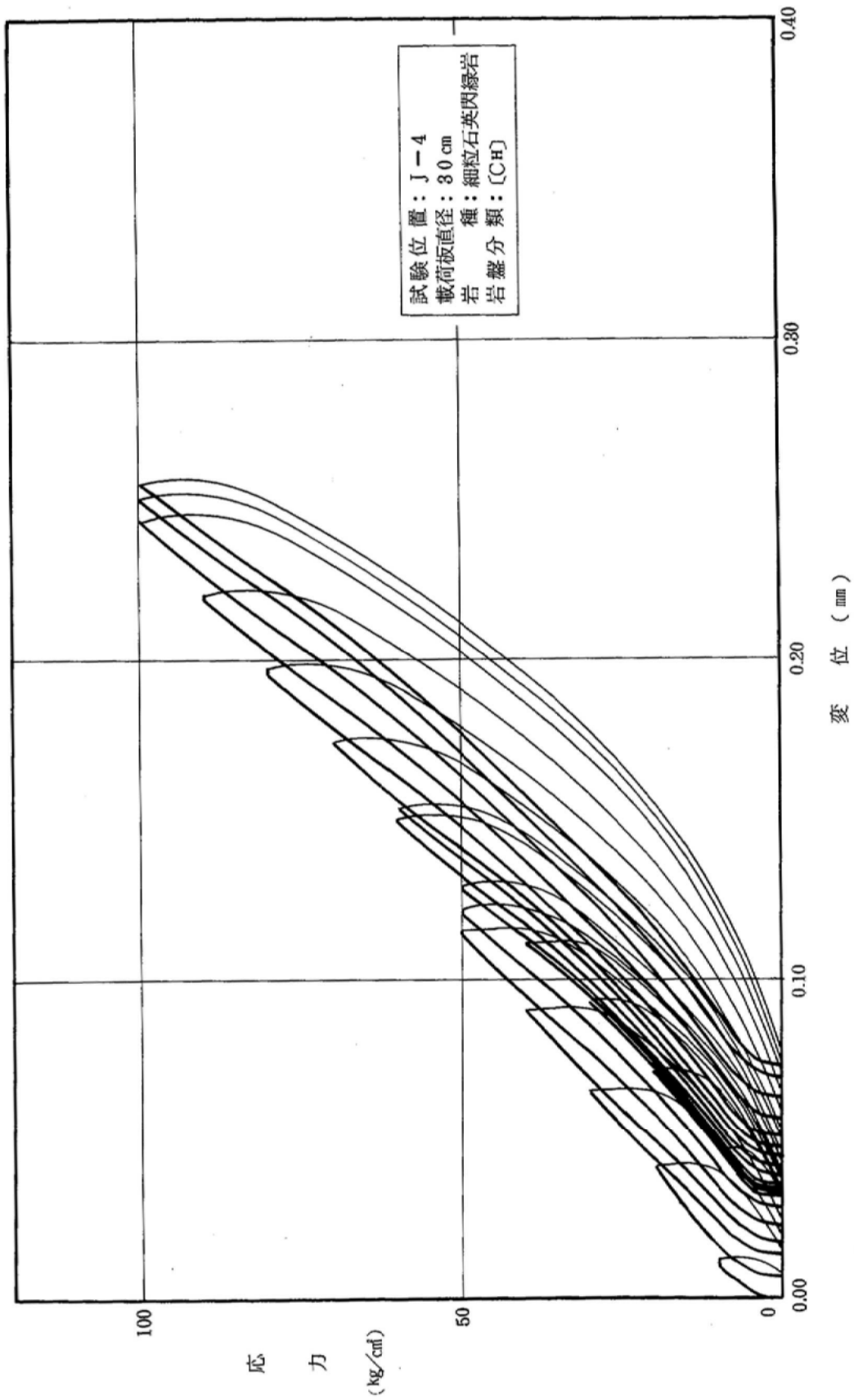
第 3.5.113 図(11) 荷重—変位曲線図 (A 試掘坑) (その 11)



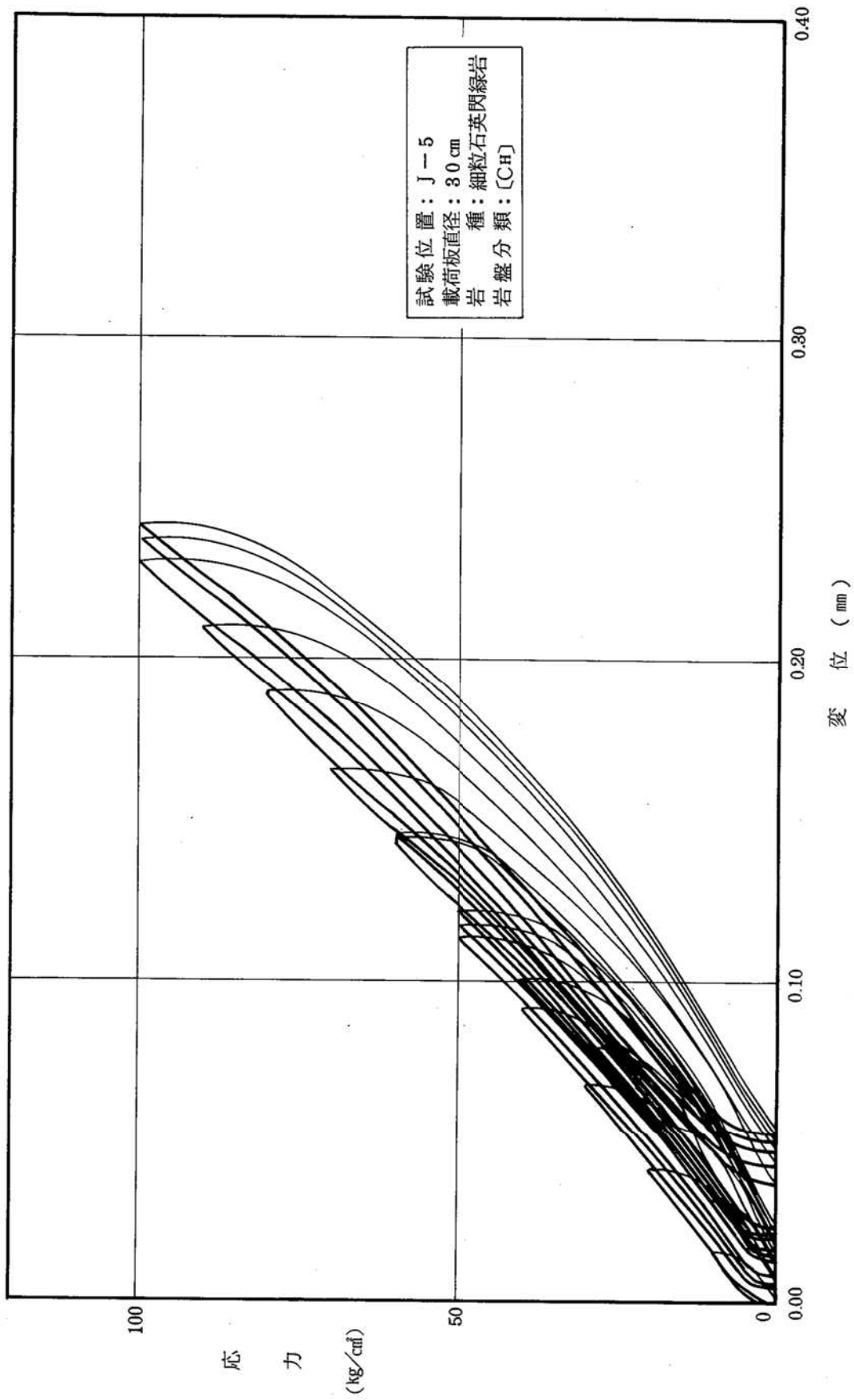
第 3.5.113 図(12) 荷重—変位曲線図 (A 試掘坑) (その 12)



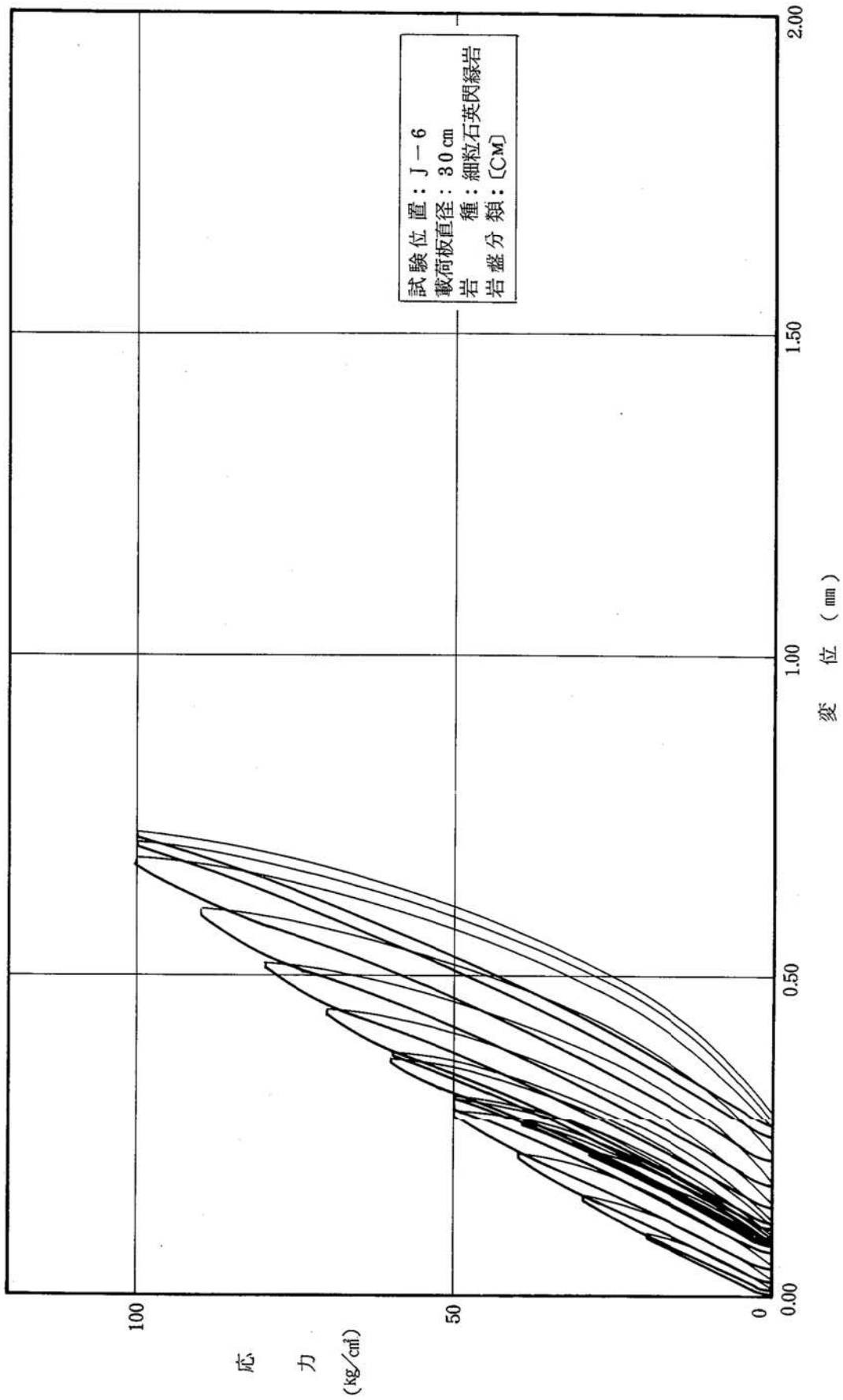
第 3.5.113 図(13) 荷重—変位曲線図 (A 試掘坑) (その 13)



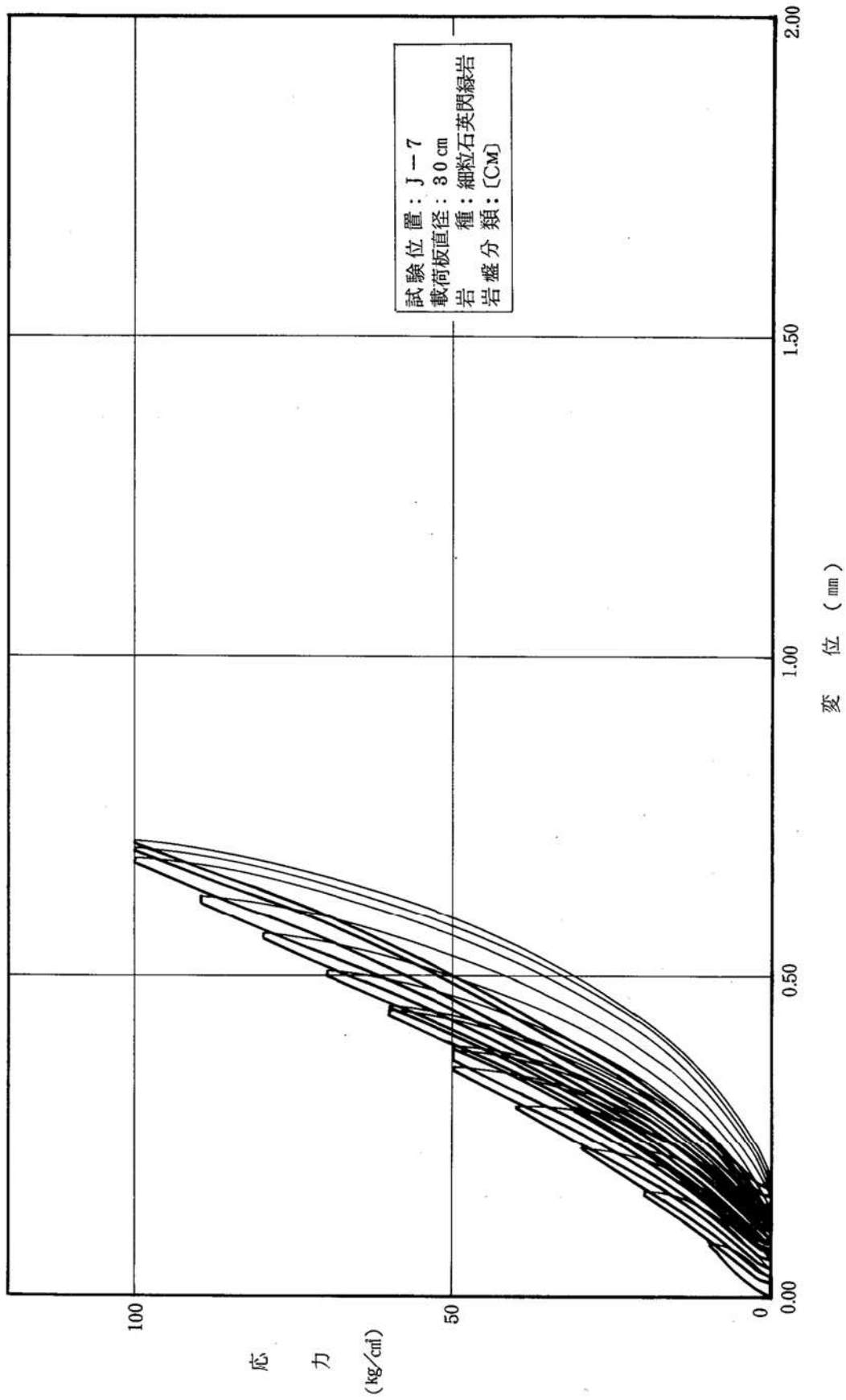
第3.5.113 図(14) 荷重—変位曲線図 (A試掘坑) (その14)



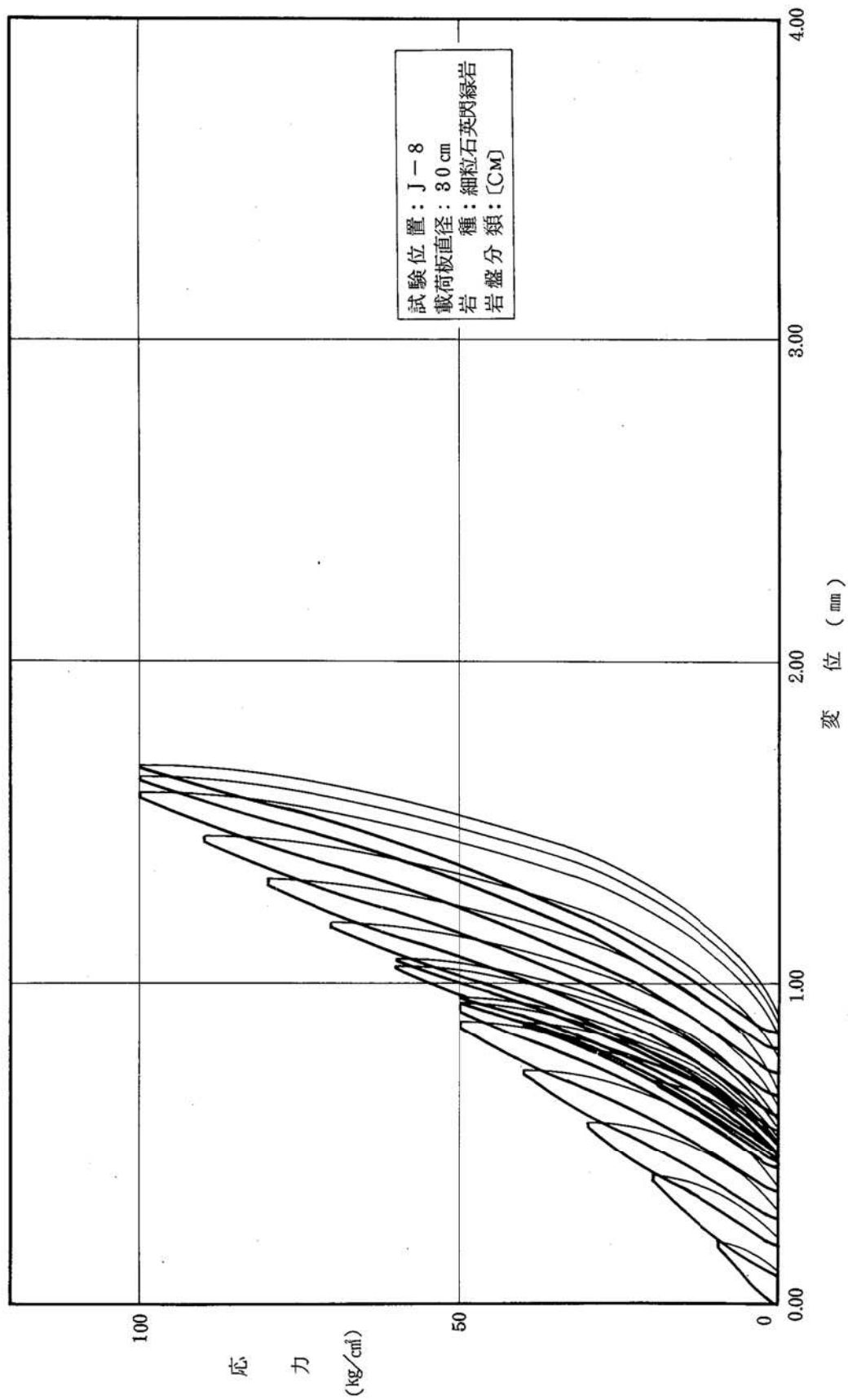
第 3.5.113 図(15) 荷重—変位曲線図 (A 試掘坑) (その 15)



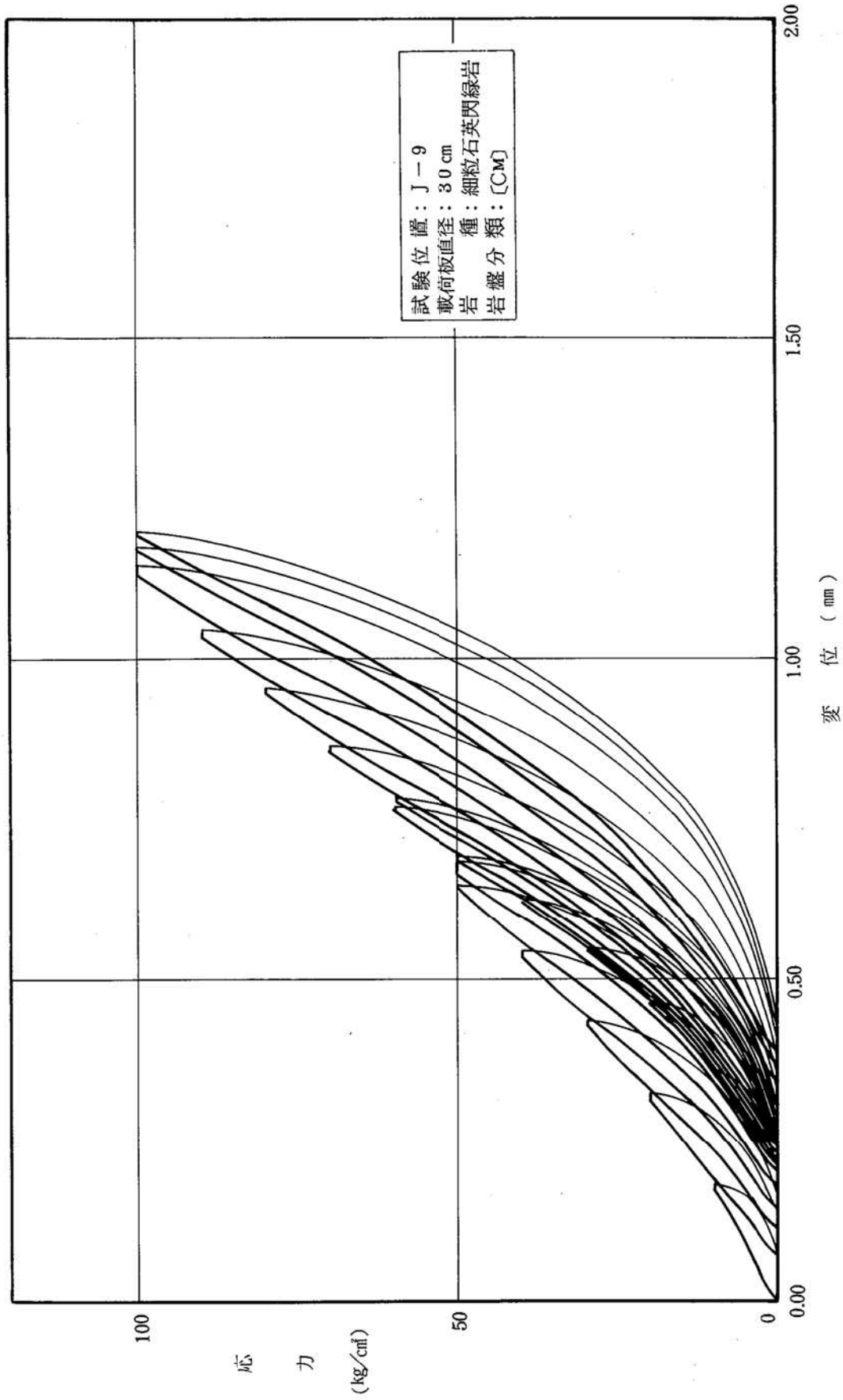
第 3.5.113 図(16) 荷重—変位曲線図 (A 試掘坑) (その 16)



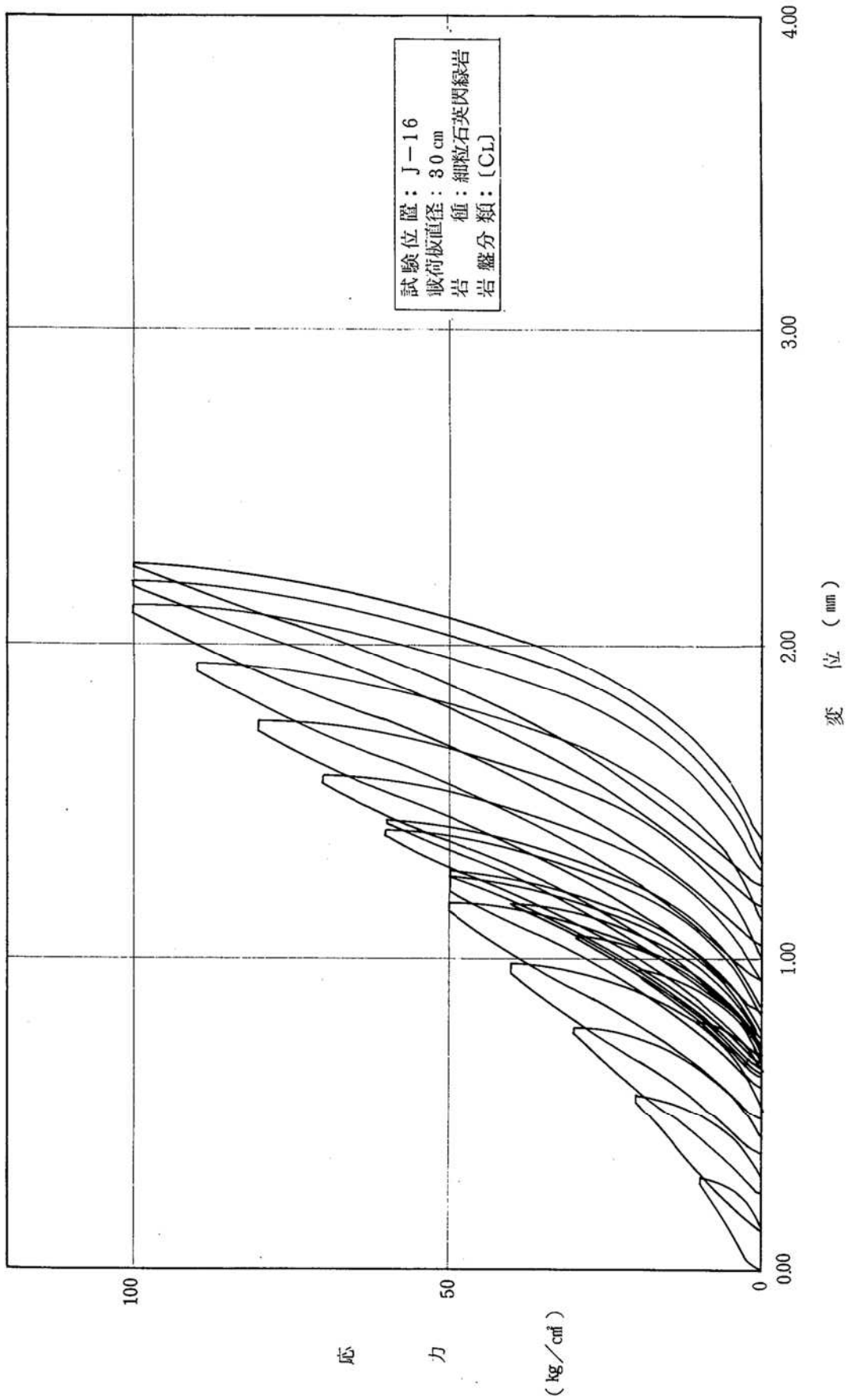
第 3.5.113 図(17) 荷重—変位曲線図 (A 試験坑) (その 17)



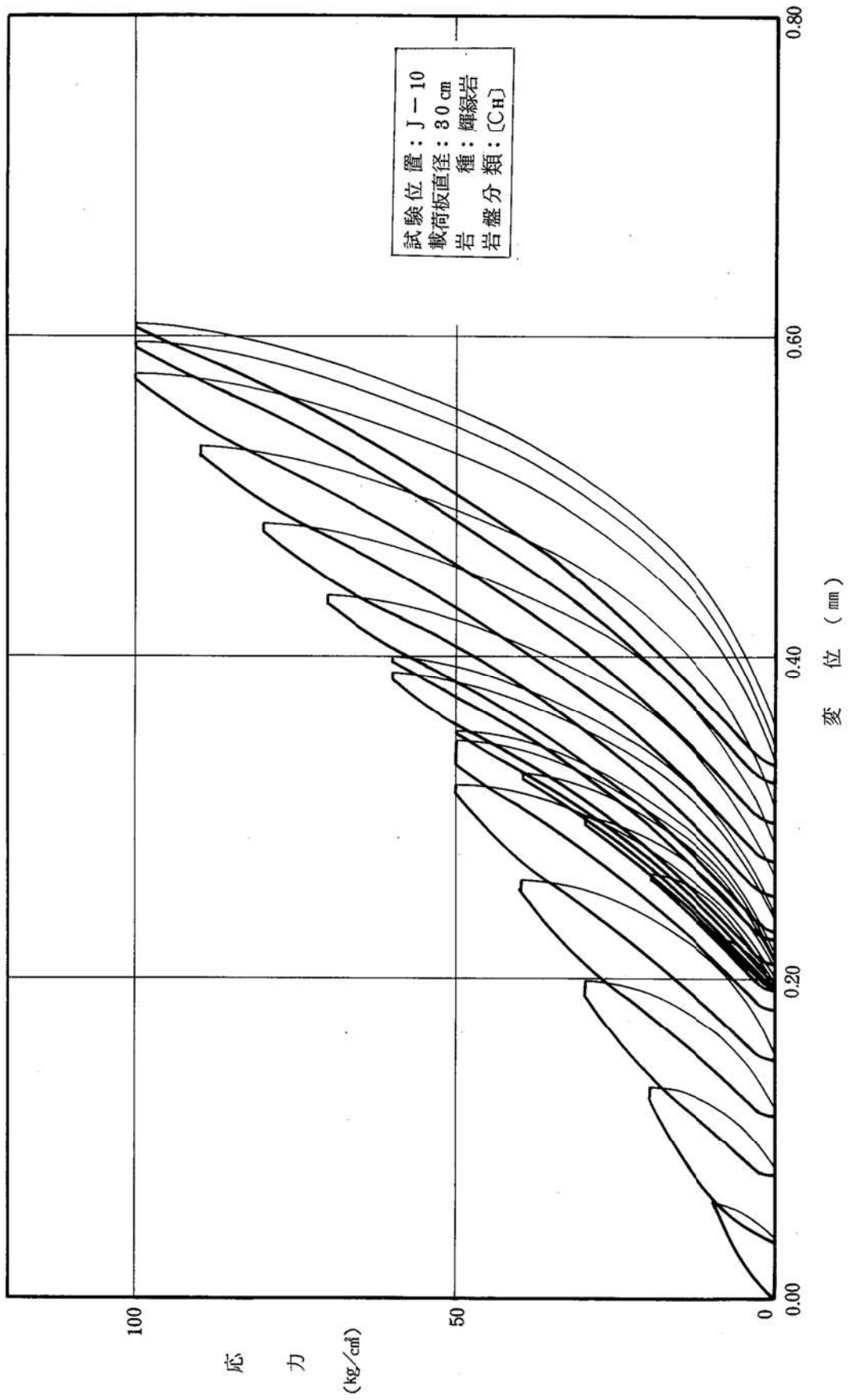
第 3.5.113 図(18) 荷重—変位曲線図 (A 試掘坑) (その 18)



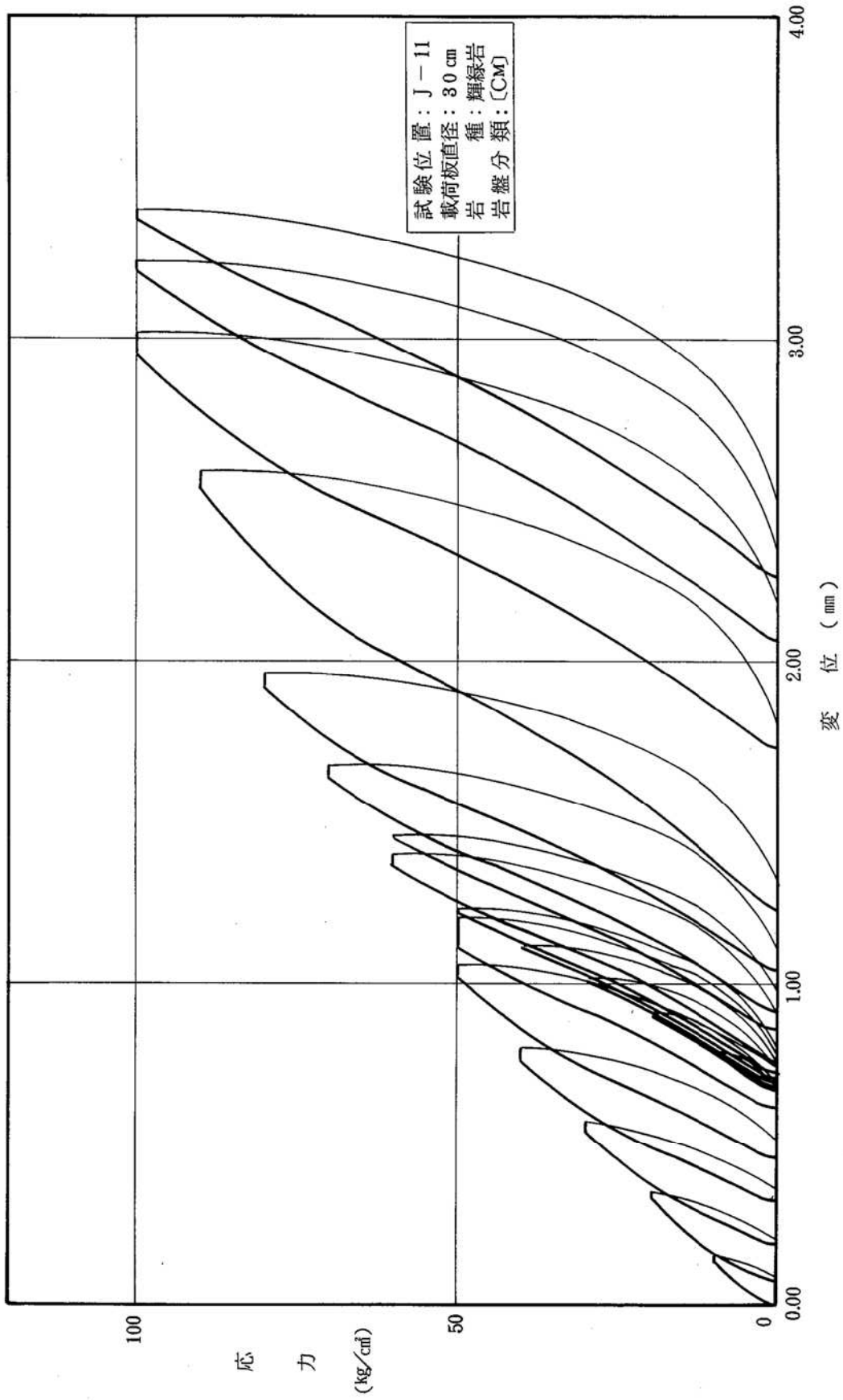
第 3.5.113 図(19) 荷重—変位曲線図 (A 試掘坑) (その 19)



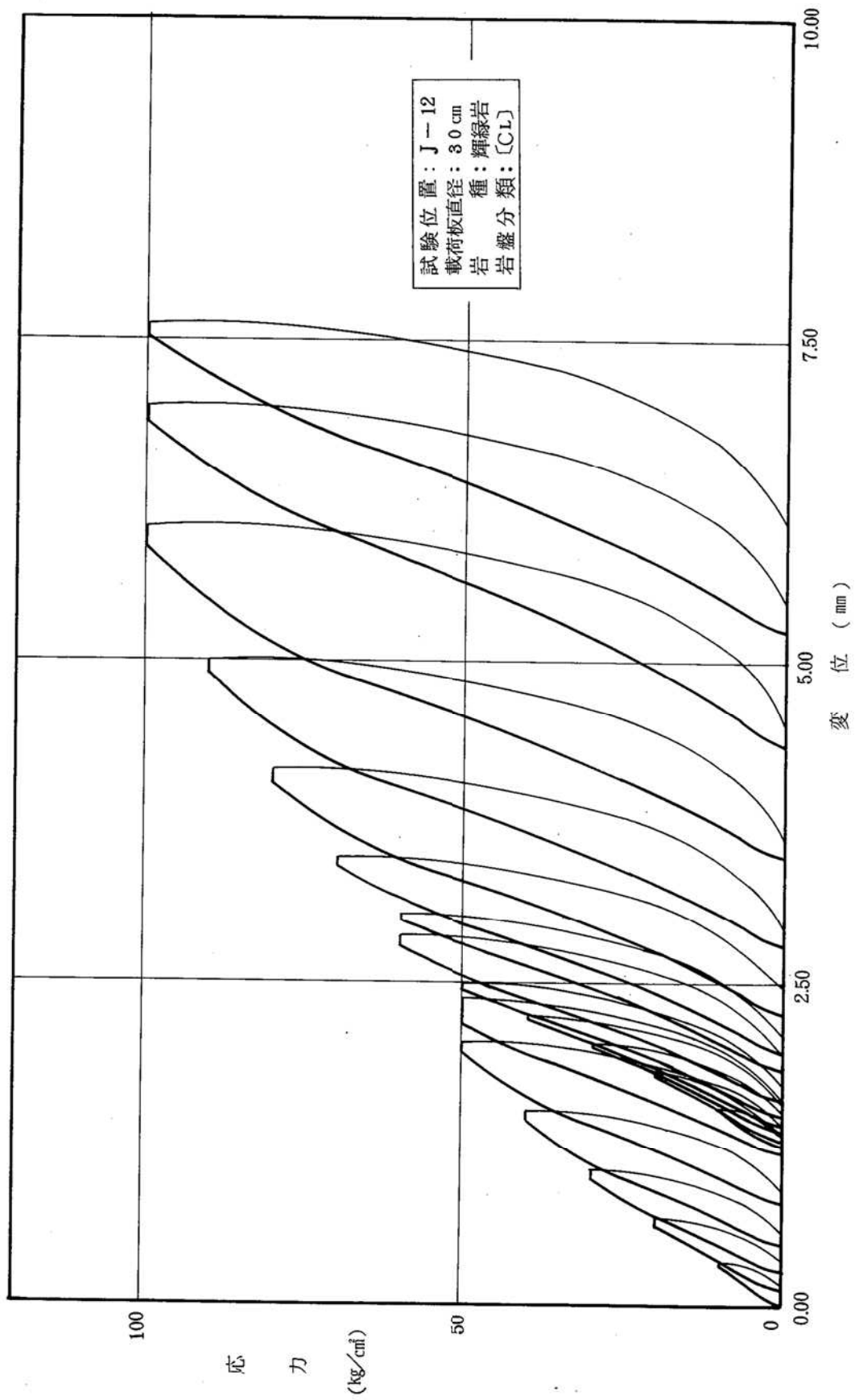
第 3.5.113 図(20) 荷重—変位曲線図 (A 試掘坑) (その 20)



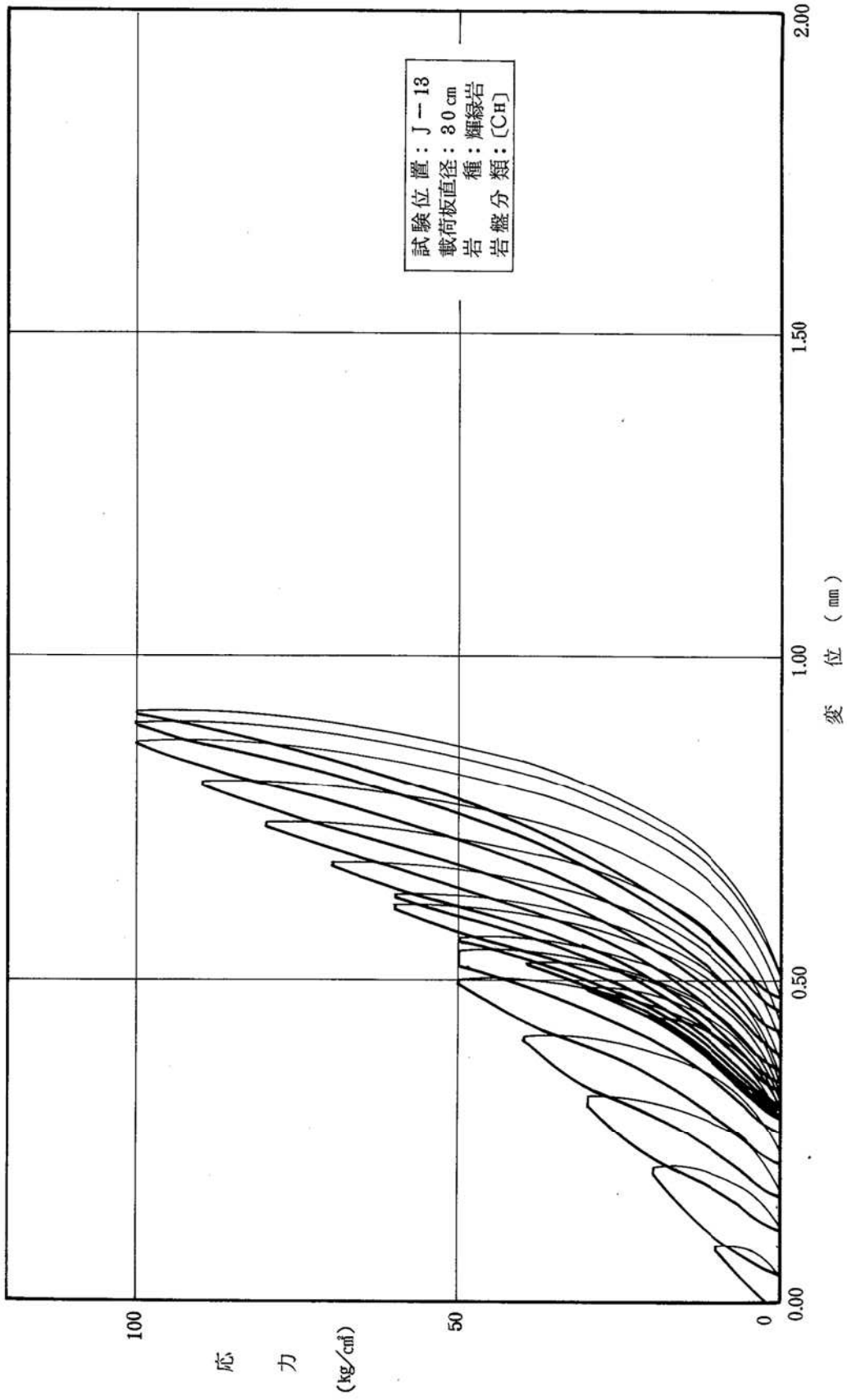
第 3.5.114 図(1) 荷重—変位曲線図 (B 試掘坑) (その 1)



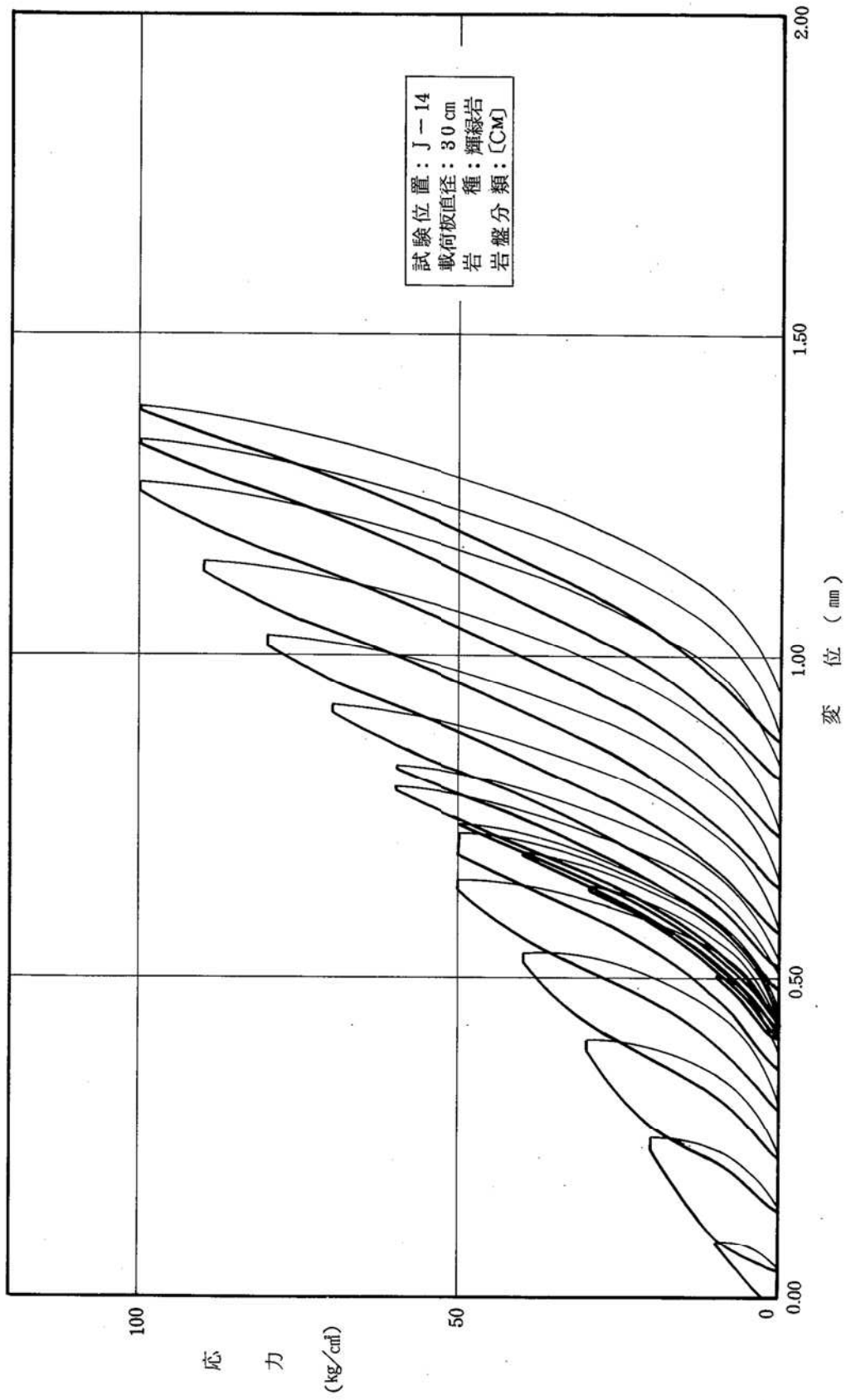
第 3.5.114 図(2) 荷重—変位曲線図 (B 試掘坑) (その 2)



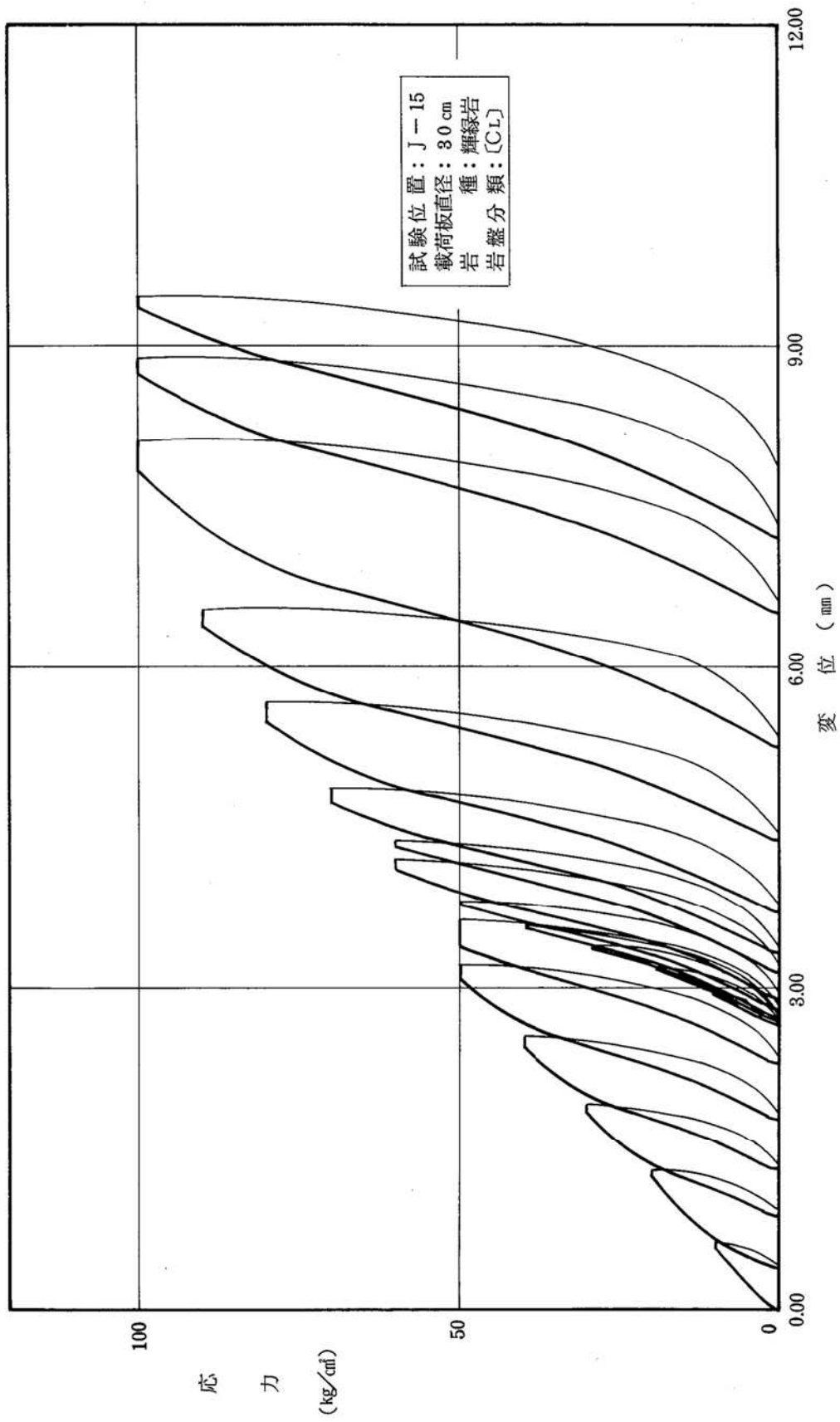
第 3.5.114 図(3) 荷重—変位曲線図 (B 試掘坑) (その 3)



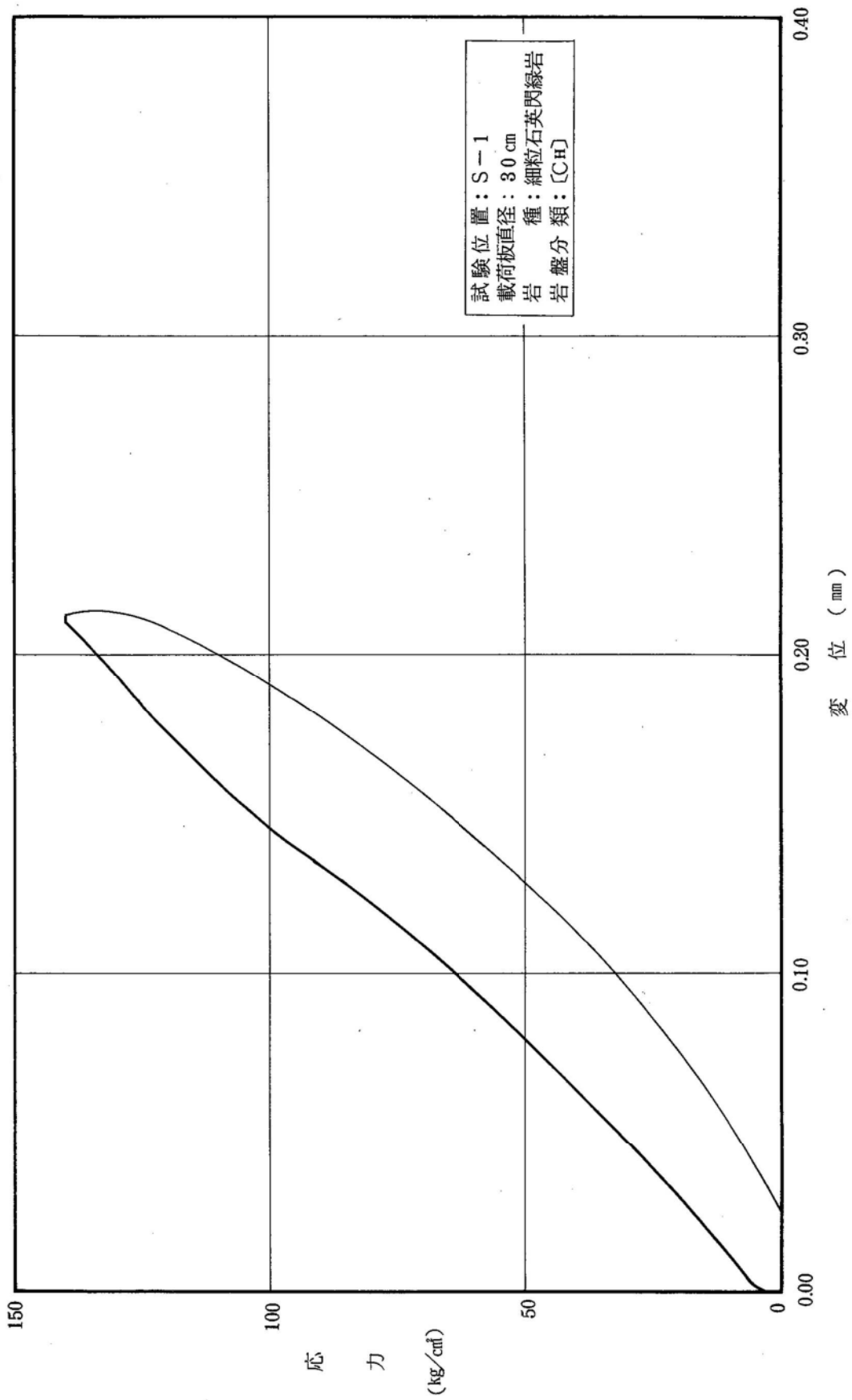
第 3.5.115 図(1) 荷重—変位曲線図 (C 試験坑) (その 1)



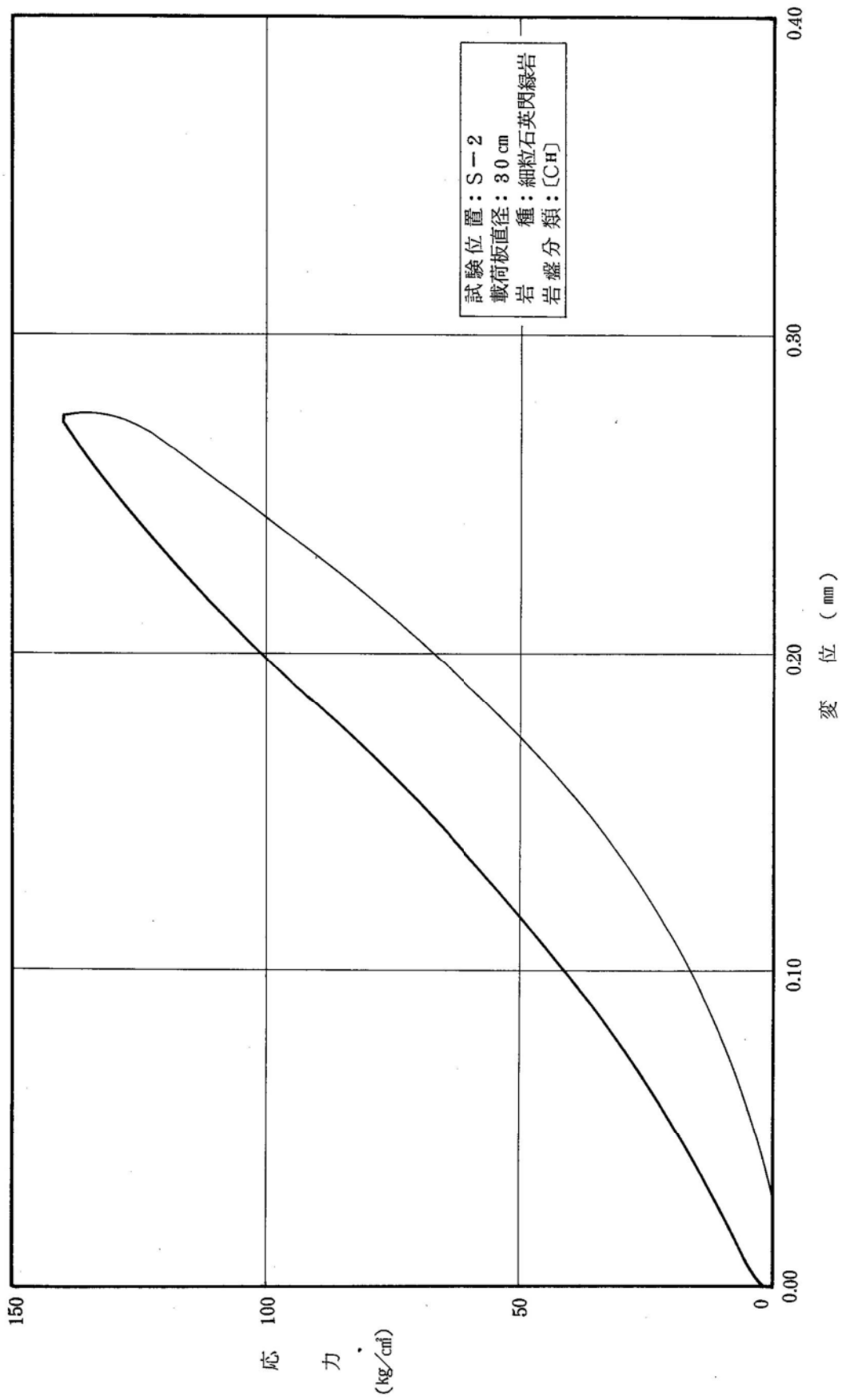
第 3.5.115 図(2) 荷重—変位曲線図 (C 試験掘坑) (その 2)



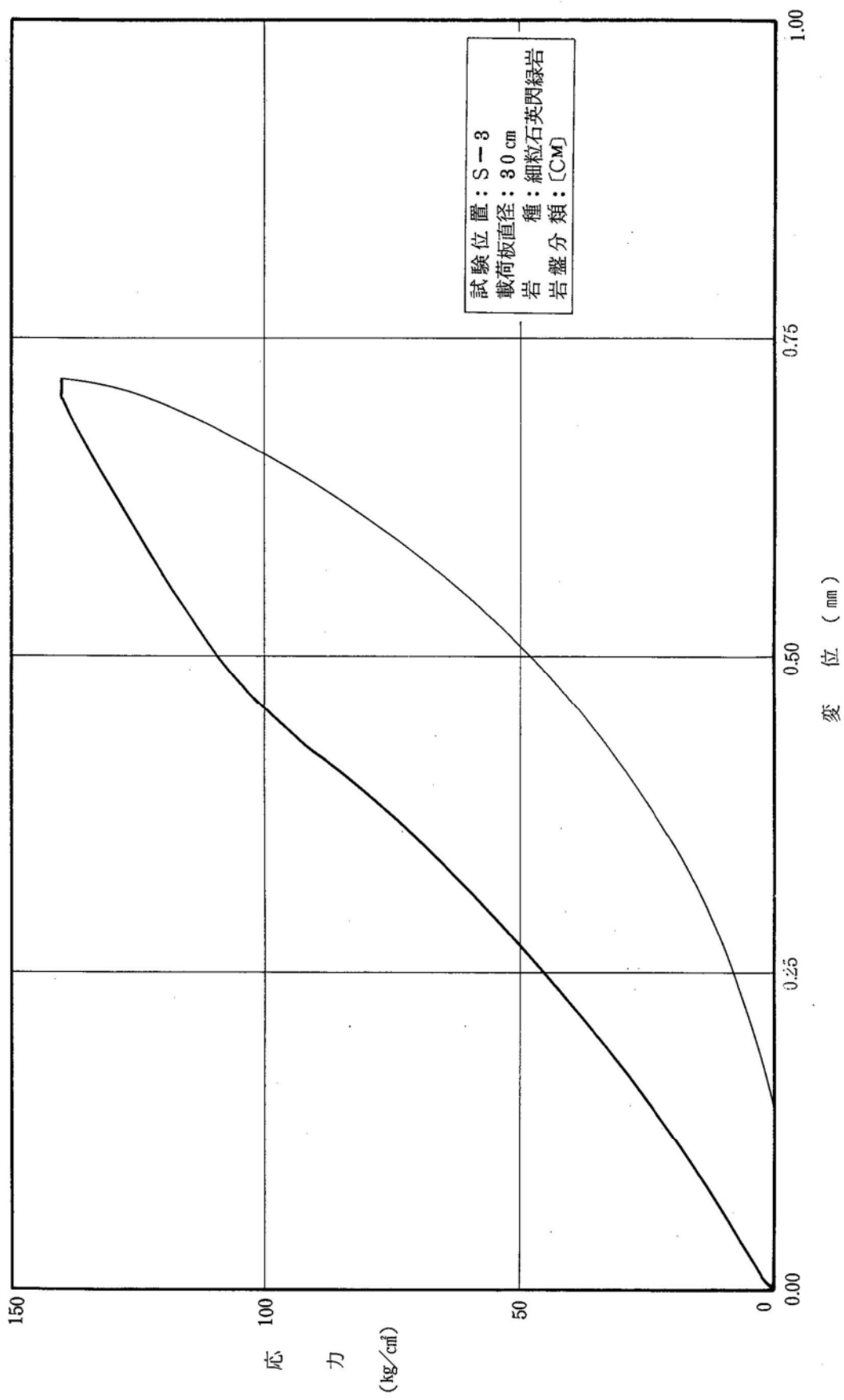
第 3.5.115 図(3) 荷重—変位曲線図 (C 試掘坑) (その 3)



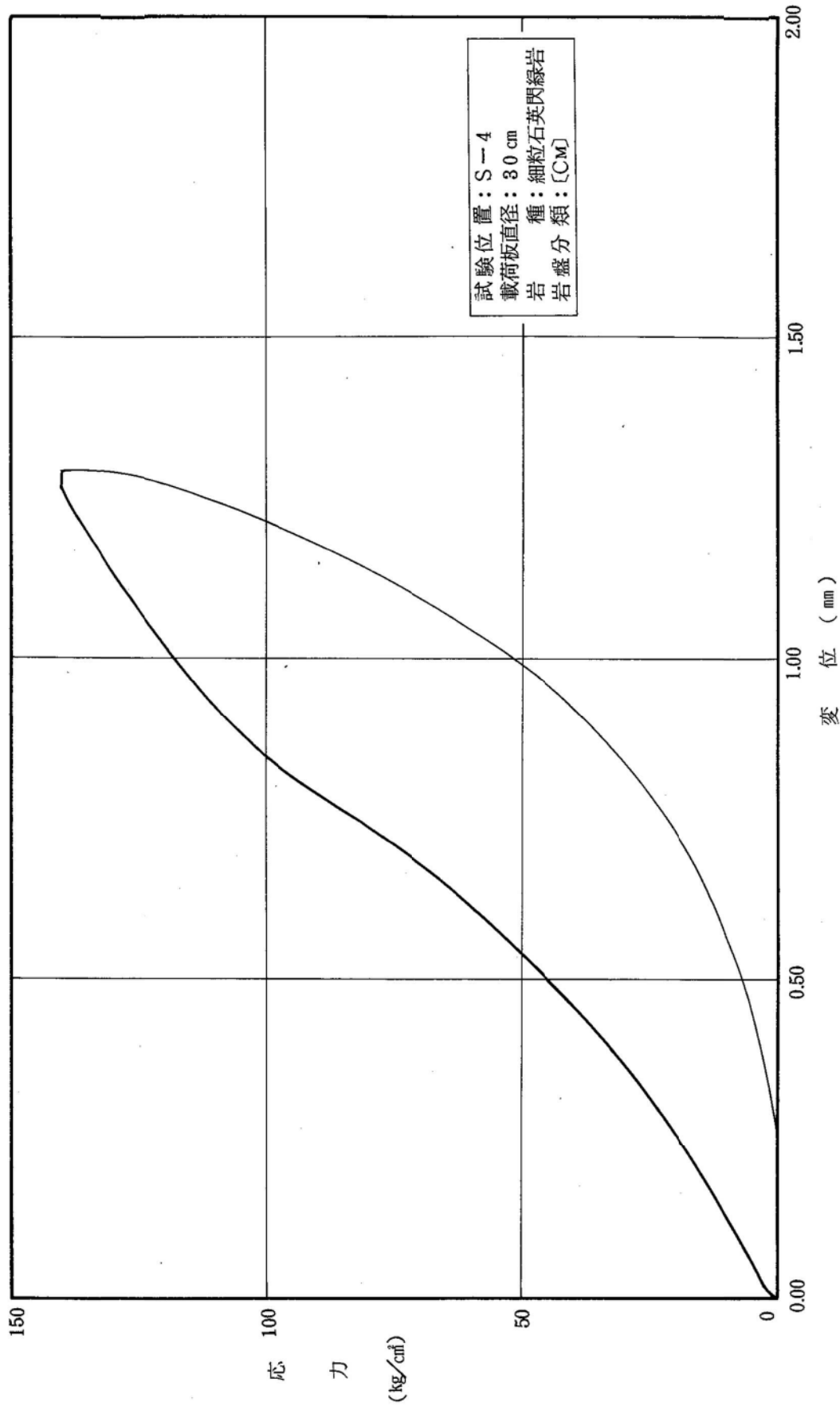
第 3.5.116 図(1) 支持力試験結果 (その 1)



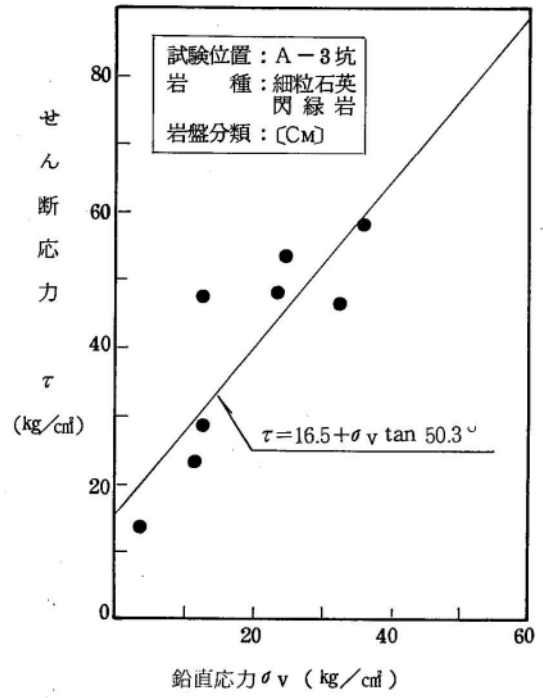
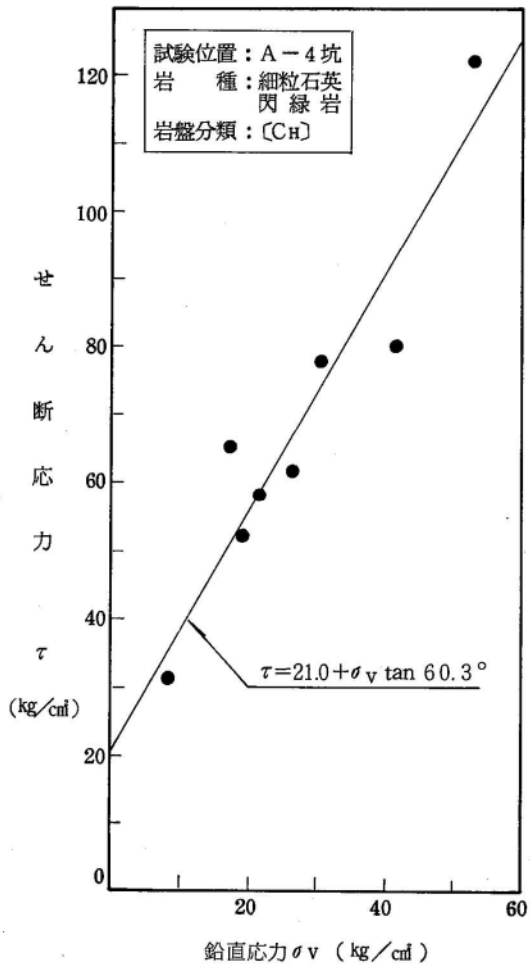
第 3.5.116 図(2) 支持力試験結果 (その 2)



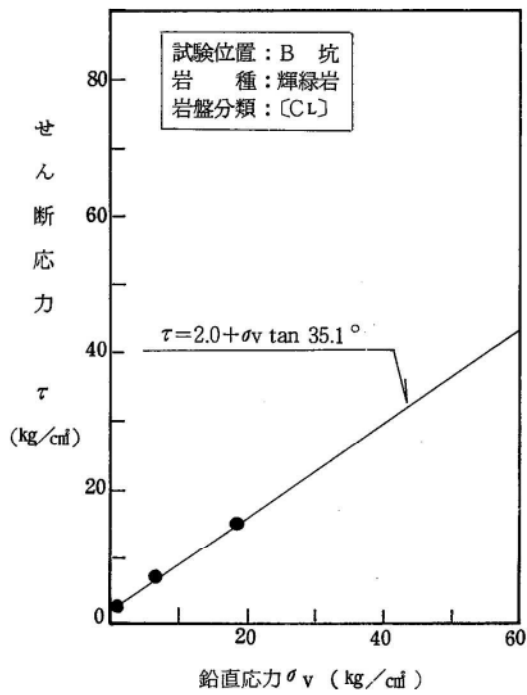
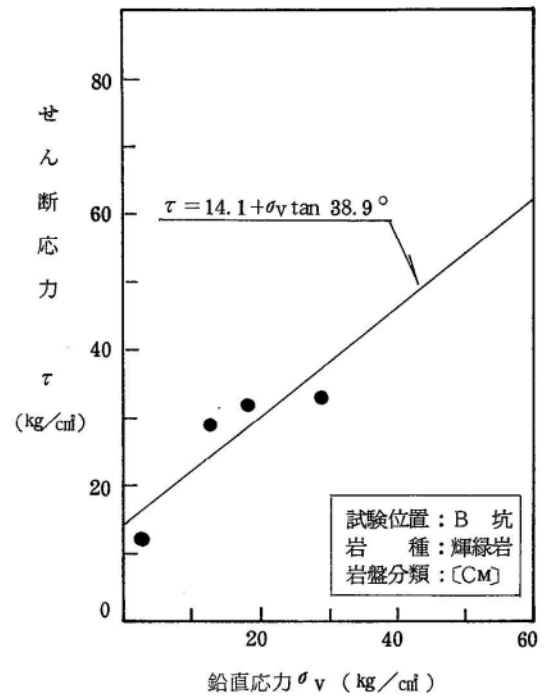
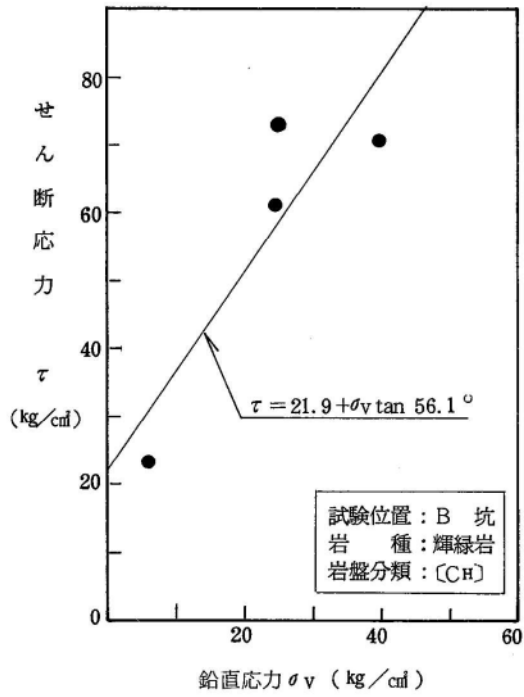
第 3.5.116 図(3) 支持力試験結果 (その 3)



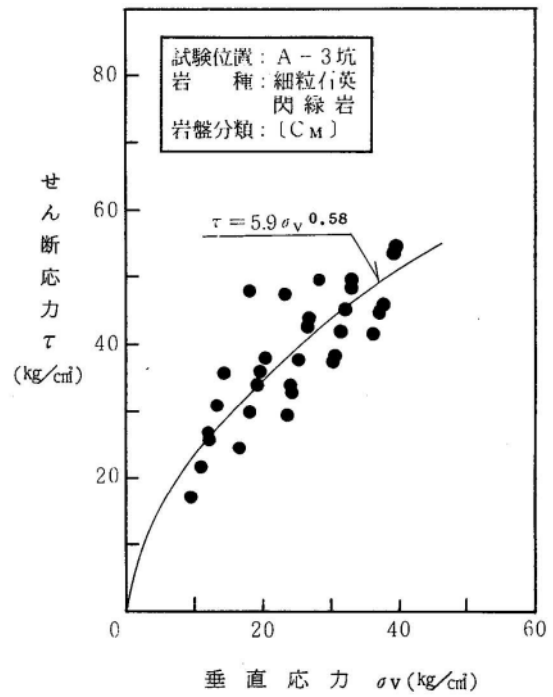
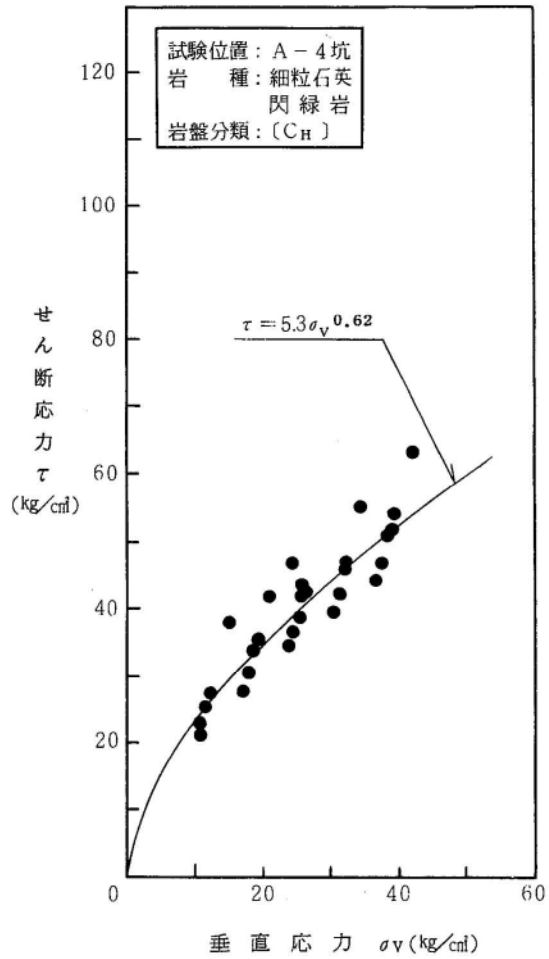
第 3.5.116 図(4) 支持力試験結果 (その 4)



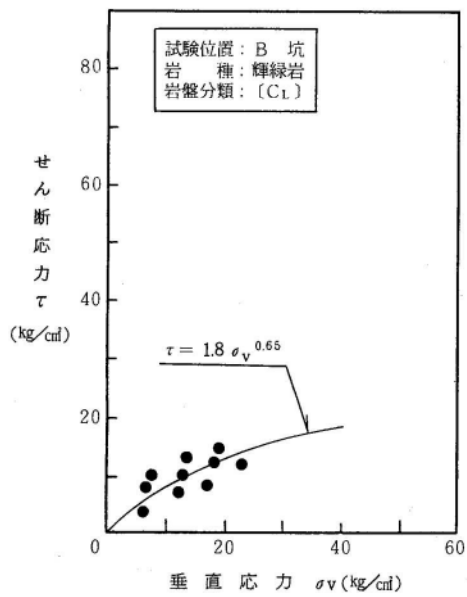
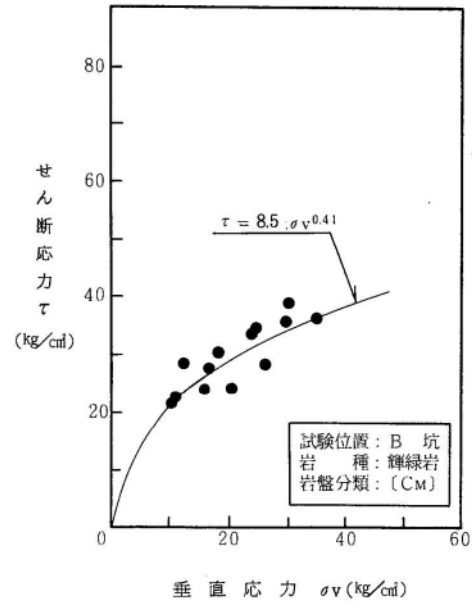
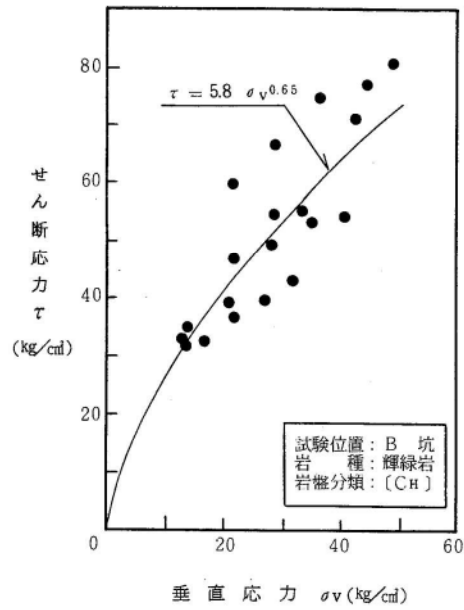
第 3.5.117 図 ブロックせん断試験結果



第 3.5.118 図 ロックせん断試験結果



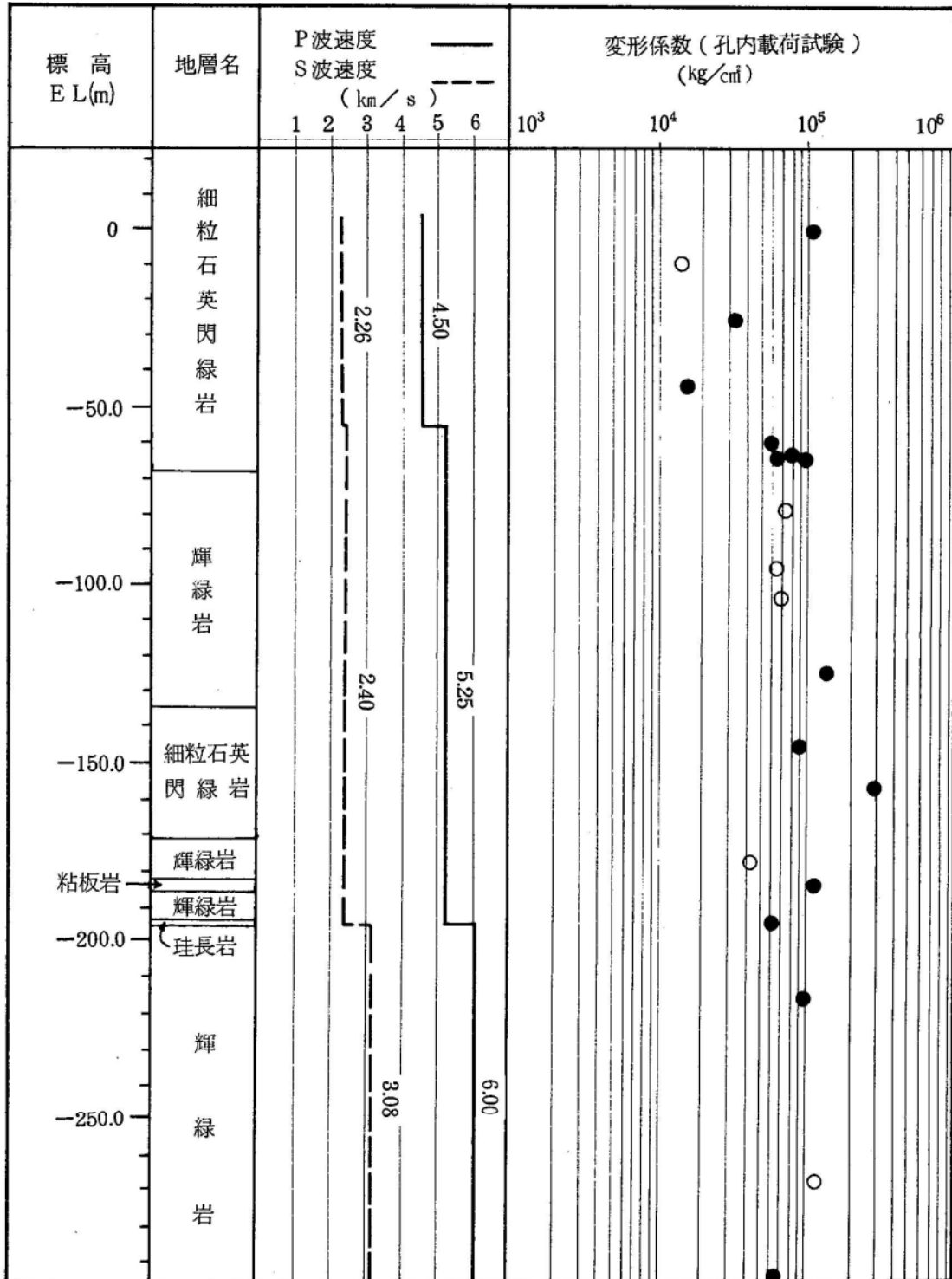
第 3.5.119 図 残留強度試験結果 (A 試掘坑)



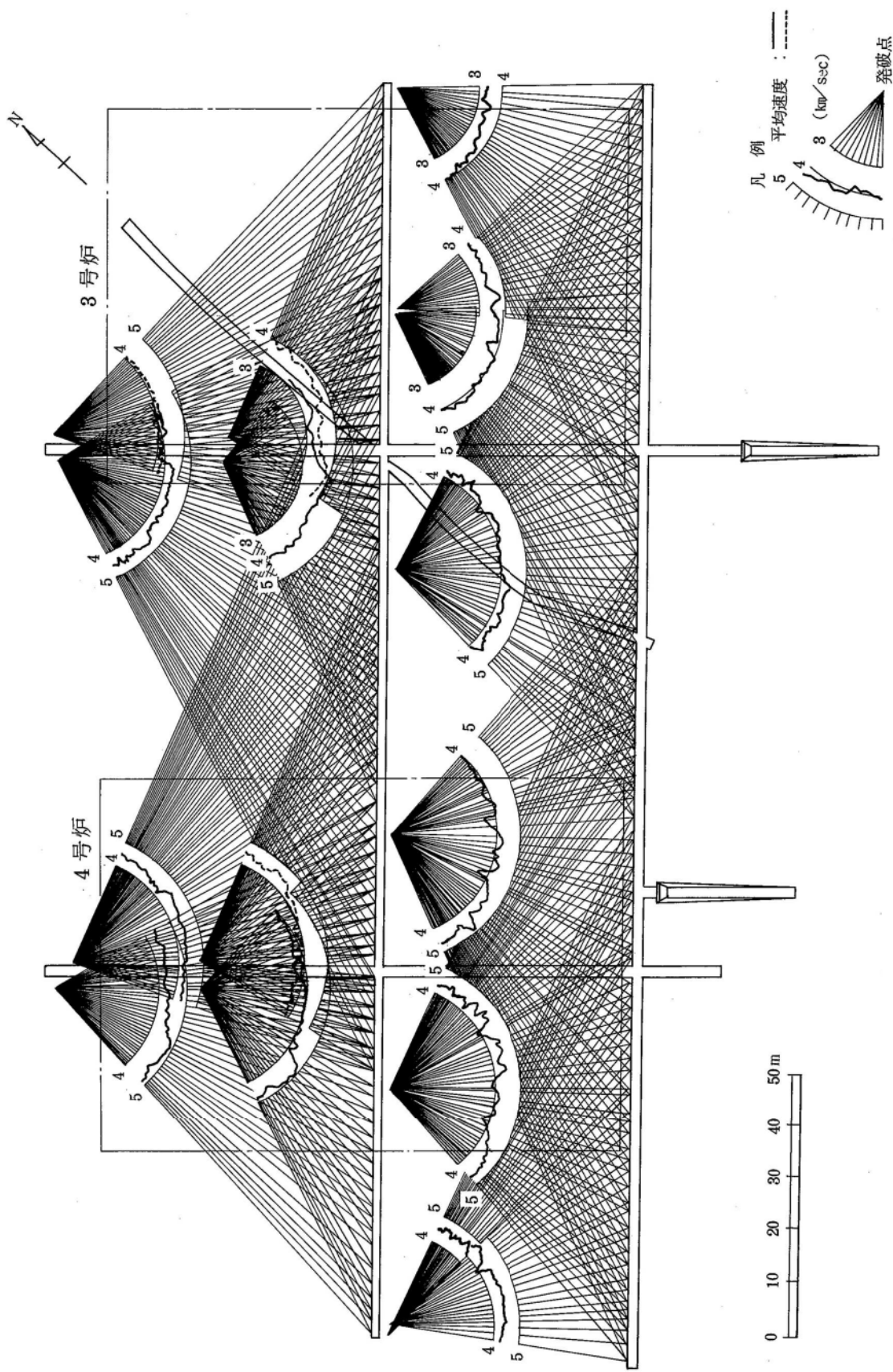
第 3.5.120 図 残留強度試験結果 (B 試掘坑)

NO 1158 (3号炉)

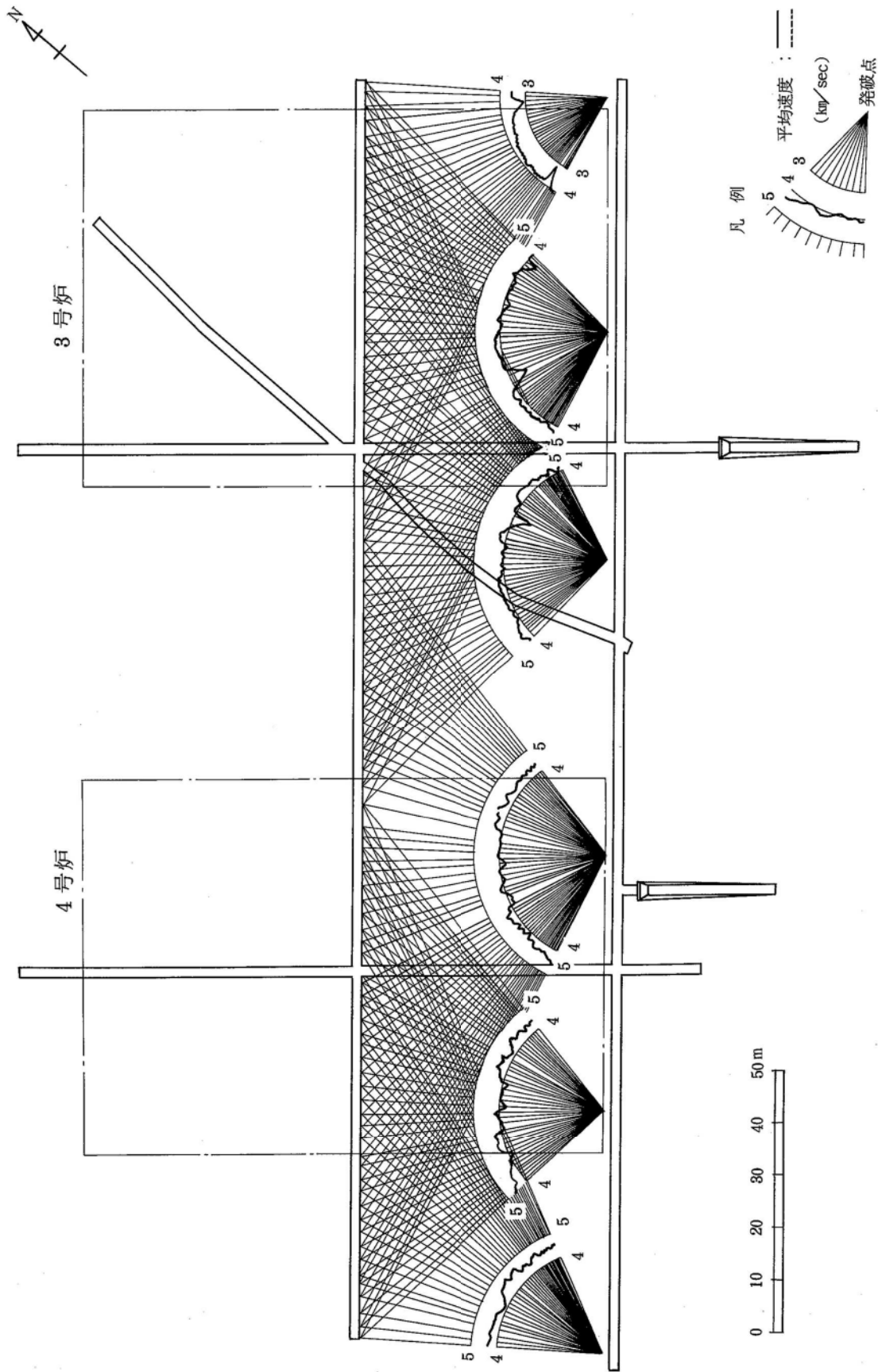
○ CM'
● CH'



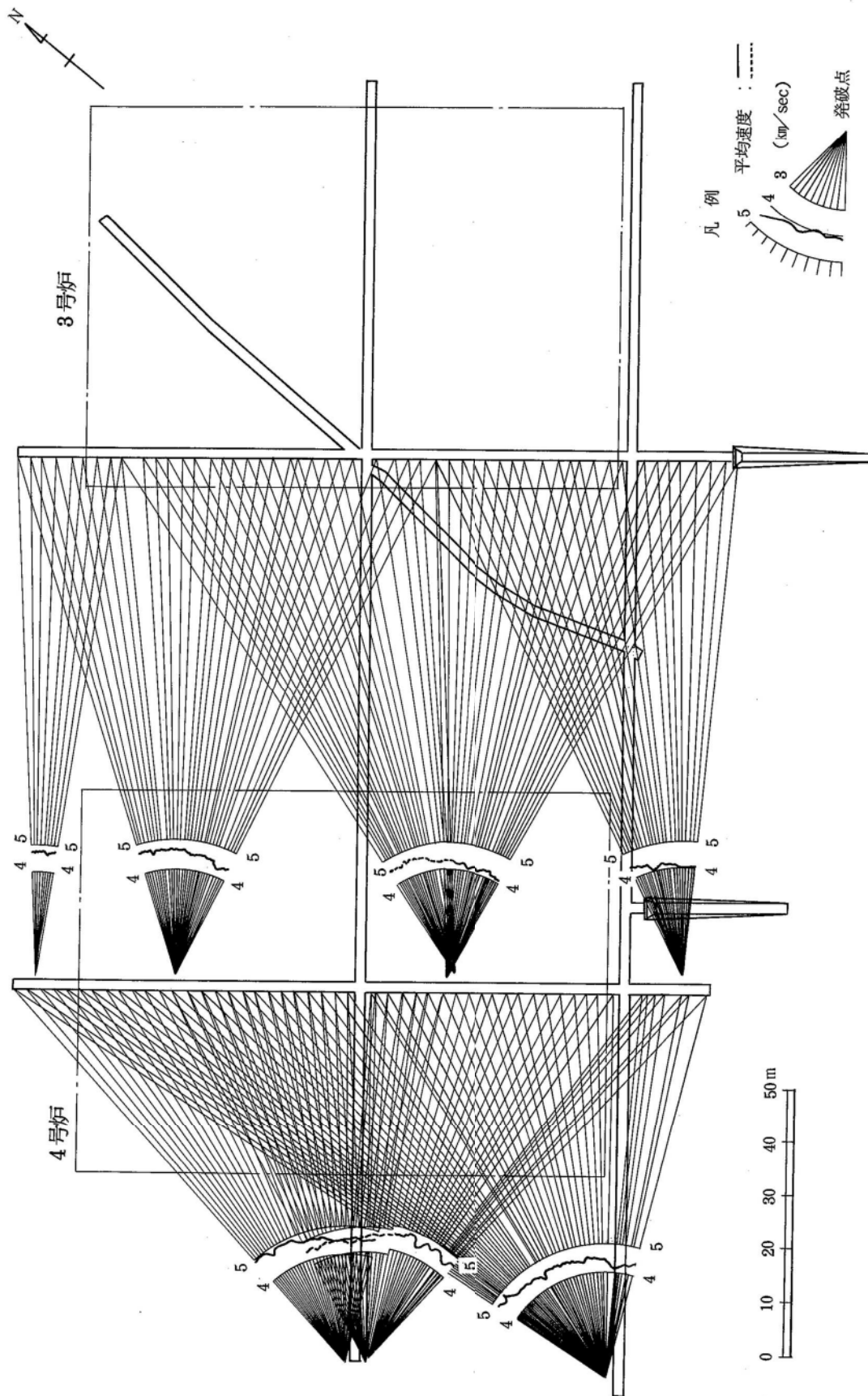
第 3.5.121 図(1) P S 検層・孔内載荷試験結果 (その 1)



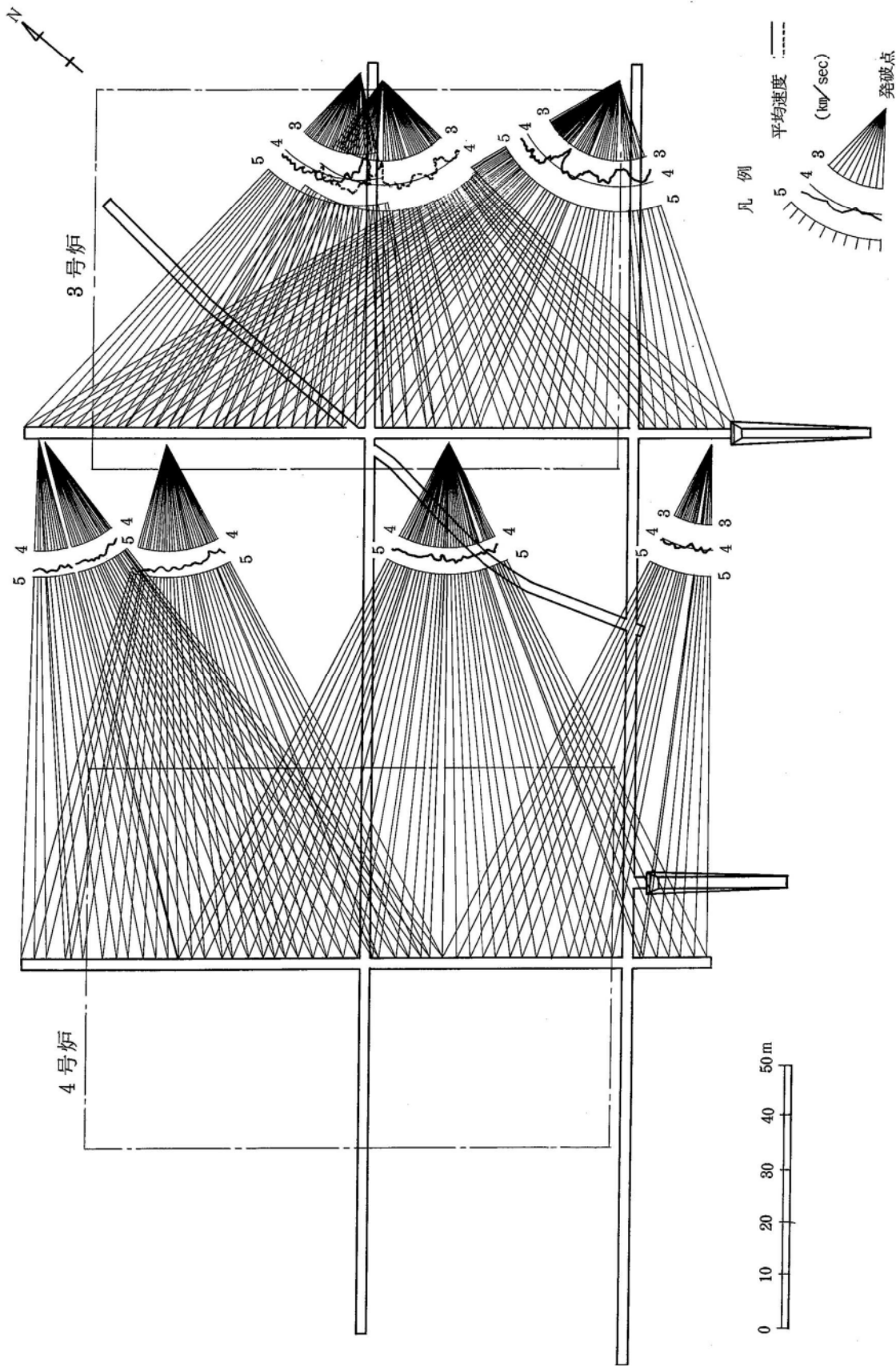
第 3.5.122 図(1) 試掘坑内坑間弾性波探査 (平均速度法) 結果図 (その 1)



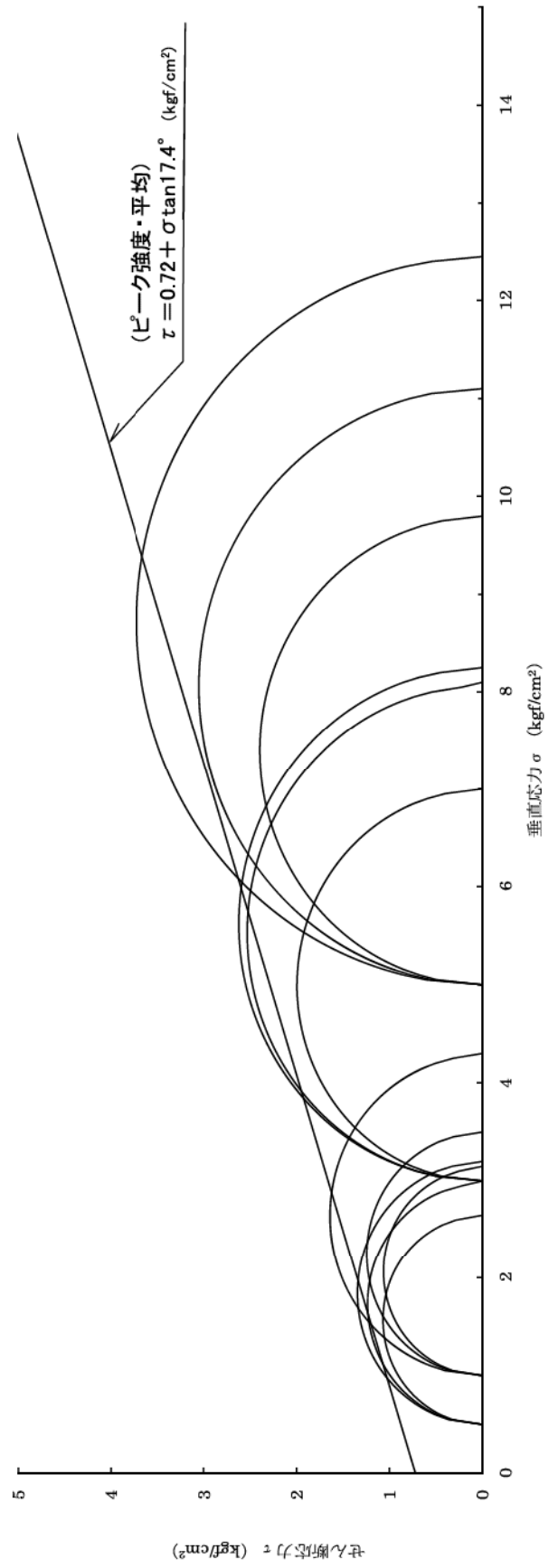
第 3.5.122 図(2) 試掘坑内坑間弾性波探査 (平均速度法) 結果図 (その 2)



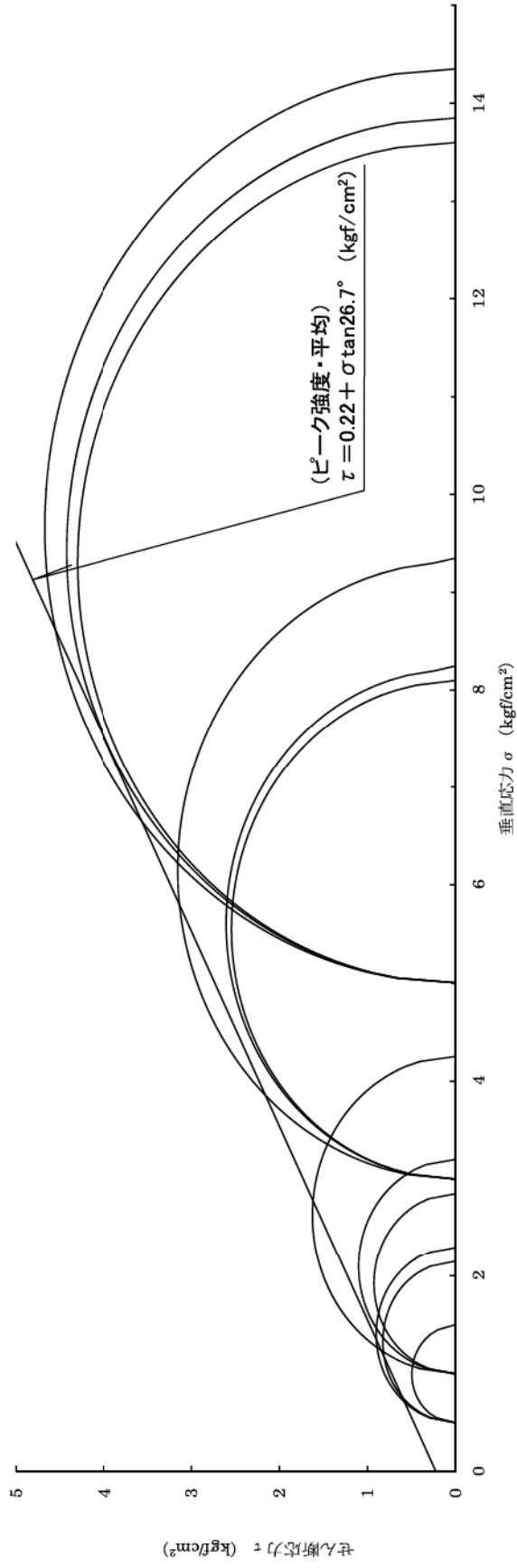
第 3.5.122 図(3) 試掘坑内坑間弾性波探査 (平均速度法) 結果図 (その 3)



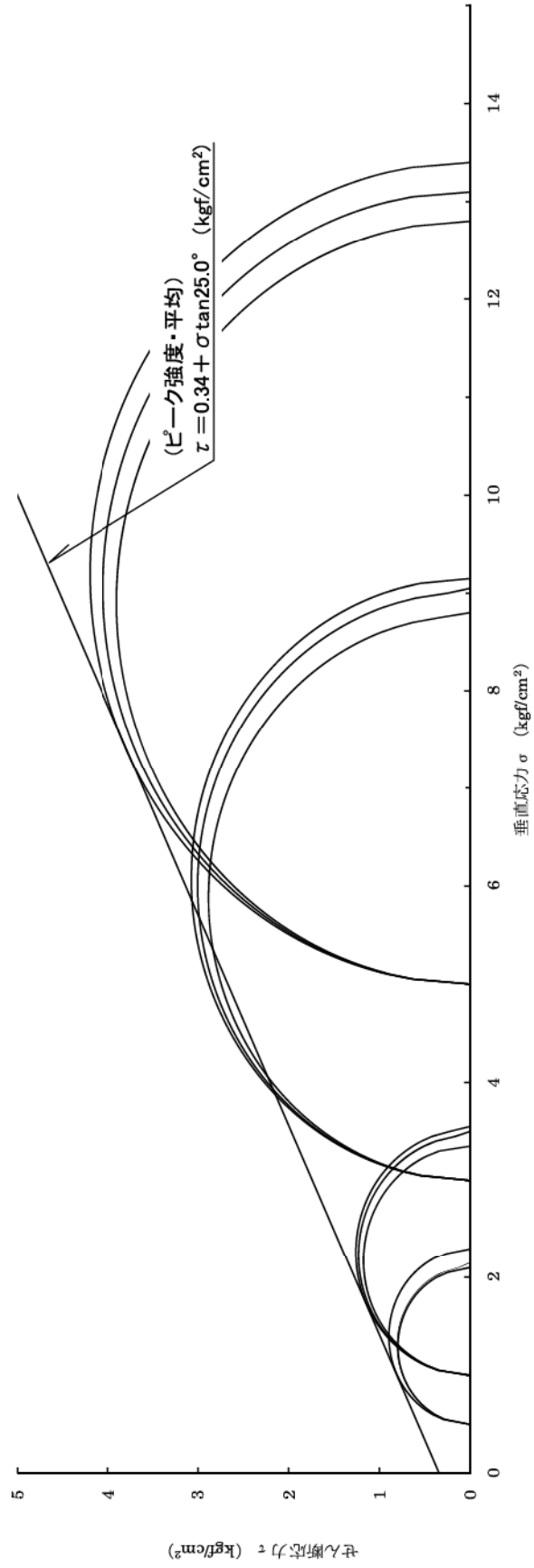
第 3.5.122 图(4) 试掘坑内坑間彈性波探查 (平均速度法) 結果図 (その 4)



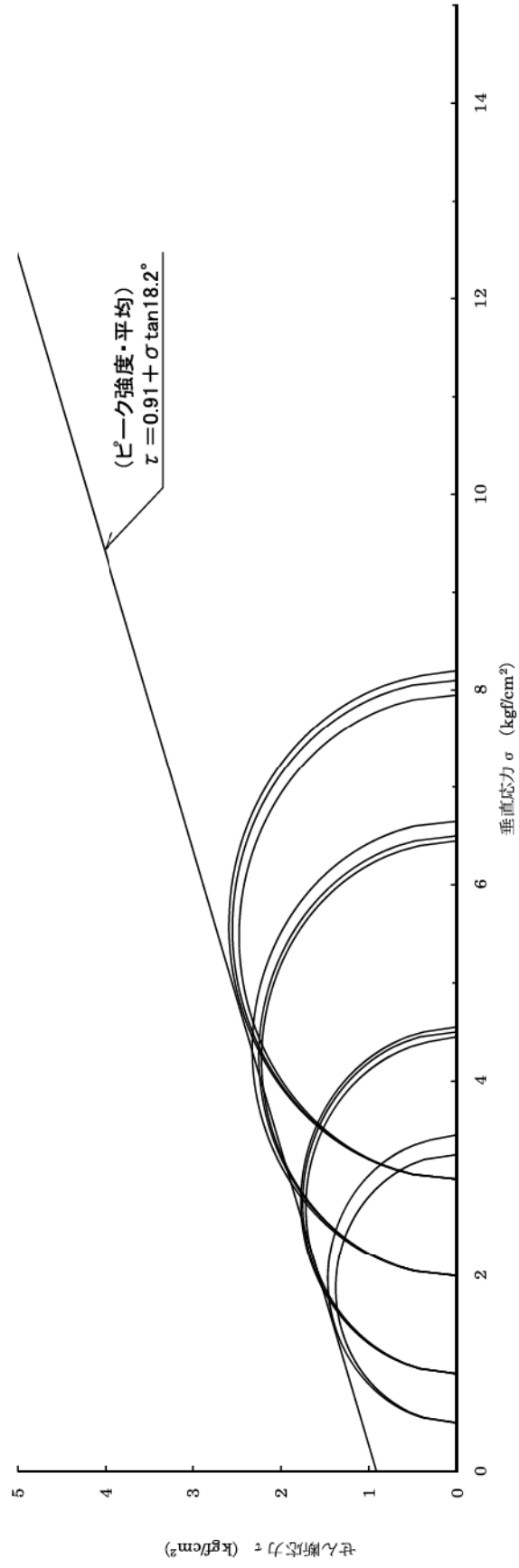
第 3.5.123 図(1) 三軸圧縮試験結果 (その 1) ([D] 級岩盤 (輝緑岩))



第 3.5.123 図(2) 三軸圧縮試験結果 (その 2) (崖錐堆積物)



第 3.5.123 図(3) 三軸圧縮試験結果 (その 3) (段丘堆積物)



第 3.5.123 図(4) 三軸圧縮試験結果 (その 4) (盛土)